

Plan

- ① Einleitung
- ② ~~Statistische Gesamtheiten~~ Reine und gemischte Zustände
- ③ Gleichgewichtsgesamtheiten
- ④ Thermodynamik
- ⑤ Ideale Quantengase
- ⑥ Reale Gase
- ⑦ Magnetismus
- ⑧ Phasenübergänge
- ⑨ Jenseits des Gleichgewichts

① Einleitung

2

Beobachtung:

Viele realistische phys. Systeme ("Makrosysteme") setzen sich aus sehr vielen miteinander Wechselwirkenden gleichartigen Teilsystemen ("Mikrobestandteilen") zusammen.

	<u>Makrosystem</u>	<u>Mikrobestandteile</u>
• <u>Standardbeispiel</u> <u>Für diese Vorlesung:</u>	"Alltagsgegenstände"	$\supset O(10^{23})$ Atome/ Moleküle
• <u>Weitere Beispiele:</u>	Atomkerne	$\supset O(10^2)$ Quarks + Gluonen
	Gebiorn	$\supset O(10^{10})$ Nervenzellen
	Menschl. Population	$\supset O(10^9)$ Personen
	Galaxien	$\supset O(10^{6\dots 12})$ Sterne
	Sichtbares Universum	$\supset O(10^{41})$ Galaxien

Problem:

3

Selbst bei exakter Kenntnis der mikroskopischen Gesetze (z.B.

Schrödinger-Gleichung für atomare Bestandteile eines Gases) ist eine exakte Beschreibung der mikroskopischen Dynamik i.d.R. unmöglich:

- Zu große Datenmengen (z.B. 10^{23} Anfangswerte)
- Oftmals chaotisches Verhalten
→ Erforderliche Datengenauigkeit wächst exponentiell mit Vorhersagezeitspanne.
- Energie Differenz benachbarter Zustände $\Delta E \sim e^{-N}$ (siehe später)
($N \sim 10^{23}$)
→ $\Delta E \cdot \Delta T \geq \hbar$ erforderte extrem lange Messzeiten ΔT
- kleinste, exp. nicht erfassbare Störungen durch die Umgebung sind bei makroskopischen ~~Körpern~~ Objekten unvermeidbar
- ständige unkontrollierbare Änderungen d. Mikrozustände.

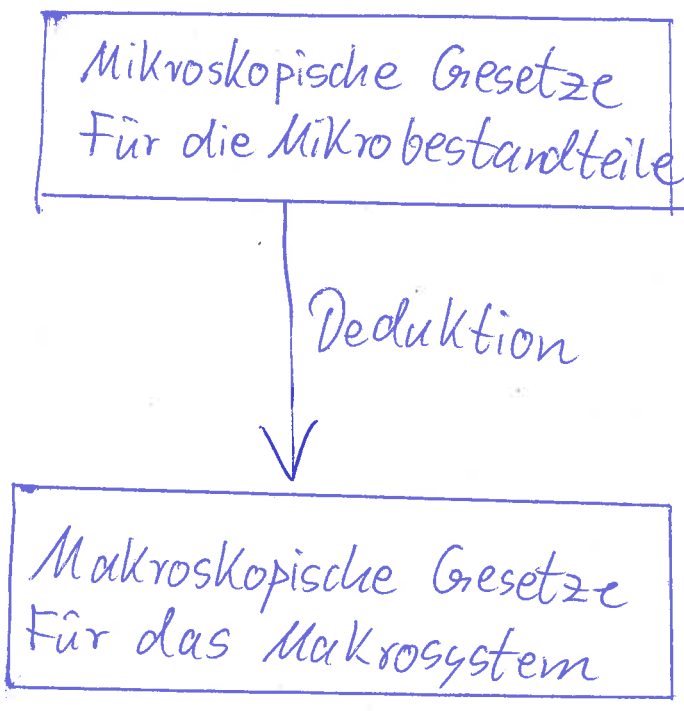
Andererseits:

Relevantes makroskopisches Verhalten

(z.B. Funktionsweise einer Dampfmaschine)
hängt nicht von den Mikrodetails

(z.B. den exakten Positionen aller 10^{23} Gasmoleküle) ab.

Ziel der statistischen Mechanik:



← Angenommen oder aus mikroskopischen Experimenten erschlossen

← Mit Makroskopischen Messungen verifizierbar

Insbesondere:

5

- Mikroskopisches Verständnis thermischer Erscheinungen und der Hauptsätze der Thermodynamik:

1. Hauptsatz:

$$(0.1) \quad dE = \underbrace{SQ}_{\substack{\text{Energie} \\ \text{des} \\ \text{Körpers}}} + \underbrace{SA}_{\substack{\text{Dem Körper} \\ \text{zugeführte} \\ \text{Wärmemenge}}} \quad \left(SA = -pdV + \mu dN + \dots \right)$$

Am Körper verrichtete Arbeit
 Keine Zustandsgrößen

2. Hauptsatz

\exists eine Zustandsgröße S (Entropie)
mit

$$(0.2) \quad SQ = TdS \quad \left(\begin{array}{l} \text{reversible \& quasistatische} \\ \text{Vorgänge} \end{array} \right)$$

$$(0.3) \quad SQ < TdS \quad \left(\begin{array}{l} \text{irreversible, nicht} \\ \text{quasistatische Vorgänge} \end{array} \right)$$

$$(0.4) \quad \boxed{\Delta S \geq 0} \quad \text{Für isolierte Systeme}$$

$(\Delta S > 0 \Rightarrow \text{Irreversibler Prozess})$

- Berechnung der relevanten Makroskopischen Größen ~~Modellsysteme~~ und ihrer Beziehungen untereinander für gegebene Modellsysteme ~~für~~.

im thermischen Gleichgewicht⁶

Beispiel: Klassisches ideales Gas (siehe später)

$$S(E, V, N) = KN \log \left[\frac{V}{N} \left(\frac{4\pi m E}{3N h^2} \right)^{\frac{3}{2}} e^{5/2} \right] \quad (0.5)$$

(Sackur-Tetrode-Gl.)

(siehe später)

(0.1)
(0.2)

\Rightarrow (0.6)

(0.7)

$$E = \frac{3}{2} N k T$$

(kalorische Zustandsgl.)

$$PV = N k T$$

(thermische Zustandsgl.)

$$(k = 1,381 \times 10^{-23} \frac{\text{Joule}}{\text{Kelvin}} \text{ (Boltzmann-Konstante)})$$

Methode der statistischen Mechanik:

1 Makrozustand

(z.B. Gas im Behälter mit ~~Energie~~, ~~Volumen~~, ~~Temperatur~~, ~~Teilchenzahl~~, ~~Ruhzustand~~)



sehr viele mögliche Mikrozustände, die mit den makroskopischen Vorgaben kompatibel wären

(z.B. mögliche mikroskopische Konfigurationen der Gasatome)

↑
Welcher genau zu gegebener Zeit t vorliegt, ist unbekannt

→ Mache nur Wahrscheinlichkeitsaussagen über die möglichen Mikrozustände
(→ "statistische" Mechanik)

Gesetz der
großen Zahl

$N \rightarrow \infty$

(siehe später)

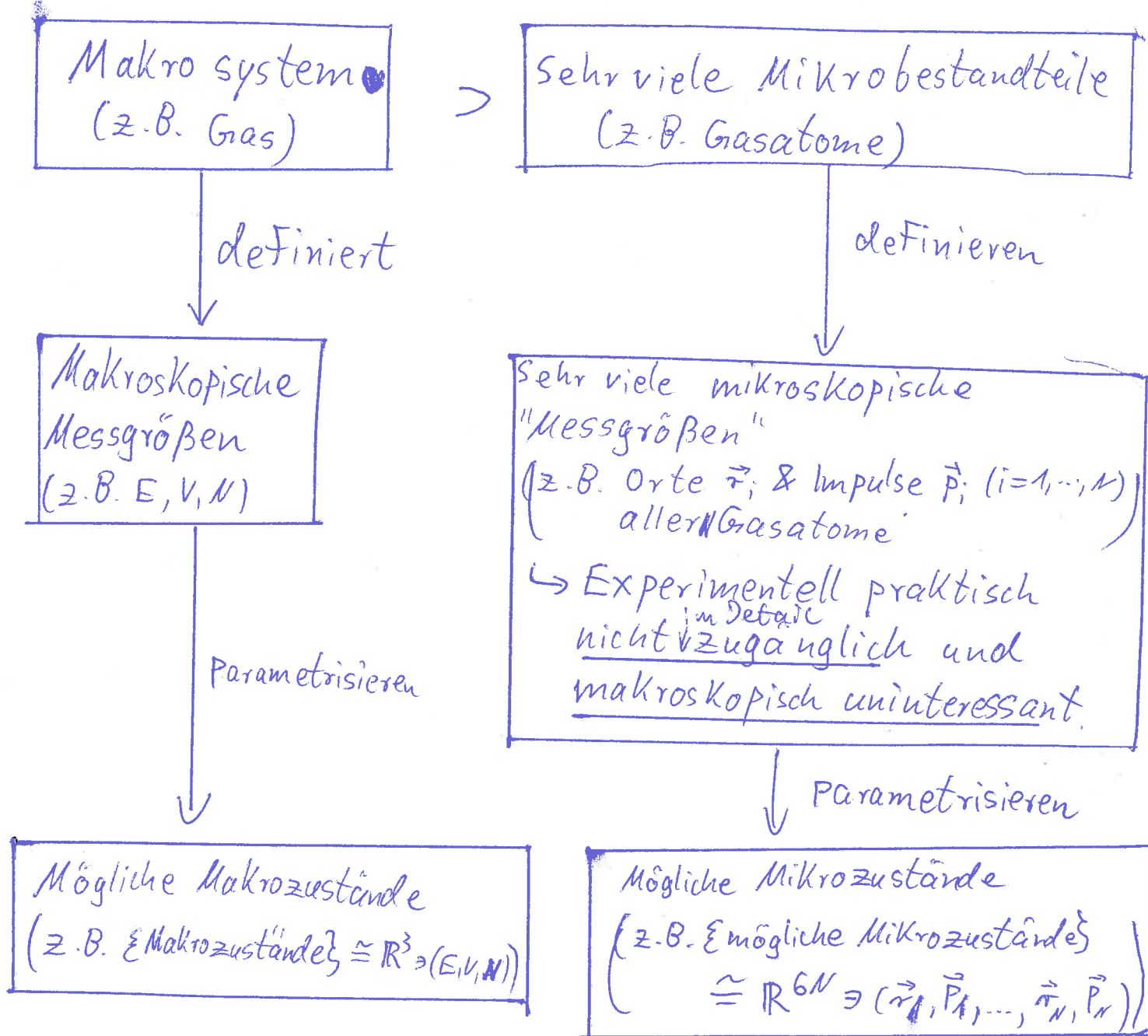
$$\left(\text{z.B. } \frac{\Delta E}{E} \sim \frac{1}{\sqrt{N}} \right)$$

Quasideterministisches Verhalten
der Makrozustände

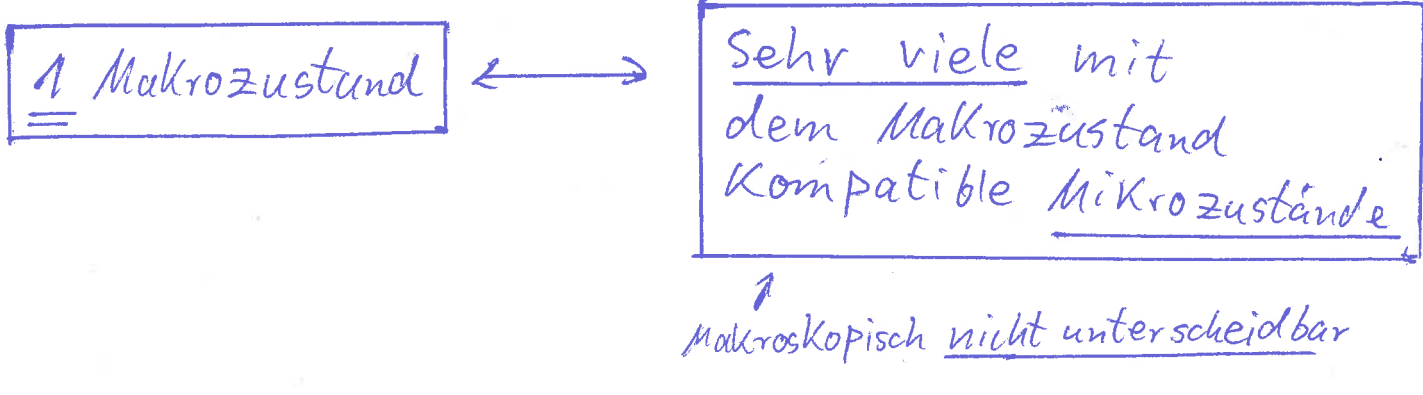
(d.h. ohne messbare statistische
Unschärfen), das ^{näherungsweise} einfachen
Gesetzen folgt.

(z.B. 10.5)-10.7)

Letztes Mal:



Offensichtlich:



Beispiel:

2

Ideales klassisches Gas
im Raumgebiet G mit
Volumen $V(G)$, Energie E
und Teilchenzahl N

(\approx ein Punkt im (E, V, N) -Raum)



$$\left\{ \begin{array}{l} \{\vec{r}_i, \vec{p}_i\} \in \mathbb{R}^{6N} \mid \vec{r}_i \in G, \vec{p}_i \\ \sum_i \frac{\vec{p}_i^2}{2m_i} = E \end{array} \right\}$$

$\left(\begin{array}{l} \approx \text{eine } (6N-1)\text{-dim.} \\ \text{Untermannigfaltigkeit} \\ \text{des } \mathbb{R}^{6N} \end{array} \right)$

⇒ Strategie der SM:

- Parametrisiere die dramatische Unterbestimmtheit der Mikrozustände durch eine geeignete Wahrscheinlichkeitsverteilg. auf dem Raum aller Mikrozustände.

→ "statistische Gesamtheit" / ~~"Ensemble"~~ von Mikrozuständen

- Leite aus diesen Wahrscheinlichkeitsverteilungen makroskopische Gesetze her.

① Reine und gemischte Zustände

3

Vorbemerkungen:

1) Eine Korrekte Beschreibung atomarer Mikrobestandteile bedarf eigentlich der QM. In vielen Fällen liefert jedoch die Klassische Mechanik eine gute und nützliche Näherung.

→ Betrachten im Folgenden beides.

2) Für Mikrozustände (Klassische und QM) benutzen wir die Terminologie:

(i) Reiner Zustand \Leftrightarrow Mikrozustand ist Vollständig festgelegt

→ (ii) Gemischter Zustand \Leftrightarrow Nur eine Wahrscheinlichkeitsverteilung von reinen Zuständen ist bekannt.

Gegenstand der SM.

1.1 Klassische Mechanik

In der Hamilton'schen Formulierung gilt:

(i) Reiner Zustand

$\hat{=}$ ein Punkt im Phasenraum \mathbb{P} :

$$(q_i, p^i) \hat{=} (q, p) \in \mathbb{P}$$

$(i=1, \dots, 3n)$

$\hat{=}$ ein vollständiger Satz von Anfangswerten)

(ii) Observable

$\hat{=}$ Reelle Funktionen auf dem Phasenraum

$$F: \mathbb{P} \rightarrow \mathbb{R}$$

(iii) Wert einer Observablen im reinen Zustand $(q, p) \in \mathbb{P}$

$$F(q, p)$$

(iv) Zeitentwicklung eines reinen Zustandes:

$$\dot{q}_i = \frac{\partial H}{\partial p_i}, \quad \dot{p}_i = -\frac{\partial H}{\partial q_i} \quad (H: \mathbb{P} \rightarrow \mathbb{R} \text{ Hamiltonfunktion})$$

(V) Zeitentwicklung des Wertes einer Observablen ^S im reellen Zustand

$$\frac{d}{dt} F(q(t), p(t)) = \sum_i \frac{\partial F}{\partial q_i} \dot{q}_i + \frac{\partial F}{\partial p_i} \dot{p}_i$$

$$= \sum_i \frac{\partial F}{\partial q_i} \frac{\partial H}{\partial p_i} - \frac{\partial F}{\partial p_i} \frac{\partial H}{\partial q_i}$$

$$= \{F, H\} (q(t), p(t))$$

\uparrow
Poissonklammer

(vi) Gemischter Zustand

$\hat{=}$ Eine Wahrscheinlichkeitsdichte $\hat{s}(q, p)$
auf \mathbb{P} mit:

$$1) s(q, p) = \text{reell} \wedge (q, p) \in \mathbb{P}$$

$$2) s(q, p) \geq 0 \wedge (q, p) \in \mathbb{P}$$

$$3) \frac{1}{N! h^{3N}} \int_{\mathbb{P}} d^3 q_0 d^3 p \quad s(q, p) = 1$$

Zur Vermeidung
des Überzählens
bei identischen
Teilchen

1 QM-Zustand pro
Phasenraum Volumen $\Delta q \Delta p = h$
(siehe später)

Im Folgenden

$$\Rightarrow \boxed{\int_{\mathbb{P}} d\Gamma s = 1}$$

$$d\Gamma := \frac{d^3 q d^3 p}{N! h^{3N}}$$

(1. 2)

(\rightarrow Wahrscheinlichkeit, dass Mikrozustand zwischen $[q_i, q_i + dq]$, $[p_i, p_i + dp]$ ist, ist $S(q, p) d\Gamma$) 6
Spezialfall reiner Zustand:

$$S(q, p) = N! h^{3N} \delta^{(3N)}(q - q_0) \delta^{(3N)}(p - p_0)$$

(vii) Erwartungswert einer Observablen im gemischten Zustand:

$$(1.3) \quad \langle F \rangle_S = \int d\Gamma S(q, p) F(q, p)$$

(viii) Zeitentwicklung eines gemischten Zustands:

$$(1.4) \quad \frac{dS}{dt} = -\{S, H\}$$

(Liouville-Gl.)

(aus Kontinuitätsgl. für S)

1.2 Quantenmechanik

(i) Reine Zustände

= Vektoren $| \psi \rangle$ eines Hilbertraums \mathcal{H}
(modulo Phasenfaktor) $\langle \psi | \psi \rangle = 1$

Äquivalente Beschreibung durch den Projektionsoperator

$$(1.5) \quad P_\psi := |\psi\rangle \langle \psi|$$

(ii) Observable

→ Selbstadjungierte Operatoren

$$\hat{F} : \mathcal{H} \rightarrow \mathcal{H} \text{ mit } F^+ = F$$

(iii) Wert einer Observablen im reinen Zustand:

$$\langle \hat{F} \rangle_{\psi} = \langle \psi | \hat{F} | \psi \rangle = \sum_m \langle \psi | \hat{F} | m \rangle \underbrace{\langle m | \psi \rangle}_{\text{ONB}}$$

QM Erwartungswert

$$= \sum_m \langle m | \psi \rangle \langle \psi | \hat{F} | m \rangle$$

$$= \text{Sp}(P_{\psi} \hat{F})$$

$$\Rightarrow \boxed{\langle \hat{F} \rangle_{\psi} = \text{Sp}(P_{\psi} \hat{F})} \quad (1.6)$$

(iv) Zeitentwicklung eines reinen Zustandes

$$\boxed{i\hbar \frac{d}{dt} |\psi(t)\rangle = \hat{H} |\psi(t)\rangle} \quad (1.7)$$

(v) Zeitentwicklung des Wertes einer Observablen im reinen Zustand:

$$\boxed{\frac{d}{dt} \langle \hat{F} \rangle_{\psi} = \frac{1}{i\hbar} \langle [\hat{F}, \hat{H}] \rangle_{\psi}} \quad (1.8)$$

(aus (1.7))

(vi) Gemischter Zustand:

8

Seien $|\psi_i\rangle$ ($i=1, \dots, r$) ein Satz normierter, linear abhängiger (nicht notwendigerweise orthogonaler) Vektoren in \mathcal{H} (nicht notwendigerweise eine Basis).

Ein gemischter Zustand befindet sich mit Wahrscheinlichkeiten p_i ($\sum p_i = 1$) im ~~aus~~ Zustand $|\psi_i\rangle$

\Rightarrow Der mittlere Erwartungswert einer Observablen \hat{F} ist dann:

$$\begin{aligned} \langle \hat{F} \rangle &= \sum_i p_i \langle \hat{F} \rangle_{\psi_i} \stackrel{(1.6)}{=} \sum_i p_i S_p(\mathbf{P}_{\psi_i} \hat{F}) \\ &= S_p \left(\underbrace{\sum_i p_i |\psi_i\rangle \langle \psi_i|}_{=: g} \hat{F} \right) \end{aligned}$$

Also, mit

$$(1.9) \quad \boxed{S := \sum_i p_i |\psi_i\rangle \langle \psi_i| = \sum_i p_i P_{\psi_i}}$$

$$(1.10) \quad \boxed{\langle \hat{F} \rangle = S_p(S \hat{F}) =: \langle \hat{F} \rangle_S}$$

Ein S wie in (1.9) heißt ein

"statistischer Operator"

(alias "Dichtematrix" alias "Dichteoperator")

Letztes Mal① Reine und gemischte Zustände1.1 Klassische MechanikReiner Zustand: \triangleq Punkt $(q, p) \in \mathbb{P}$

- Wert einer Observablen $F: \mathbb{P} \rightarrow \mathbb{R} : F(q, p)$
- Zeitentwicklung: $\dot{q}_i = \frac{\partial H}{\partial p_i}, \dot{p}_i = -\frac{\partial H}{\partial q_i}$

Gemischter Zustand: \triangleq Wahrscheinlichkeitsdichte $s(q, p)$ in \mathbb{P} mit

$$\int_{\mathbb{P}} d\Gamma s(q, p) = 1, d\Gamma = \frac{dq^1 dq^2 \dots dq^N dp^1 dp^2 \dots dp^N}{N! h^{3N}}$$

- stat. Erwartungswert einer Observablen:

$$\langle F \rangle_s = \int_{\mathbb{P}} d\Gamma F(q, p) s(q, p)$$

- Zeitentwicklung: $\frac{\partial s}{\partial t} = -\{s, H\}$

(Liouville-Gl.)

1.2 Quantenmechanik

2

Reiner Zustand: $\hat{\psi} = |\psi\rangle \in \mathcal{H}$, $\langle \psi | \psi \rangle = 1$
 (modulo Phasenfaktor)

$$\hat{\psi} = P_\psi := |\psi\rangle \langle \psi|$$

• QM Erwartungswert einer Observablen $\hat{F}: \mathcal{H} \rightarrow \mathbb{C}$

$$\langle \hat{F} \rangle_\psi = \langle \psi | \hat{F} | \psi \rangle = \text{Sp}(P_\psi \hat{F})$$

• Zeitentwicklung: $i\hbar \frac{d}{dt} |\psi(t)\rangle = \hat{H} |\psi(t)\rangle$

Gemischter Zustand:

Seien $|\psi_i\rangle$ ($i=1, \dots, n$) die erlaubten Mikrozustände eines makroskopisch vollständig präparierten Makrosystems mit

$$\bullet \langle \psi_i | \psi_i \rangle = 1$$

$\bullet \{|\psi_i\rangle\}$ ~~lin.~~ lin. unabhängig

(Orthogonalität und Vollständigkeit sind möglich, werden aber nicht vorausgesetzt)

und seien p_i die Realisierungswahrscheinlichkeiten der $|\psi_i\rangle$ im vorliegenden Makrozustand.

\Rightarrow Mittlerer Erwartungswert einer Observablen \hat{F} :

(1.10)

$$\langle \hat{F} \rangle = \sum_i p_i \langle \hat{F} \rangle_{\psi_i} = \sum_i p_i S_P(p_{\psi_i}, \hat{F}) = S_P \left[\left(\sum_i p_i p_{\psi_i} \right) \hat{F} \right]$$

~~(1.12)~~

$$= S_P(S \hat{F}) =: \langle \hat{F} \rangle_S$$

mit

~~(1.9)~~
(1.9)

$$S := \sum_i p_i |\psi_i\rangle \langle \psi_i| = \sum_i p_i P_{\psi_i} \quad (\sum p_i = 1)$$

Ein S wie in (1.9) heißt

"statistischer Operator/Dichteoperator/Dichtematrix"

Aquivalente Definition

Ein Op. $S: \mathcal{H} \rightarrow \mathcal{H}$ ist ein statistischer Operator genau dann wenn

(1.11)

- (i) $S^+ = S$
- (ii) $S \geq 0 : \Leftrightarrow \langle \psi | S | \psi \rangle \geq 0 \forall |\psi\rangle \in \mathcal{H}$
 \Leftrightarrow Alle Eigenwerte von S sind ≥ 0
- (iii) $S_P S = 1$

Aquivalenz von (1.9) und (1.11):

(1.9) \Rightarrow (1.11):

(i) Folgt aus $P_i \in \mathbb{R}$

$$(ii) \langle \Psi | S | \Psi \rangle = \sum_i P_i \underbrace{\langle \Psi | \psi_i \rangle \langle \psi_i | \Psi \rangle}_{|\langle \Psi | \psi_i \rangle|^2} \geq 0$$

$$(iii) S_p S = \sum_m \sum_i P_i \langle m | \psi_i \rangle \langle \psi_i | m \rangle$$

$$= \sum_i P_i \left(\underbrace{\sum_m \langle \psi_i | m \rangle \langle m | \psi_i \rangle}_{= \langle \psi_i | \psi_i \rangle = 1} \right) = \sum_i P_i = 1$$

(1.11) \Rightarrow (1.9):

(i) $\Rightarrow S$ ist mit ONB $|m\rangle$ diagonalisierbar und hat reelle Eigenwerte

(ciii) garantiert Diskrettheit d. Spektrums

~~(i)~~ $\Rightarrow S = \sum_n P_n |n\rangle \langle n|, P_n \in \mathbb{R}$

$$(ii) \stackrel{(\Psi)=|n\rangle}{\Rightarrow} 0 \leq \langle n | S | n \rangle = \sum_{m'} P_m \underbrace{\langle n | m' \rangle \langle m' | n \rangle}_{\delta_{mn}}$$

$$= P_n$$

$$(iii) \Rightarrow 1 = S_p S = \sum_{m'} \sum_n P_m \underbrace{\langle m' | n \rangle \langle n | m' \rangle}_{\delta_{mm'}} = \sum_n P_n$$

Bem.:

S beschreibt reinen Zustand $\Leftrightarrow S^2 = S$

$$\Leftrightarrow P_n = \begin{cases} 1 & \text{Für eini.} \\ 0 & \text{sonst} \end{cases}$$

Beweis:

$$\left(\sum_n P_n |n\rangle \langle n| \right)^2 = \sum_{m,n} \underbrace{P_n P_m}_{\delta_{mn}} |n\rangle \langle m| |m\rangle \langle n|$$

$$\delta_{mn}$$

$$= \sum_n P_n^2 |n\rangle \langle n| \stackrel{!}{=} \sum_n P_n |n\rangle \langle n|$$

$$\Rightarrow P_n = 0 \text{ oder } 1$$

Zeitentwicklung eines gemischten Zustands:

(1.13)

$$\boxed{\frac{dS}{dt} = -\frac{1}{i\hbar} [S, \hat{H}]}$$

(Von-Neumann-Gl.)

(Folgt aus Schrödingergl. Für die $|t\rangle$ bzw. $|n\rangle$)

1.3 Information und statistische Entropie

Frage: Welche Wahrscheinlichkeitsverteilung S ist für ein gegebenes Makrosystem sinnvoll?

Betrachte z.B. die beiden gemischten Zustände:

$$S_A = \frac{1}{2} |1\rangle\langle 1| + \frac{1}{2} |2\rangle\langle 2|$$

$$S_B = \frac{99}{100} |1\rangle\langle 1| + \frac{1}{100} |2\rangle\langle 2|$$

$\Rightarrow S_B$ erlaubt eine genauere Vorhersage über den tatsächlichen Mikrozustand, enthält also mehr Information, bzw. macht stärkere Annahmen als S_A .

~~ist das~~: ~~ist~~ unbestimpter, "randomisierter" und hat einen größeren Informationsmangel, bzw. macht schwächere Annahmen

Lassen makroskopische Messungen lediglich den Schluss zu, dass $|1\rangle$ oder $|2\rangle$ erlaubt sind, scheint S_A die plausiblere Annahme, da es keine ungerechtfestigten Zusatzannahmen macht.

→ Ein quantitatives Maß für die ⁷
Unbestimmtheit, bzw. den Informations-
mangel einer Wahrscheinlichkeitsverteilung
 kann ein ~~wichtiges~~ ^{hilfreiches} Kriterium bei
 der Wahl eines geeigneten S sein.

Ein gutes Maß dieser Art ist die
Statistische Entropie einer Dichtematrix
 $S = \sum_m p_m \ln p_m$:

$$(1.14) \quad \boxed{S := -k \sum_m p_m \ln p_m \stackrel{(*)}{=} -k \text{Sp}(S \ln S)} \quad \begin{matrix} (*) \\ = -k \sum_m p_m \ln p_m \end{matrix}$$

(Statistische Entropie einer Dichtematrix)

Zu (*):

$$\begin{aligned} \text{Sp}(S \ln S) &= \sum_m \left(\sum_l p_{lm} \ln p_{lm} \right) \left(\sum_m \ln p_{mn} \delta_{mn} \right) l.m \\ &= \sum_m \sum_l p_{lm} \ln p_{lm} \delta_{ml} \delta_{en} \delta_{nm} \\ &= \sum_n p_{nn} \ln p_{nn} \end{aligned}$$

Bemerkungen:

1) Für Gleichgewichtszustände ist S auch die aus $\delta Q = T dS$ bestimmte Entropie aus der phänomenologischen Thermodynamik, sofern man setzt:

$$k = k_B = 1,38 \times 10^{-23} \frac{\text{J}}{\text{K}}$$

(Mehr dazu später) (Boltzmann-Konstante)

2) Eine Entropie wie in (1.14) lässt sich für jede diskrete Wahrscheinlichkeitsverteilung P_n^3 definieren. In der Informationstheorie wählt man ~~die~~

$$k = 1 \text{ und } \ln \rightarrow \log_2$$

und definiert

$$(1.15) \quad S' := - \sum_n P_n \log_2 P_n = \frac{1}{k_B \ln 2} S$$

Letztes Mal:

Statistische Entropie einer Dichtematrix

$$S = \sum_n P_n \ln P_n :$$

$$(1.14) \quad S := -k \sum_n P_n \ln P_n = -k S_p(S \ln S)$$

Bemerkungen :

1) Für Gleichgewichtszustände (siehe später) gilt:

$$S = S_{\text{Thermo}} \quad \text{falls } k = k_B$$

im Folgenden stets angenommen

2) Für beliebige diskrete Wahrscheinlichkeitsverteilungen $\{P_n\}$ definiert man in der Informationstheorie häufig:

$$(1.15) \quad \text{S' = } \cancel{\text{S' = }} \sum_n P_n \log_2 P_n = \frac{1}{k_B \ln 2} S$$

("shannon'sche Informationsentropie")

Interpretation von S^I :

Eintreten eines Zufallsereignisses m liefert im Mittel gerade S^I Bits an Informationsgewinn.

Illustration:

Betrachte Zufallsereignisse $\{m\}$ mit Eintrittswahrscheinlichkeiten P_m der folgenden Form:

$$(i) P_1 = \frac{1}{2}, P_2 = \frac{1}{2} \quad (\text{z.B. Münzwurf})$$

\Rightarrow Eintreten des Ereignisses $m=1, 2$ ergäbe jeweils den Infogewinn

$$1 \text{ Bit} = -\log_2 \frac{1}{2} = -\log_2 P_m \\ (\text{z.B. "Kopf oder Zahl"})$$

$$(ii) P_1 = \frac{1}{4}, P_2 = \frac{1}{4}, P_3 = \frac{1}{4}, P_4 = \frac{1}{4} \quad (\text{z.B. Tetraederwurf})$$

\Rightarrow Eintreten eines Ereignisses $m=1, \dots, 4$ ergäbe ^{jeweils} den Infogewinn

$$\underbrace{2 \text{ Bits}}_{\substack{\text{Nötig zur Festlegung} \\ \text{von } m \in \{1, 2, 3, 4\}}} = -\log_2 \frac{1}{4} = -\log_2 P_m \quad (m=1, 2, 3, 4)$$

$$(iii) P_1 = \frac{1}{4}, P_2 = \frac{1}{4}, P_3 = \frac{1}{2}$$

3

Welcher Infogewinn ergäbe sich jetzt bei Eintreten von $n=1, 2, 3$?

Betrachte hierzu:

$$\underbrace{P_1 \text{ oder } 2}_{1'} = \frac{1}{2}, P_3 = \frac{1}{2}$$

analog zu (i) \Rightarrow Ereignis 3 ergibt 1 Bit $= -\log_2 P_3$ Infogewinn
Ereignis 1' " " $= -\log_2 P_1$ Infogewinn

Unterscheiden von 1 und 2 innerhalb von 1' bräuchte noch ein Bit

\Rightarrow Ereignis 1 ergibt insgesamt 2 Bits $= -\log_2 P_1$ Infogewinn
11 2 11 11
 $2 \text{ Bits} = -\log_2 P_2$
11

\Rightarrow Für jedes P_n gilt also wieder:

Infogewinn bei Eintritt von $n = -\log_2 P_n$

$$\Rightarrow S' = - \sum_n P_n \log_2 P_n = \cancel{\log_2} S$$

= der mit den Eintrittswahrscheinlichkeiten gewichtete Infogewinn in Bits

= der durchschnittliche Infogewinn in Bits.

Für den Fall (iii):

$$S' = -(P_1 \log_2 P_1 + \dots + P_3 \log_2 P_3)$$

$$= \frac{1}{4} \cdot 2 + \frac{1}{4} \cdot 2 + \frac{1}{2} \cdot 1 = \frac{3}{2} \text{ Bits}$$

(Ergibt Sinn, denn in 50% der Fälle
(n=1,2) gewinnt man 2 Bits und in 50%
(n=3) 1 Bit.)

\Rightarrow Die statistische Entropie S ist ^{Kohls'}
analog ein Maß für den mittleren
Informationsgewinn, der eine
Bestimmung des Mikrozustandes
mit sich brachte, bzw. für den mittleren
Informationsmangel oder den Grad
der Unbestimmtheit ^{des Mikrozustandes} ohne eine solche Bestimmung.

Weitere Eigenschaften von S (bzw. S')

S

1) $\boxed{S \geq 0} \quad (1.16)$

(Denn $-P_m \underbrace{\ln P_m}_{\leq 0, \text{ da } P_m \leq 1} \geq 0$)

(Diskretetheit der Wahrscheinlichkeitsverteilung wichtig!)
Siehe unten

2) Verschwindende Wahrscheinlichkeiten
 $P_n = 0$ tragen nicht zu S bei, da

$$\lim_{\varepsilon \rightarrow 0} \varepsilon \ln \varepsilon = 0$$

~~aus auftretende Zustände tragen~~

3) Für reine Zustände $P_m = \begin{cases} 1 & \text{für } m=m^* \\ 0 & \text{sonst} \end{cases}$ gilt:

$$S[S] = -k_B \sum_m P_m \ln P_m \stackrel{2)}{=} -k_B \underbrace{P_{m^*}}_1 \underbrace{\ln P_{m^*}}_0$$

$$\Rightarrow \boxed{S[\beta_{\text{rein}}] = 0} \quad (1.17)$$

(Reine Zustände (bzw. sichere Ereignisse) haben keinen Informationsgehalt)

4) Für unabhängige Teilsysteme ist
 S additiv:

Z.B.: Teilsystem 1: M Zustände $|m\rangle$ mit
Wahrscheinlichkeiten P_m ($\sum_{m=1}^M P_m = 1$)

Teilsystem 2: N Zustände $|n\rangle$ mit
Wahrscheinlichkeiten Q_n ($\sum_{n=1}^N Q_n = 1$)

Unabhängigkeit: $P_{\text{System 1 in } l_m \text{ und System 2 in } l_n} = P_m \cdot q_m$

$$\begin{aligned}\Rightarrow S_{\text{ges}} &= -k_B \left(\sum_{m=1}^M \sum_{n=1}^N P_m q_m \ln(P_m q_m) \right) \\ &= -k_B \sum_{m=1}^M \sum_{n=1}^N P_m q_m (\ln P_m + \ln q_m) \\ &= -k_B \left[\underbrace{\sum_{m=1}^M P_m \ln P_m}_{S_1} \left(\sum_{n=1}^N q_m \right) + \underbrace{\sum_{m=1}^M q_m \ln q_m}_{S_2} \left(\sum_{m=1}^M P_m \right) \right] \\ &= S_1 + S_2,\end{aligned}$$

5) Bei Gleichverteilung $P_m = \frac{P_m}{M} \quad \forall m, m' = 1, \dots, M$
~~Bei~~ gilt:

$$S = -k_B \sum_{m=1}^M P_m \ln P_m = -k_B M \cdot \left(\frac{1}{M} \ln \frac{1}{M} \right)$$

Bei Gleichverteilung, $P_m = \frac{1}{M} \quad \forall m = 1, \dots, M$,
gilt:

$$S = -k_B \sum_{m=1}^M P_m \ln P_m = -k_B M \cdot \left(\frac{1}{M} \ln \frac{1}{M} \right)$$

$$\Rightarrow \boxed{S = k_B \ln M} \quad (1.18)$$

(Entropie bei M gleichwahrscheinlichen
Mikrozuständen)

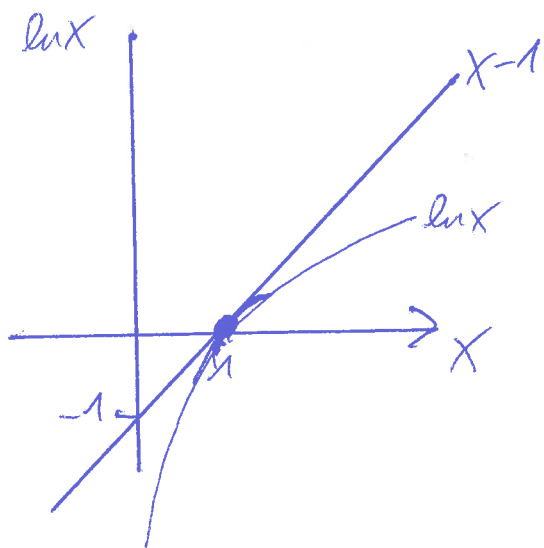
6) Für einen gegebenen Satz von M Mikrozuständen ($m^{(m=1,\dots,M)}$) hat die Gleichverteilung $P_m = \frac{1}{M}$ für $m=1,\dots,M$ die größte Entropie.

(Intuitiv klar, da sie die wenigsten Zusatzannahmen macht, also maximaler Unbestimmtheit entspricht.)

Beweis:

Basiert auf

$$\begin{aligned} \ln x &\leq x-1 \quad \forall x > 0 \\ \text{mit } \ln x = x-1 &\Leftrightarrow x = 1 \end{aligned} \quad (1.19)$$



Im Detail:

- Es gilt (1.18): $S[\text{Gleichverteilung}] = k_B \ln M$

$$\bullet \text{Sei } S = \sum_{m'=1}^M P_{m'} |m' > \langle m'|$$

eine beliebige Dichtematrix im selben Hilbertraum (mit möglicherweise anderer ORB ($m' >$ als Gleichverteilung))

$$\Rightarrow S[S] = +k_B \sum_{m'=1}^M P_{m'} \ln \left(\frac{1}{P_{m'}} \right) = k_B \sum_{m'=1}^M P_{m'} \left(\underbrace{\ln \left(\frac{1}{P_{m'} / M} \right)}_{(n=0)} + \ln M \right)$$

$$\leq \frac{1}{P_m / M} - 1$$

$$\leq k_B \sum_{m'=1}^M P_{m'} \left(\frac{1}{P_{m'} / M} - 1 + \ln M \right) = k_B \left(\frac{M}{M} - 1 + \ln M \right)$$

$$= k_B \ln M$$

$$\Rightarrow S[S] \leq S[\text{Gleichverteilung}]$$

$$(S[S] = S[\text{Gleichverteilung}] \Leftrightarrow S = \underbrace{\text{Gleichverteilung}}_{\text{Gleichverteilung}})$$

7) Für eine Klassische Wahrscheinlichkeitsverteilung auf P setzen wir

$$S[S] = -k_B \int_P dP S(q, P) \ln S(q, P)$$

(1.20)

Achtung: Bei sehr scharf lokализierten kontinuierlichen Wahrscheinlichkeitsverteilungen kann diese Entropie negativ werden! → klass. Mechanik ungültig → abweichen

② Gleichgewichtsgesamtheiten

HauptFokus dieser Vorlesung:

Makrosysteme in Gleichgewichtszuständen:

Gleichgewichtszustände:

- Alle makroskopischen Größen sind zeitunabhängig (\Leftrightarrow "stationarität")
- Kein makroskopischer Transport von Energie oder Materie
(also insbes. auch keine makroskopischen stationären Ströme)

Bem.:

Die Mikrozustände eines makroskopischen Gleichgewichtszustandes sind - i.A. nicht zeitunabhängig

Die Erfahrung zeigt:

- Isolierte Makrosysteme streben i.d.R. einem Gleichgewichtszustand entgegen
- Zur vollständigen Beschreibung solcher Gleichgewichtszustände genügen i.d.R. wenige makroskopische Messgrößen (z.B. E, V, N)

Unser Ziel in diesem Kapitel:

Gegeben:

- Ein Makrosystem im Gleichgewicht, spezifiziert durch vollständigen Satz makroskopischer Messgrößen
- Ein Modell für die Mikrobestandteile

→ Gegeben Finde:

Eine geeignete Wahrscheinlichkeitsverteilung S für die Mikrozustände

(~~test geeignete störk. unterscheiden~~)

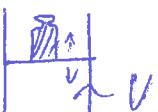
Hierbei ist die folgende Unterscheidung zweier Typen makroskopischer Messgrößen sinnvoll:

Typ I: Exakt vorgegebene Parameter, die den erlaubten Hilbert- oder Phasenraum bestimmen/einschränken

- z.B.
- Spin der Teilchen
 - Gefäßvolumen und -form
 - Gesamtenergie eines isolierten Systems
 - Teilchenzahl eines abgeschlossenen Systems

↪ $\text{Herlaubt} = \text{UCR}$, $\text{Perlaubt} = \text{UCP}$)

Typ II: Größen F_i ($i=1, \dots, n$), die nur im Mittel festgelegt sind, und um einen Durchschnittswert fluktuieren können.

- z.B. - Spinrichtung eines einzelnen Gitteratoms im Festkörper
 - Gefäßvolumen ^{bei} beweglichem Deckel
- 
- Energie eines Systems im Kontakt mit einem Wärmebad.
 - Teilchenzahl eines offenen Systems im Kontakt mit einem Teilchenreservoir.

↳ Zwangsbedingungen der Form

$$\langle \hat{F}_i \rangle_S = S_P(S \hat{F}_i) \stackrel{!}{=} f_i$$

bzw. $\langle F_i \rangle_S = \int d\Gamma S F_i \stackrel{!}{=} f_i$

↳ Einschränkungen an S auf U

Drei besonders wichtige Beispiele:

- Mikrokanonische Gesamtheit (\rightarrow nur Typ I)
 (E, V, N) fest $\rightarrow S_{MK}$ (Abschnitt 2.1)

- Typ I + II
- Kanonische Gesamtheit
 $(\langle E \rangle, V, N)$ vorgegeben $\rightarrow S_K$ (Abschnitt 2.3)
 - Großkanonische Gesamtheit
 $(\langle E \rangle, V, \langle N \rangle)$ vorgegeben $\rightarrow S_{GK}$ (Abschnitt 2.4)

Problem: ~~Makrodaten~~ S scheint durch Makrodaten unterbestimmt

→ Eine natürliche Annahme für Gleichgewichtszustände:

(*) unter allen möglichen S , die mit einem gegebenen vollständigen Satz makroskopischer Messgrößen (Typ I und/oder Typ II) kompatibel sind, wählen wir denjenigen mit der größtmöglichen statistischen Entropie $S[S]$.

(Postulat der max. stat. Entropie)

Jede andere Wahl ~~für ρ_{obs}~~ nähme implizit das Vorhandensein einer (nicht von Messdaten gestützten) Extraintformation über den Mikrozustand an.

\exists noch weitere gute Argumente für (A) (siehe später)

2.1 Die mikrokanonische Gesamtheit

Betrachte:

Ein abgeschlossenes System mit festen E, V, N und ohne weitere Erhaltungsgrößen

- Nur Typ I observable.
- • $\mathcal{H}, \mathfrak{f}$ bzw. \mathbb{P} werden eingeschränkt auf den Unterraum \mathcal{U} , der durch die vorgegebenen Werte für E, V, N definiert ist.
- Keine sonstigen makroskopischen Einschränkungen auf \mathcal{U} .

→ Natürliche Annahme:

6

$$(2.1) \quad \boxed{S = S_{\text{Gleichverteilung auf } \mathcal{U}} =: S_{MK}}$$

("MK" = "Mikrokanonisch")

Begründung 1:

$S_{\text{Gleichverteilung auf } \mathcal{U}}$ maximiert gerade S auf \mathcal{U} (siehe letzte Vorlesung), macht also außer $(E, V, N) = \text{Fest}$ als einziges S auf \mathcal{U} keine (ungerechtfertigten) Zusatzannahmen
(\hookrightarrow Postulat (*))

Begründung 2:

$$\text{Gleichgewicht} \Rightarrow \frac{\partial S}{\partial t} = 0 \Leftrightarrow \begin{cases} \{ S, H \} = 0 \\ [S, H] = 0 \end{cases}$$

Liouville
von Neumann

$\Rightarrow S$ ist eine Funktion der Erhaltungsgrößen (also hier von H und N). Da $H = E/N = \text{const.}$ auf \mathcal{U} , muss also auch die Wahrscheinlichkeitsverteilung auf \mathcal{U} konstant sein.

Präzisierung von (2.1):

(i) Klassische Mechanik:

Im idealisierten Fall verschwindender Energieunscharfe:

Erlaubter Phasenraum $\mathcal{U}^{\text{id}} = \{(q, p) \in \mathbb{P} \mid H(q, p) = E\}$

\hookrightarrow Bild.

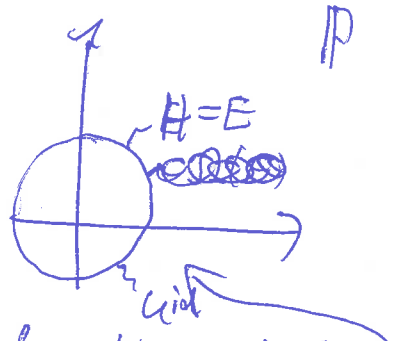
2.2a)

$$S_{MK}^{id}(q, p) = \frac{1}{\mathcal{J}_2(E)} \int \delta(H(q, p) - E)$$

mit

$$\mathcal{J}_2(E) := \int d\Gamma \delta(H(q, p) - E)$$

$$\frac{d^3 q d^3 p}{N! h^{3N}}$$



$$= (6N-1)\text{-dim. Volumen der Hyperfläche}$$

$$H(q, p) = E \text{ in } \mathbb{P}.$$

Bem..

(i) Das Volumen V lässt sich entweder über ein entsprechend eingeschränktes $\int d\Gamma$ -Integral oder ein steil ansteigendes Gefäßwandpotential in $H(q, p)$ implementieren.

(ii) $N = \text{Feat}$ ist über die Verwendung des N -Teilchen-Phasenraums mit

$$d\Gamma = \frac{d^3 q d^3 p}{N! h^{3N}}$$

berücksichtigt
 \rightarrow Unser Fokus hier ist deshalb E .

Letztes Mal:

2.1 Mikrokanonische Gesamttheit

- Abgeschlossenes System mit $(E, V, N) = \text{fest}$.
 \rightarrow Nur $T_{UP} I$ Observable
 \hookrightarrow Einschränkung auf $U \subset \begin{cases} \mathbb{R} & (\text{klass. Mech.}) \\ \mathbb{Z} & (\text{QM}) \end{cases}$
- $S_{MK} = S_{\text{Gleichverteilung auf } U}$

2.1.1 Klassische Mechanik

Idealisierter Fall: E exakt bekannt

$$\Rightarrow U^{id} = \{(q, p) \in \mathbb{R}^{|P}| H(q, p) = E\}$$



(2.2a)

$$S_{MK}^{id}(q, p) = \frac{1}{\Omega(E)} \delta(H(q, p) - E)$$

(2.2b)

$$\Omega(E) := \int_{\mathbb{R}^{|P|}} \frac{d^3 q d^3 p}{n! h^{3N}} \delta(H(q, p) - E) = \frac{\text{Vol}(U^{id})}{N! h^{3N}}$$

$$\Rightarrow \int_{\mathbb{R}^{|P|}} S_{MK}^{id} = 1$$

Bemerkungen:

(i) $V = \text{Fest}$: $\left\{ \begin{array}{l} - \text{Einschränkung von } \int d^3q \text{ auf} \\ \text{Gefäßinneres} \\ \text{oder} \\ - H(q, p) \ni \text{steiles Wandpotential} \\ (\text{siehe unten}) \end{array} \right.$

(ii) $N = \text{Fest}$: $P = P_N (N\text{-Teilchen-Phasenraum})$

(iii) Ein unschöner Aspekt von $S_{\text{MK}}^{\text{id}}$:

Ein ~~W~~ mit $\frac{1}{N! h^{3N}}$ normiertes zugängliches,

$\overset{P}{\underset{W}{\uparrow}}$ $6N$ -dim. Phasenraumvolumenentspräche semiklassisch der Zahl der zugrunde-liegenden QM Mikrozustände. W^{id} ist aber nur $(6N-1)$ -dimensional!

$\Rightarrow \Omega(E) = \frac{\text{Vol}_{6N-1}(U^{\text{id}})}{N! h^{3N}}$ ist nicht dimensionslos
 $([\Omega(E)] = \frac{1}{\text{Energie}}, \text{ da } \Omega(E) = \underbrace{\int d\Gamma}_{\text{dimensionslos}} \underbrace{\delta(H-E)}_{\frac{1}{\text{Energie}}})$

und daher auch Keine Zustandsanzahl.

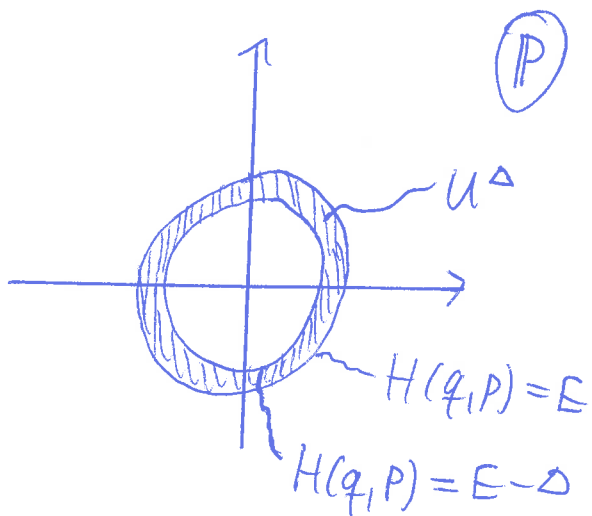
Zum "Zählen" von Mikrozuständen (z.B. für die Entropie) ist es zweckmäßig, mit $6N$ -dim. erlaubten Phasenraumbereichen zu arbeiten. Dies wird durch eine makroskopisch irrelevante (und phys. ohnehin unvermeidbare) zugelassene Energieunscharfe $\Delta \ll E$ erreicht:
keine Fluktuation im Sinne von typ. Observablen!

Fall mit Energieunscharfe

E ist exakt erhalten, aber nur ~~noch~~ ^(System immer noch abgeschlossen) bis auf Δ bekannt.

$$\Rightarrow \text{Erlaubter Phasenraum} = U^\Delta = \{(q, p) \mid E - \Delta \leq H(q, p) \leq E\}$$

(2.3)



Seien:

$$(2.4a) \quad S^\Delta(H(q, p) - E) := \begin{cases} 1 & \text{Für } (q, p) \in U^\Delta \Leftrightarrow E - \Delta \leq H(q, p) \leq E \\ 0 & \text{sonst} \end{cases}$$

= charakterist. Fktn. von U^Δ

$$(2.4b) \quad \Phi^\Delta(E) := \int_{U^\Delta} d\Gamma = \int_{IP} d\Gamma S^\Delta(H(q, p) - E) = \frac{\text{Vol}_n(U^\Delta)}{N! h^{3N}}$$

Dann ist:

$$(2.5) \quad S_{MK}^\Delta(q, p) := S_{\text{Gleichverteilung auf } U^\Delta} = \frac{1}{\Phi^\Delta(E)} S^\Delta(H(q, p) - E)$$

$$(\Rightarrow \int_{IP} d\Gamma S_{MK}^\Delta = 1)$$

Bemerkungen:

$$(i) \lim_{\Delta \rightarrow 0} \frac{\phi^\Delta(E)}{\Delta} = \varrho(E) \quad \left. \begin{array}{l} \lim_{\Delta \rightarrow 0} S_{MK}^\Delta = \frac{1}{\varrho(E)} S(H-E) = S_{MK}^{\text{id}} \\ \lim_{\Delta \rightarrow 0} \frac{S^\Delta(H-E)}{\Delta} = S(H-E) \end{array} \right\}$$

(ii) ψ^Δ ist $(6N)$ -dim. und $[\phi^\Delta(E)] = 1$

$\Rightarrow \phi^\Delta(E)$ taugt im Gegensatz zu $\varrho(E)$ als semiklassisches Maß für die # der QM erlaubten Zustände
($\varrho(E)$ ist ^{nur} eine Zustandsdichte im Energieraum)

(iii) Wir lassen im Folgenden $\Delta \ll E$ endlich und arbeiten klassisch meist mit S_{MK}^Δ .
Für sehr große $N \rightarrow \infty$ ist die Δ -Abhängigkeit von S_{MK}^Δ vernachlässigbar. (siehe 2.1.2)

Wir schreiben daher klassisch:

(2.6)

$$S_{MK}(q, p) := S_{MK}^\Delta(q, p)$$

2.1.2 Beispiel: Das klassische ideale Gas

Betrachte: N punktförmige Gasatome der Masse m im Gebiet $G \subset \mathbb{R}^3$ mit Volumen $V = V(G)$.

"ideal" \Leftrightarrow Keine WW der Gasatome untereinander.

$$\Rightarrow H(q, p) = \sum_{i=1}^N \frac{\vec{p}_i^2}{2m} + V_{\text{wand}}(\vec{x}_1, \dots, \vec{x}_N)$$

$\uparrow \quad \uparrow$
Positionen der Gescatome

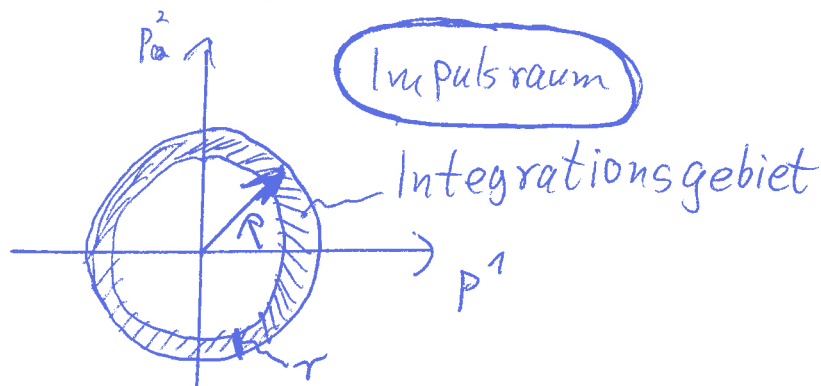
mit $V_{\text{wand}} \equiv 0$ in G^N und steil ansteigend an den Gefäßwänden

$\Rightarrow E - \Delta \leq H(q, p) \leq E$ ist nur ~~für~~ für $\vec{x}_i \in G$ erfüllbar \Rightarrow Atome effektiv in G eingeschlossen

$$\Rightarrow \phi^\Delta(E) = \frac{\int d^3x d^{3N} p}{h^3 N! h^{3N}} = \frac{1}{N! h^{3N}} \underbrace{\left(\int_G d^3x_1 \right)}_{V(G)} \dots \underbrace{\left(\int_G d^3x_N \right)}_{V(G)} \int d^3p \underset{E - \Delta \leq \sum_{i=1}^N \frac{p_i^2}{2m} \leq E}{h^3}$$

$$= \frac{V^N}{N! h^{3N}} f(E)$$

$f(E) = 3N$ -dim. Volumen einer $3N$ -dim. Kugelschale mit Radius $R = \sqrt{2mE}$ und Dicke $r := \sqrt{2m\Delta} \ll R$



$$\Rightarrow f(E) = \underbrace{\text{Vol}_{B^{3N}}(R)}_{\text{Volumen einer } 3N\text{-dim. Vollkugel } B^{3N}} - \text{Vol}_{B^{3N}}(R-r)$$

Volumen einer $3N$ -dim. Vollkugel B^{3N} mit Radius R .

Nun ist:

$$\text{Vol}_{B^D}(R) = \alpha(D) R^D$$

$$\text{mit } \alpha(D) = \frac{\pi^{D/2}}{\Gamma(D/2 + 1)} \stackrel{D \text{ gerade}}{\Downarrow} \frac{\pi^{D/2}}{\left(\frac{D}{2}\right)!}$$

(2.7)

$$(\text{Beispiel: } D=2 \Rightarrow \text{Vol}_{B^2} = \alpha(2) R^2 = \frac{\pi}{\pi} R^2 = \pi R^2)$$

Voll Kreis

$$\begin{aligned} \Rightarrow \text{Vol}_{B^D}(R) - \text{Vol}_{B^D}(R-r) &= \alpha(D)(R^D - (R-r)^D) \\ &= \alpha(D) R^D \left(1 - \left(1 - \frac{r}{R}\right)^D\right) \end{aligned}$$

Nun ist $\tilde{z} = -\frac{r}{R} + O\left(\left(\frac{r}{R}\right)^2\right)$

$$\left(1 - \frac{r}{R}\right)^D = \exp\left[D \underbrace{\ln\left(1 - \frac{r}{R}\right)}_{\approx -\frac{r}{R} + O\left(\left(\frac{r}{R}\right)^2\right)}\right]$$

$\ll 0$ Für $r \ll R$, reell

$$\Rightarrow \lim_{\substack{D \rightarrow \infty \\ r \ll R, \text{ fest}}} \left(1 - \frac{r}{R}\right)^D = 0$$

$$\Rightarrow \text{Vol}_{B^D}(R) - \text{Vol}_{B^D}(R-r) \xrightarrow[\substack{r \ll R, \text{ fest}}]{D \rightarrow \infty} \text{Vol}_{B^D}(R)$$

\Rightarrow Das Volumen hochdimensionaler Vollkugeln ist fast komplett ~~unter~~ unter der Oberfläche konzentriert.

$$\Rightarrow f(E) = \text{Vol}_{B^{3N}}(\sqrt{2mE}) - \text{Vol}_{B^{3N}}(\sqrt{2mE} - \sqrt{2m\delta})$$

$$\stackrel{N \rightarrow \infty}{\approx} \underset{\substack{\Delta \ll 1, \text{ Fest} \\ E}}{\text{Vol}_{B^{3N}}}(\sqrt{2mE}) = \mathcal{O}(3N) (\sqrt{2mE})^{3N}$$

$$\stackrel{N \text{ gerade}}{=} \frac{\pi^{\frac{3N}{2}}}{(\frac{3N}{2})!} (2mE)^{\frac{3N}{2}}$$

$$\Rightarrow \phi^\Delta(E) \approx \frac{V^N}{N! h^{3N}} \frac{(2\pi mE)^{\frac{3N}{2}}}{(\frac{3N}{2})!} \stackrel{\text{Stirling}}{\approx} \frac{V^N}{N^N e^{-N} \sqrt{2\pi N} h^{3N}} \frac{(2\pi mE)^{\frac{3N}{2}}}{(\frac{3N}{2})^{\frac{3N}{2}} e^{-\frac{3N}{2}} \sqrt{2\pi \frac{3N}{2}}}$$

$$\Rightarrow \boxed{\phi^\Delta(E) \approx \left(\frac{V}{N}\right)^N e^{\frac{5}{2}N} \left(\frac{4\pi mE}{3Nh^2}\right)^{\frac{3N}{2}} \cdot \frac{\sqrt{2}}{2\pi N \sqrt{3}}} \quad (2.8)$$

Probleme

Wie in diesem Beispiel ist die Δ -Abhängigkeit für sehr großen N i.A. vernachlässigbar, und es gilt (Für $\Delta \ll E$):

$$(2.9) \quad \boxed{\begin{aligned} S(E)\Delta &\approx \phi^\Delta(E) \approx \phi(E) := \int d\Gamma = \text{Semikl. Zahl} \\ &\qquad\qquad\qquad \text{der Zustände} \\ &\qquad\qquad\qquad \text{mit } \mathbb{H} \leq E \\ \int d\Gamma &\qquad\qquad\qquad \mathbb{H} \leq E \\ H=E &\qquad\qquad\qquad \text{E-D} \leq H \leq E \end{aligned}}$$

6.11.2017

[7]

1

Letztes Mal:

Klassische mikrokanonische Gesamtheit

Idealisierter Fall:

$$U^{\text{id}} = \{(q, p) \in \mathbb{P} \mid H(q, p) = E\}$$

$$S_{\text{MK}}^{\text{id}}(q, p) = \frac{1}{\Omega(E)} S(H(q, p) - E)$$

$$\Omega(E) = \int_{\mathbb{P}} d\Gamma S(H(q, p) - E) = \frac{\text{Vol}_{6N-1}(U^{\text{id}})}{N! h^{3N}}$$

Fall mit Energieunscharfe

$$U^\Delta = \{(q, p) \in \mathbb{P} \mid E - \Delta \leq H(q, p) \leq E\} \quad (\Delta \ll E)$$

$$S^\Delta(q, p) = \underbrace{\frac{1}{\phi^\Delta(E)} S^\Delta(H(q, p) - E)}_{= \begin{cases} 1 & \text{für } (q, p) \in U^\Delta \\ 0 & \text{sonst} \end{cases}}$$

$$\phi^\Delta(E) = \int_{\mathbb{P}} d\Gamma S^\Delta(H(q, p) - E) = \int_{U^\Delta} d\Gamma = \frac{\text{Vol}_{6N}(U^\Delta)}{N! h^{3N}}$$

$\approx \# \text{ der QM Mikrozustände}$

$$S_{\text{MK}}(q, p) = S_{\text{MK}}^\Delta(q, p) \quad \begin{array}{l} \text{(da } \Delta\text{-Abhängigkeit i.-d.-R. vernachlässigbar)} \\ \text{Für } N \text{ sehr groß} \end{array}$$

Beispiel: Klassisches ideales Gas

(2.8)

$$\Phi^\Delta(E) \approx \left(\frac{V}{N}\right)^N e^{\frac{5}{2}N} \left(\frac{4\pi m E}{3N\hbar^2}\right)^{\frac{3N}{2}} \cdot \frac{\sqrt{2}}{2\pi N \sqrt{3}}$$

wobei

(2.9)

$$\Omega(E)\Delta \underset{\Delta E \ll E}{\approx} \Phi^\Delta(E) = \Phi(E) - \Phi(E-\Delta) \underset{N \text{ sehr groß}}{\approx} \Phi(E) := d\Gamma$$

$\approx \# \text{ der } \mathcal{Q} \text{ M Mikrozustände}$
 mit ~~$E_1, E_2, \dots, E_m \leq E$~~

Bemerkungen:

(i) Gl. (2.8) scheint $\lim_{E \rightarrow \infty} \Phi^\Delta(E) = 0$ zu suggerieren.

$N \rightarrow \infty$
 $E, V \text{ fest}$

Dies ist jedoch ein ^(physikalischer) Trugschluss (\rightarrow ÜbBlatt 4)

(ii) Der NormierungsFaktor $\frac{1}{N! h^{3N}}$ in $d\Gamma$
 gilt bei N ununterscheidbaren Teilchen
 in 3D. Bei unterschiedbaren Mikrobestand-
 teilen ~~wollen~~ und/oder bei $\dim \mathcal{P} \neq 6N$
 gelten entsprechend andere Normierungs-
 Faktoren (\rightarrow ÜbBlatt 3)

2.1-3 QM

Idealisierter Fall: E exakt bekannt

$$U^{\text{id}} = \{ | \psi \rangle \in \mathcal{H} \mid \hat{H} | \psi \rangle = E | \psi \rangle \}$$

$$\mathcal{S}_{\text{MK}}^{\text{id}} = \frac{1}{\mathcal{S}(E)} \underbrace{\delta(\hat{H} - E)}_{:= \text{Projektor auf } U^{\text{id}} \subset \mathcal{H}}$$

$$\begin{aligned} \mathcal{S}(E) &:= \text{Sp}(\delta(\hat{H} - E)) = \# \text{ der Basiszustände mit Energie } E \\ &= \dim_{\mathbb{C}} U^{\text{id}} \\ &= \text{Entartungsgrad von } E \end{aligned}$$

Im Gegensatz zur klassischen Mechanik ist $\mathcal{S}(E)$ hier eine dimensionslose Zustandsanzahl (und keine Zustandsdichte), die z.B. zur Entropieberechnung direkt benutzt werden kann (siehe unten).

Fall mit Energiedurchschräfe, (Auch in der QM gelegentlich nützlich)

$$\mathcal{S}_{\text{MK}}^{\Delta} := \frac{1}{\Phi^{\Delta}(E)} \underbrace{\delta^{\Delta}(\hat{H} - E)}_{}$$

Projektor auf U^{Δ}

$$U^{\Delta} := \text{Span}_{\mathbb{C}} \{ | m \rangle \in \mathcal{H} \mid \hat{H} | m \rangle = E_m | m \rangle \text{ mit } E - \Delta \leq E_m \leq E \}$$

$$\begin{aligned} \Phi^{\Delta}(E) &:= \text{Sp}(\delta^{\Delta}(\hat{H} - E)) = \# \text{ d. Basiszustände } m \text{ mit } \\ &\quad E - \Delta \leq E_m \leq E \\ &= \dim_{\mathbb{C}} U^{\Delta}. \end{aligned}$$

4

2.1.4 Entropie in der mikrokanonischen Gesamtheit

Wegen $S_{MK} = S_{Gleichverteilung}$ auf \mathcal{U} gilt:

$$(2.12) \quad S = k_B \ln M$$

$M = \# \text{der erlaubten } \overset{\text{Basis}}{z} \text{ Zustände in } \mathcal{U}$.

QM:

$$(2.13) \quad M = \dim_{\mathbb{C}} \mathcal{U} = \begin{cases} \mathcal{S}(E) & \text{Für } S_{MK}^{\text{id}} \\ \phi^{\Delta}(E) & \text{Für } S_{MK}^{\Delta} \end{cases}$$

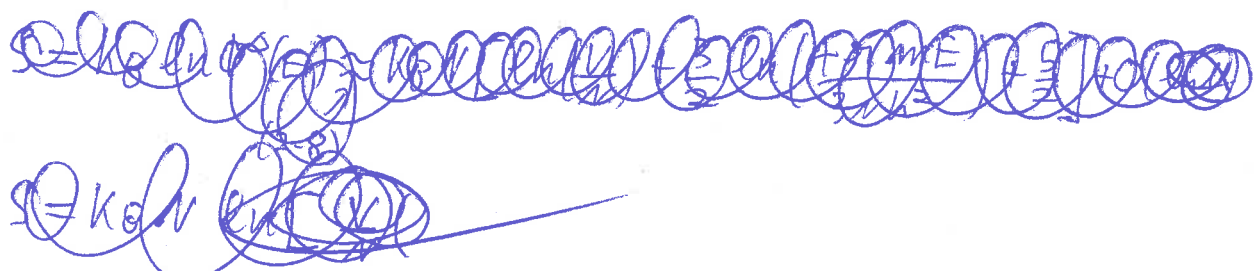
Klass. Mech.

$$(2.14) \quad M = \phi^{\Delta}(E) \approx \mathcal{S}(E) \Delta$$

Direkte Rechnung: $S = -k_B \int_P S_{MK} \ln S_{MK} d\Gamma = -k_B \int_{\mathcal{U}^{\Delta}} \frac{1}{\phi^{\Delta}(E)} \ln \left(\frac{1}{\phi^{\Delta}(E)} \right) d\Gamma$

$$= k_B \ln \phi^{\Delta}(E) \underbrace{\int_{\mathcal{U}^{\Delta}} \frac{1}{\phi^{\Delta}(E)} d\Gamma}_{1} = k_B \ln \underbrace{\phi^{\Delta}(E)}_{n}$$

Beispiel für (2.14): Klass. id. Gas



$$S(E, V, N) = k_B \ln \Phi^\diamond(E) \underset{(2.8)}{\approx} k_N \ln \left[\frac{V}{N} \left(\frac{4\pi m E}{3N h^2} \right)^{3/2} e^{5/2} \right] + O(\ln N)$$

(Dies ist gerade die Sackur-Tetrode-Gl.; Gl. (0.5))

Bemerkung:

Ohne den Faktor $\frac{1}{N!}$ in dT wäre in (2.18):

$$\Phi_{\text{ohne } \frac{1}{N!}}^\diamond(E) = N! \Phi^\diamond(E)$$

$$\Rightarrow S_{\text{ohne } \frac{1}{N!}} = S + k_B \ln N! \approx S + k_B(N \ln N - N)$$

Dies wäre im Widerspruch dazu, dass eine Verdoppelung des Systems ($N \rightarrow 2N, V \rightarrow 2V, E \rightarrow 2E$) zu einer Verdoppelung der Entropie führen sollte (siehe Additivität von S bei unabhängigen Teilsystemen), da

$$S \rightarrow 2S \quad (\text{wg } S \sim N \ln \left(\frac{V}{N} \cdot \left(\frac{E}{N} \right)^{3/2} \cdot c \right))$$

aber $N \ln 2N \neq 2N \ln N$

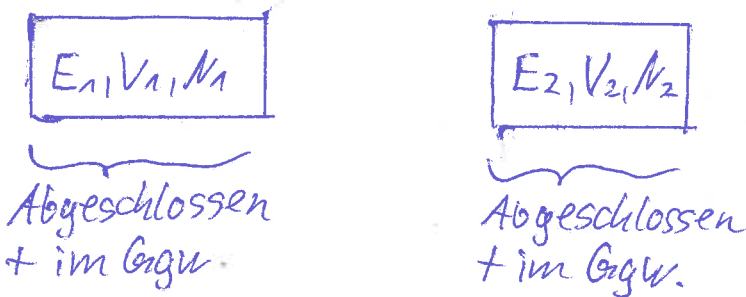
\hookrightarrow "Gibbssches Paradoxon"

(Wird also durch QM ununterscheidbarkeit aufgelöst)

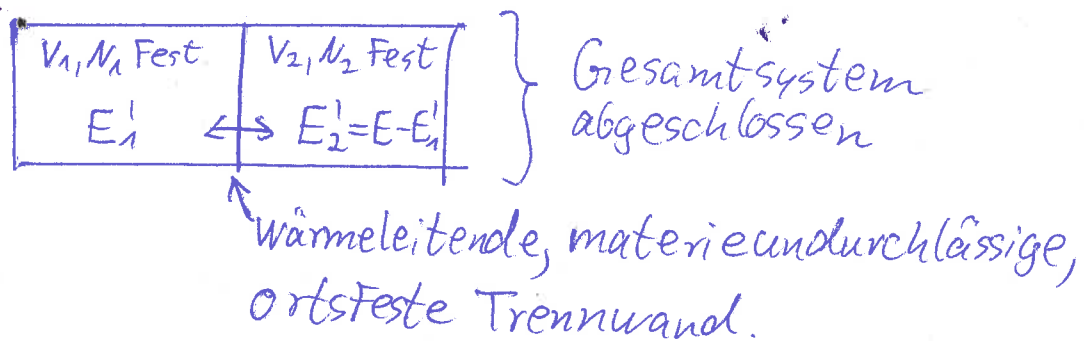
2.1.5 Temperatur, Druck und chemisches Potential

(i) Systeme mit Energieaustausch

- Startpunkt: Zwei abgeschlossene Teilsysteme mit jeweils Festen (E_1, V_1, N_1) bzw. (E_2, V_2, N_2) in separaten GIGW-Zuständen:



- Bring die Teilsysteme in thermischen Kontakt:



$$\Rightarrow E_1 \rightarrow E'_1 \quad \text{mit} \quad E'_1 + E'_2 = E = E_1 + E_2$$

$$E_2 \rightarrow E'_2$$

Energieaustausch bis ein neuer Gesamtgleichgewichtszustand entsteht.

- Frage: Was sind $E'_1, E'_2 = E - E'_1$ im neuen thermischen Gleichgewicht?

• Plausibelste Antwort:

Der wahrscheinlichste Endzustand ist derjenige mit der höchsten Gesamtzahl an Mikrozuständen, bzw. der mit der höchsten Gesamtentropie:

$$\# \text{der Gesamtmirozustände} = \Phi_{12}^{\circ} \approx \underbrace{\Phi_1^{\circ}(E_1^{'}, N_1, N_1)}_{H_{12} = H_1 + H_2 + H_{\text{wand}} \text{ klein}} \cdot \underbrace{\Phi_2^{\circ}(E - E_1^{'}, N_2, N_2)}_{E_2^{'}}$$

⇒ Finde Maximum von Φ_{12}° , bzw. von

$$S_{12} = k_B \ln \Phi_{12}^{\circ} = S_1(E_1^{'}, V_1, N_1) + S_2(E - E_1^{'}, V_2, N_2)$$

als Funktion von $E_1^{'}$:

$$dS_{12} = \left(\frac{\partial S_1}{\partial E_1^{'}} - \frac{\partial S_2}{\partial E_2^{'}} \right) dE_1^{'} \stackrel{!}{=} 0$$

$$\Rightarrow \boxed{\left. \frac{\partial S_1}{\partial E_1^{'}} \right|_{E_1^{'}} \stackrel{!}{=} \left. \frac{\partial S_2}{\partial E_2^{'}} \right|_{E_2^{'}=E-E_1}} \quad (2.16)$$

⇒ Die Größe $\left(\frac{\partial S}{\partial E} \right)_{V, N=\text{const}}$ hat im Gleichgewicht

Für beide Teilsysteme denselben Wert und sollte ^{somit} eine Funktion dessen sein, was wir "Temperatur" nennen.

Vergleich mit dem 1. Hauptsatz der
Phänomenologischen Thermodynamik:

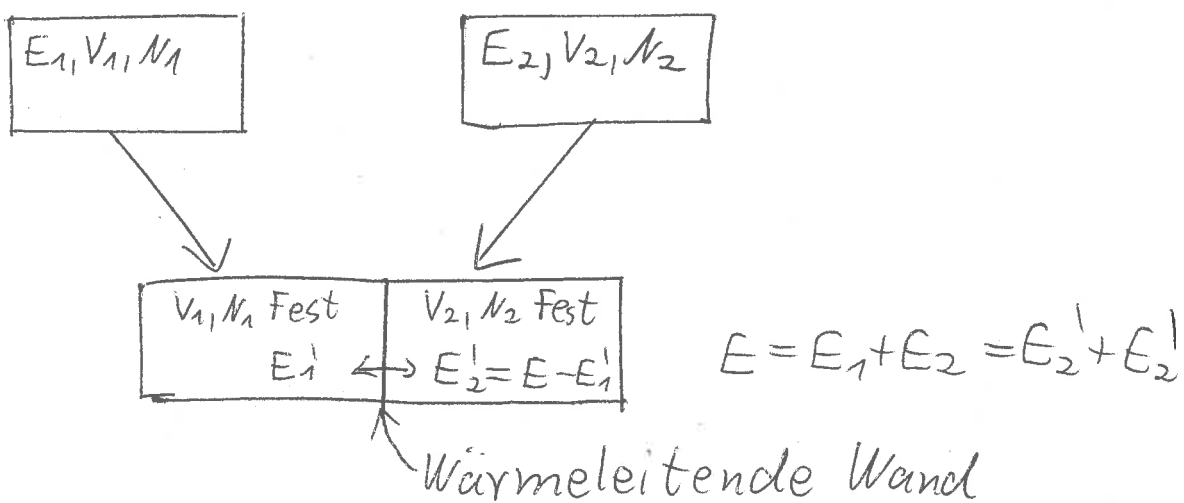
$$dE = \underbrace{T dS}_{\delta Q} + \underbrace{\delta A}_{=0 \text{ F\"ur } dV=0=dN}$$

$$\Rightarrow \boxed{\frac{1}{T} := \left(\frac{\partial S}{\partial E} \right)_{V,N=\text{const.}}} \quad (2.17)$$

(^{Def- oder} Absoluten Temperatur)

Letztes Mal:

Systeme im thermischen Kontakt



Thermisches Ggw. $\Leftrightarrow E_1'$ so dass

$$S_{12} = S_1(E_1', V_1, N_1) + S_2(\underbrace{E - E_1'}_{E_2'}, V_2, N_2)$$

maximiert wird

$$\Leftrightarrow \left. \frac{\partial S_1}{\partial E_1'} \right|_{E_1'} = \left. \frac{\partial S_2}{\partial E_2'} \right|_{E_2' = E - E_1'}$$

$$\Leftrightarrow [T_1 = T_2] \quad (2.18)$$

wobei

$$\left[\frac{1}{T} := \left(\frac{\partial S}{\partial E} \right)_{V, N \text{ Fest}} \right] \quad (2.17)$$

(Def. der absoluten Temperatur)

Bemerkungen:

2

(i) Eine häufig benutzte Größe ist:

$$\boxed{\beta := \frac{1}{k_B T}} \quad (2.19)$$

(ii) In Systemen mit nach oben unbeschränkter Energie (also insb.

in Systemen mit Translationsfreiheitsgraden) wächst die Zahl der möglichen Mikrozustände ~~mit~~ (also $\Phi^*(E)$)

mit steigendem E

$$\Rightarrow \frac{1}{T} = \frac{\partial S}{\partial E} = k_B \frac{\partial \ln \Phi^*(E)}{\partial E} > 0$$

$$\Rightarrow \boxed{T > 0}$$

(Für Systeme mit E nach oben unbeschränkt)

In Systemen mit nach oben beschränkter Energie kann es jedoch vorkommen, dass die Zahl der möglichen Mikrozustände mit steigendem E abnimmt!

Beispiel: Ortsfeste Spins in einem Magnetfeld

In einem Magnetfeld sei $\begin{cases} E(\uparrow) = +1/2 \\ E(\downarrow) = -1/2 \end{cases}$

Z.B. $N=2$ Spins $\Rightarrow 2^2 = 4$ Mikrozustände

Mikrozustände: $\downarrow\downarrow$	$\downarrow\uparrow$	$\uparrow\downarrow$	$\uparrow\uparrow$
E	-1	0	0
$\Phi^\Delta(E)$ (bzw. $S(E)$)	1	2	1
	$\frac{\Delta\Phi^\Delta(E)}{\Delta E} > 0$	$\frac{\Delta\Phi^\Delta(E)}{\Delta E} < 0$	

\Downarrow
 $\frac{\Delta S}{\Delta E} > 0$
 \Downarrow
 "T > 0"

\Downarrow
 $\frac{\Delta S}{\Delta E} < 0$
 \Downarrow
 "T < 0"

(Macht bei großen N erst richtig Sinn,
Funktioniert dort aber völlig analog)

\Rightarrow Negative $\overset{\text{absolute}}{\nwarrow}$ Temperaturen
bei hohen Energien!

→ Üblatt 4.

(iii) Beim Streben ins Ggw. nimmt die Gesamtentropie zu (2. Hauptsatz)
 (effektiver Informationsverlust, siehe
 später)

$$\Rightarrow dS_{12} = dS_1 + dS_2 = \left(\frac{\partial S_1}{\partial E_1} \right) dE_1 + \left(\frac{\partial S_2}{\partial E_2} \right) dE_2 \\ = \left(\frac{1}{T_1} - \frac{1}{T_2} \right) dE_1 > 0$$

Für positive T_1, T_2 Folgt hieraus:

- Energie fließt von höherer Temperatur ("heißer") zu niedrigerer Temperatur ("kälter")

(denn: $T_1 > T_2 \Rightarrow \frac{1}{T_1} - \frac{1}{T_2} < 0 \Rightarrow dE_1 < 0 \Rightarrow 1 \rightarrow 2$)

$T_1 < T_2 \Rightarrow \frac{1}{T_1} - \frac{1}{T_2} > 0 \Rightarrow dE_1 > 0 \Rightarrow 2 \rightarrow 1$)
- Höhere Temperatur verliert Entropie
 Niedrigere Temperatur gewinnt Entropie
 (und zwar mehr als die höhere Temperatur verliert!)

Für negative T : Üblatt 4.

- (iv) Beim idealen Gas ist: $\frac{E}{N} = \frac{3}{2} k_B T$, also (\rightarrow Üblatt 4)
 T ein Maß für die mittlere Teilchenenergie

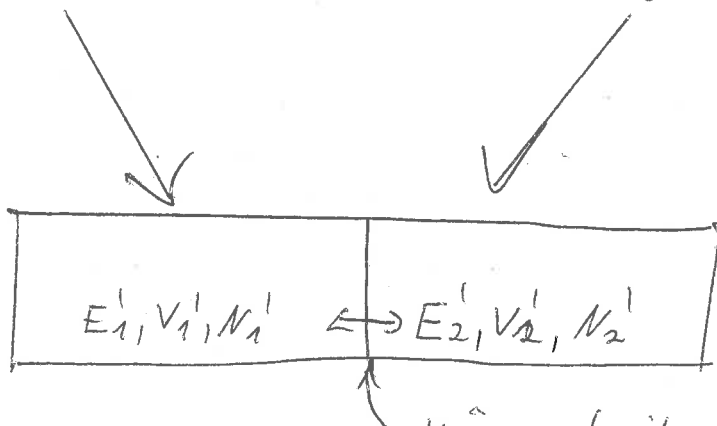
(ii) Systeme mit Energie-, Volumen- und/oder Teilchenaustausch

E_1, V_1, N_1 fest

Abgeschlossen
+ Ggw.

E_2, V_2, N_2 fest

Abgeschlossen
+ Ggw.



Wärmeleitend + möglicherweise
verschiebbar (\Leftrightarrow Volumenaustausch)
durchlässig (\Leftrightarrow Teilchenaustausch)

$$E = E_1 + E_2 = E'_1 + E'_2$$

$$V = V_1 + V_2 = V'_1 + V'_2$$

$$N = N_1 + N_2 = N'_1 + N'_2$$

Gesamtgleichgewicht $\Rightarrow E'_1, V'_1, N'_1$ stellen sich
so ein, dass $S_{12} = S(E'_1, V'_1, N'_1)$

$$S_{12} = S_1(E'_1, V'_1, N'_1) + S(E - E'_1, V - V'_1, N - N'_1)$$

E'_1 V'_1 N'_1

E_2 V_2 N_2

$E - E'_1$ $V - V'_1$ $N - N'_1$

E'_2 V'_2 N'_2

E_1 V_1 N_1

$E - E_1$ $V - V_1$ $N - N_1$

E_2 V_2 N_2

$E - E_2$ $V - V_2$ $N - N_2$

E'_1 V'_1 N'_1

E_1 V_1 N_1

E'_2 V'_2 N'_2

E_2 V_2 N_2

$E - E'_2$ $V - V'_2$ $N - N'_2$

$$0 = \left(\frac{\partial S_1}{\partial E'_1} - \frac{\partial S_2}{\partial E'_2} \right) dE'_1 + \left(\frac{\partial S_1}{\partial V'_1} - \frac{\partial S_2}{\partial V'_2} \right) dV'_1 + \left(\frac{\partial S_1}{\partial N'_1} - \frac{\partial S_2}{\partial N'_2} \right) dN'_1$$

\Leftrightarrow

$$\begin{array}{l} \frac{\partial S_1}{\partial E'_1} = \frac{\partial S_2}{\partial E'_2} \\ , \quad \frac{\partial S_1}{\partial V'_1} = \frac{\partial S_2}{\partial V'_2} \\ , \quad \frac{\partial S_1}{\partial N'_1} = \frac{\partial S_2}{\partial N'_2} \end{array}$$

a)

b)

c)

(2.20)

E, V, N
sind
unabhängige
Zustands-
variable

(2.20)a) \Rightarrow

$$T_1 = T_2$$

~~Gleich~~Def.:

$$\boxed{\frac{P(E, V, N)}{T(E, V, N)} := \frac{\partial S(E, V, N)}{\partial V}} \quad (2.21)$$

("Druck")

$$\boxed{-\frac{\mu(E, V, N)}{T(E, V, N)} := \frac{\partial S(E, V, N)}{\partial N}} \quad (2.22)$$

("Chemisches Potential")

Dies liefert die ^{zusätzlichen} VGlgu-Bedingungen:

$$\boxed{\begin{array}{l} P_1 = P_2 \text{ (Bei Volumenaustausch)} \\ \mu_1 = \mu_2 \text{ (Bei Teilchenaustausch)} \end{array}} \quad (2.23)$$

Beim Streben ins Ggw. folgt aus $dS_{12} > 0$:
(und bei angenommenen $T_1 = T_2$)

- $P_1 > P_2 \Rightarrow dV_1 > 0$

(Das System mit dem höheren Druck dehnt sich zu Ungunsten des Systems mit dem niedrigeren Druck aus)

- $\mu_2 > \mu_1 \Rightarrow dN_1 > 0$

(Teilchen fließen vom System mit höherem chemischen Potential zum System mit niedrigerem chemischen Potential)

Die Gibbs'sche Fundamentalform:

$$\phi^\circ = \phi^\circ(E, V, N) \Rightarrow S = k_B \ln(\phi^\circ) = S(E, V, N)$$

Aus (2.17), (2.21), (2.22) folgt:

$$dS = \frac{1}{T} dE + \frac{P}{T} dV - \frac{\mu}{T} dN \quad (2.24)$$

oder

$$dE = T dS - P dV + \mu dN \quad (2.25)$$

("Gibbs'sche Fundamentalform")

$$\Rightarrow E = E(S, V, N) \quad (2.26)$$

$$\Rightarrow T = \left(\frac{\partial E}{\partial S} \right)_{V, N} \quad (2.27a)$$

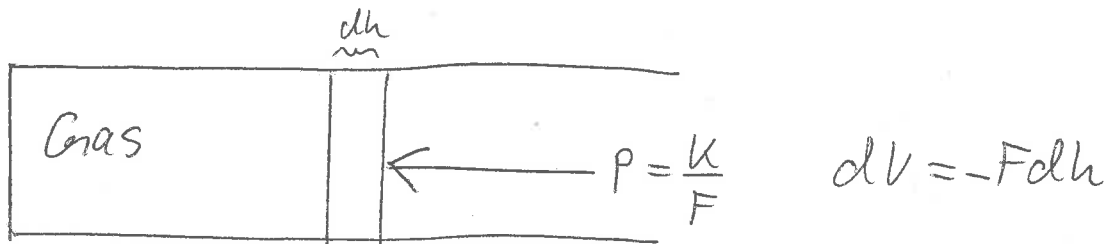
$$P = - \left(\frac{\partial E}{\partial V} \right)_{S, N} \quad (2.27b)$$

$$\mu = \left(\frac{\partial E}{\partial N} \right)_{S, V} \quad (2.27c)$$

$\Rightarrow P$ bzw. μ können auch als Energieänderung pro Volumenänderung bzw. Pro Teilchenzahländerung interpretiert werden.

Bemerkungen:

(i) (2.27b) entspricht der herkömmlichen Definition von Druck:



$$\Rightarrow \text{Arbeit } SA = dE = KdW = PFdh = -PDV$$

$$\Rightarrow P = - \left(\frac{\partial E}{\partial V} \right)_{S, N}$$

(ii) $dE = \mu dN$ = Energieänderung durch Teilchenzähländerung

$dE = TdS$ = Energieänderung durch
Wärmeübertragung

$$\Rightarrow dE = S\dot{Q} + S\dot{A}_{\text{Mech}} + S\dot{A}_{\text{Chem}}$$

|| || ||
 $\dot{T}\delta S$ $-\dot{p}\delta V$ $\mu\delta N$

(SQ, SA_{nech}, SA_{chem} sind Keine totalen Differeniale)

60

(d.h. Keine exakten
Differentialformen
auf dem (S, V, N) -Raum)

(⇒ Zustandsgröße "Wärme" oder "Arbeit")
 → siehe später

Letztes Mal:

$$S \cong S(E, V, N)$$

$$\frac{1}{T} := \left(\frac{\partial S}{\partial E} \right)_{V,N}, \quad \frac{P}{T} := \left(\frac{\partial S}{\partial V} \right)_{E,N}, \quad \frac{-\mu}{T} := \left(\frac{\partial S}{\partial N} \right)_{E,V}$$

$$\Rightarrow dS = \frac{1}{T} dE + \frac{P}{T} dV - \frac{\mu}{T} dN \quad (2.24)$$

- $E = E(s, V, N)$, denn

$$(2.24) \Leftrightarrow \boxed{dE = TdS - pdV + \mu dN} \quad (2.25)$$

(Gibbs'sche Fundamentalform)

$$\Rightarrow T = \left(\frac{\partial E}{\partial S} \right)_{V,N}, P = - \left(\frac{\partial E}{\partial V} \right)_{S,N}, \mu = \left(\frac{\partial E}{\partial N} \right)_{S,V}$$

Bemerkungen:

$$(i) + (ii) \quad (2.25) \Leftrightarrow dE = SQ + SA_{\text{mech}} + SA_{\text{char.}}$$

\uparrow	\uparrow	\uparrow
Wärmeübertragung (TdS)	Mech. Arbeit (-pdV)	Energieänderung durch Teilchen- zusätzl. übertrag. (TdV)

$SQ, SA_{\text{mech}}, SA_{\text{chem}}$ sind Keine totalen Differentiale

(d.h. Keine exakten Differentialformen auf dem (S, V, N) -Raum: $SQ \neq d(\dots)$ etc.)

Es gibt Keine Zustandsgrößen "Wärme" oder "Arbeit"! $SQ, SA_{\text{mech}}, SA_{\text{chem}}$ sind Prozessgrößen, die eine Zustandsänderung beschreiben.

(iii) E, S, V, N, T, P, μ sind Zustandsgrößen

Bei Systemverdoppelung gilt:

$$(E, S, V, N) \rightarrow (2E, 2S, 2V, 2N)$$

$$(T, P, \mu) \rightarrow (T, P, \mu) \quad (\text{w.g. } T = \frac{\partial S}{\partial E} \rightarrow \frac{2\partial S}{2\partial E} = \frac{\partial S}{\partial E} = T) \\ \text{etc.}$$

$\Rightarrow E, S, V, N$ sind "extensive" Zustandsgrößen ("mengenartig")

T, P, μ sind "intensive" Zustandsgrößen ("mengenunabhängig")

(iv) Kennt man $S(E, V, N)$ oder $E(S, V, N)$, kann man alle anderen Zustandsgrößen berechnen ((2.17), (2.21), (2.22), (2.27)). Funktionen mit dieser Eigenschaft nennt man "thermodynamische Potentiale".

2.2 Gesamtheiten mit vorgegebenen Mittelwerten

Betrachte: Ein Makrosystem mit

(i) Typ I Observablen X_α ($\alpha=1, \dots, n$)

(d.h. $X_\alpha = \xi_\alpha$ = Fest vorgegeben)

(ii) Typ II Observablen Y_i ($i=1, \dots, m$)

(d.h. $\langle Y_i \rangle_S \stackrel{!}{=} \gamma_i$)

(i) $\Rightarrow S$ nicht trivial nur auf $U \subset \{\}_{IP}^{\mathcal{H}}$

(z.B. $U = \{(q, p) \in IP \mid X_\alpha(q, p) = \xi_\alpha\}$)

wir arbeiten im Folgenden auf U

(ii) \Rightarrow Einschränkungen an das auf U lebende S :

$$\langle Y_i \rangle_S \stackrel{!}{=} \gamma_i \Leftrightarrow \begin{cases} \int_U d\Gamma_S Y_i \stackrel{!}{=} \gamma_i \\ S_p(U \bar{\gamma}_i) \stackrel{!}{=} \gamma_i \end{cases}$$

Im Folgenden: QM (Klass. Mech. gelten analog)



Gesucht:

Das vorurteilsFreieste S (also dasjenige mit der größtmöglichen Entropie $S[S]$)

unter der Berücksichtigung der folgenden Nebenbedingungen:

$$S_p(S) \stackrel{!}{=} 1 \quad (2.28a)$$

$$S_p(S \hat{y}_i) \stackrel{!}{=} y_i \quad (2.28b)$$

Lösung: (Üblatt 4)

$$S = S_{BG} := \frac{1}{Z} \exp \left(- \sum_{i=1}^m \lambda_i \hat{y}_i \right) \quad (2.29)$$

mit

$$Z = S_p \left(\exp \left(- \sum_{i=1}^m \lambda_i \hat{y}_i \right) \right) \quad (2.30)$$

S_{BG} : "Verallgemeinerte Boltzmann-Gibbs-Verteilung"

Z : "Zustandssumme"

Beweis: Üblatt 4

3

Alternativ: Methode der Lagrange'schen Multiplikatoren:

Finde Extremum von

$$-\text{Sp}(\delta \ln S) - \sum_{i=1}^m \lambda_i [\text{Sp}(\delta \hat{y}_i) - \gamma_i] - \lambda_0 [\text{Sp}(\delta) - 1]$$

(λ_i, λ_0 = Lagrange'sche Multiplikatoren)

$$\Rightarrow 0 \stackrel{!}{=} -\text{Sp}(\delta \delta \ln S) - \text{Sp}(\delta \delta) - \sum_{i=1}^m \lambda_i \text{Sp}(\delta \delta \hat{y}_i) - \lambda_0 \text{Sp}(\delta \delta)$$

$$\delta \ln S = S^{-1} \delta S$$

$$\Leftrightarrow \text{Sp} \left[\delta S \left[\ln S + (1 + \lambda_0) + \sum_{i=1}^m \lambda_i \hat{y}_i \right] \right] = 0$$

$$\Leftrightarrow \ln S = - \sum_{i=1}^m \lambda_i \hat{y}_i - (1 + \lambda_0)$$

$$\Leftrightarrow S = \frac{1}{Z} \exp \left(- \sum_{i=1}^m \lambda_i \hat{y}_i \right)$$

$$Z = e^{(\lambda_0 + 1)} = \text{Sp} \left[\exp \left(- \sum_{i=1}^m \lambda_i \hat{y}_i \right) \right] \quad (\text{damit } \text{Sp} S = 1)$$

Bemerkung:

Die Parameter λ_i sind implizit durch die vorgegebenen Mittelwerte $\langle \hat{y}_i \rangle$ bestimmt:

$$\begin{aligned} \langle \hat{y}_i \rangle &= S_P(S_{BG} \hat{y}_i) = S_P\left(\frac{1}{Z} \exp\left(-\sum_{j=1}^m \lambda_j \hat{y}_j\right) \hat{y}_i\right) \\ &= -\frac{1}{Z} \frac{\partial}{\partial \lambda_i} \underbrace{\left[S_P\left(\exp\left(-\sum_{j=1}^m \lambda_j \hat{y}_j\right)\right) \right]}_{Z(\lambda_1, \dots, \lambda_m)} \end{aligned}$$

$$\Rightarrow \boxed{\langle \hat{y}_i \rangle = -\frac{\partial}{\partial \lambda_i} \ln Z(\lambda_1, \dots, \lambda_m)} \quad (2.31)$$

→ Eine Umkehrung von (2.31) lieferte im Prinzip:

$$\lambda_i = \lambda_i(\langle \hat{y}_j \rangle)$$

Zur Umkehrbarkeit von (2.31)

7

Offenbar: $\langle \hat{Y}_j \rangle (\lambda_i)$ sind umkehrbar

$\Rightarrow M_{ij} := -\frac{\partial \langle \hat{Y}_j \rangle}{\partial \lambda_i}$ ist umkehrbar
(als $(m \times m)$ -Matrix).

Nun ist:

$$M_{ij} = -\frac{\partial \langle \hat{Y}_j \rangle}{\partial \lambda_i} \stackrel{(2.31)}{=} \frac{\partial}{\partial \lambda_i} \left(\frac{1}{Z} \frac{\partial Z}{\partial \lambda_j} \right) = \frac{\partial^2 Z}{\partial \lambda_i \partial \lambda_j} \cdot \frac{1}{Z} - \underbrace{\left(\frac{1}{Z} \frac{\partial Z}{\partial \lambda_i} \right) \left(\frac{1}{Z} \frac{\partial Z}{\partial \lambda_j} \right)}_{\langle \hat{Y}_i \rangle \langle \hat{Y}_j \rangle}$$

$$= S_P \underbrace{\left[\hat{Y}_i \hat{Y}_j \exp \left(- \sum_{k=1}^m \lambda_k \hat{Y}_k \right) \right]}_{Z} - \langle \hat{Y}_i \rangle \langle \hat{Y}_j \rangle \\ S_{BG}$$

$$= \langle \hat{Y}_i \hat{Y}_j \rangle - \langle \hat{Y}_i \rangle \langle \hat{Y}_j \rangle$$

$$\Rightarrow M_{ij} = -\frac{\partial \langle \hat{Y}_j \rangle}{\partial \lambda_i} = \langle (\hat{Y}_i - \langle \hat{Y}_i \rangle)(\hat{Y}_j - \langle \hat{Y}_j \rangle) \rangle \quad (2.32)$$

\Rightarrow Für beliebige $(c_i) \in \mathbb{C}^m$ gilt:

$$\sum_i c_i M_{ij} c_j^* = \left\langle \left| \sum_{i=1}^m c_i (\hat{Y}_i - \langle \hat{Y}_i \rangle) \right|^2 \right\rangle \geq 0.$$

Für simultan diagonalisierbare \hat{Y}_i , wäre $\sum_i c_i M_{ij} c_j^* = 0$ aber nur möglich, wenn $\sum_i c_i \hat{Y}_i = (\sum_i c_i \langle \hat{Y}_i \rangle) \text{id}_U$, was wir wegen der Unabhängigkeit der Observablen \hat{Y}_i aber

ausschließen wollen.

⇒ M_{ij} ist positiv definit und somit umkehrbar

⇒ Die Funktionen $\langle \hat{Y}_j \rangle(\lambda_i)$ sind in unseren Modellen umkehrbar

⇒ $\lambda_i = \lambda_i(\langle \hat{Y}_j \rangle)$

Letztes Mal:

2.2 Gesamtheiten mit vorgegebenen Mittelwerten

(i) Typ I Observable: $X_\alpha = \xi_\alpha = \text{Fest vorgegeben } (\alpha=1, \dots, n)$

↳ Einschränkung auf $\mathcal{U} \subset \mathbb{C}_{\mathbb{R}}^n$

(ii) Typ II Observable: $\langle Y_i \rangle_S = \bar{y}_i \quad (i=1, \dots, n)$

↳ Einschränkungen an das auf \mathcal{U} lebende S

Aber: S immer noch unterbestimmt

→ Natürliche Wahl:

$S = S_{BG} := \text{VorurteilsFreiestes mit } \langle Y_i \rangle_S = \bar{y}_i$
Kompatibles & auf \mathcal{U} lebendes S

QM:

$$S_{BG} = \frac{1}{Z} \exp \left[- \sum_{j=1}^m \lambda_j \hat{Y}_j \right]$$

Verallgemeinerte Boltzmann-Gibbs-Verteilung

$$Z := S_P \left[\exp \left(- \sum_{j=1}^m \lambda_j \hat{Y}_j \right) \right]$$

(Zustandssumme)

(2.29)

(2.30)

$\lambda_i (i=1, \dots, m)$ implizit bestimmt durch

$$\langle \hat{Y}_i \rangle = \langle \hat{Y}_i \rangle(\lambda_j) = -\frac{\partial}{\partial \lambda_i} \ln Z(\lambda_1, \dots, \lambda_m) \quad (2.31)$$

Umkehrbarkeit von $\langle \hat{Y}_i \rangle (\lambda_i)$ aus positiver Definitheit von

$$M_{ij} := -\frac{\partial \langle \hat{Y}_i \rangle}{\partial \lambda_j} = \langle (\hat{Y}_i - \langle \hat{Y}_i \rangle)(\hat{Y}_j - \langle \hat{Y}_j \rangle) \rangle \quad (2.32)$$

Zusammenhang zwischen Zustandssumme und Entropie

Üblatt 4:

$$\boxed{\frac{S[S_{BG}]}{k_B} = -S_P(S_{BG}, \ln S_{BG}) = \ln Z + \sum_{j=1}^m \lambda_j \langle \hat{Y}_j \rangle} \quad (2.33)$$

$$\Rightarrow \frac{1}{k_B} \frac{\partial S}{\partial \langle \hat{Y}_i \rangle} = \sum_{j=1}^m \left(\underbrace{\frac{\partial \ln Z}{\partial \lambda_j}}_{= -\langle \hat{Y}_j \rangle} \cancel{\frac{\partial \lambda_j}{\partial \langle \hat{Y}_i \rangle}} + \cancel{\frac{\partial \lambda_j}{\partial \langle \hat{Y}_i \rangle}} \cdot \langle \hat{Y}_i \rangle + \lambda_j S_{ji} \right)$$

$$\Rightarrow \boxed{\frac{1}{k_B} \frac{\partial S}{\partial \langle \hat{Y}_i \rangle} = \lambda_i} \quad (2.34)$$

(2.31), (2.33), (2.34)

\Rightarrow

$\frac{S[S_{BG}]}{k_B}(\langle \hat{Y}_i \rangle)$ und $\ln Z(\lambda_i)$ sind Legendre-Transformierte voneinander
 Analog zu $P = \frac{\partial L}{\partial \dot{q}}$, $H = P\dot{q} - L$, $\dot{q} = \frac{\partial H}{\partial P}$
 $(\lambda_i \leftrightarrow \dot{q})$, $-\ln Z \leftrightarrow L$, $H \leftrightarrow \frac{S}{k_B}$, $P \leftrightarrow \langle \hat{Y}_i \rangle$

Mittelwerte vs. wahrscheinlichste Werte

Sei $| \psi \rangle$ ein Mikrozustand mit \hat{Y}_i -Eigenwerten y_i (also $\hat{Y}_i |\psi\rangle = y_i |\psi\rangle$). Dann ist für $S=S_{\text{BG}}$

$$P(|\psi\rangle) = \frac{1}{Z} \exp\left(-\sum_{i=1}^m \lambda_i y_i\right) \quad (2.35)$$

gerade die Realisierungswahrscheinlichkeit dieses einen Mikrozustandes.

Dies ist nicht zu verwechseln mit der Realisierungswahrscheinlichkeit der Eigenwertkombination (y_1, \dots, y_m) , denn diese ergibt sich erst durch Multiplikation mit dem Entartungsgrad $\Omega(y_i)$ dieser Eigenwert-Kombination:

$$P(y_1, \dots, y_m) = \Omega(y_i) \cdot P(|\psi\rangle) = \Omega(y_i) \exp\left[-\sum_{j=1}^m \lambda_j y_j\right]$$

Das (i.d.R. exponentielle) Anwachsen von $\Omega(\circledcirc y_i)$ mit y_i konkurriert dann mit $e^{-\sum_j \lambda_j y_j}$, sodass die wahrscheinlichsten Eigenwerte \bar{y}_i nicht Null, sondern endlich sind:

$$0 \doteq \left. \frac{\partial P(y_i)}{\partial y_i} \right|_{y_i=\bar{y}_i} = \left. \frac{\partial \mathcal{S}(y_i)}{\partial y_i} \right|_{\bar{y}_i} \cdot \frac{\exp\left(-\sum_{j=1}^m \lambda_j \bar{y}_j\right)}{Z}$$

$$-\lambda_i \mathcal{S}(\bar{y}_i) \cdot \frac{\exp\left(-\sum_{j=1}^m \lambda_j \bar{y}_j\right)}{Z}$$

$$\Rightarrow \left. \frac{1}{\mathcal{S}} \cdot \frac{\partial \mathcal{S}}{\partial y_i} \right|_{\bar{y}_i} = \lambda_i \quad \Leftrightarrow \left. \frac{\partial \ln \mathcal{S}}{\partial y_i} \right|_{\bar{y}_i} = \lambda_i$$

III
 $\frac{1}{k_B} S^{MK}$

$$\Rightarrow \boxed{\left. \frac{1}{k_B} \frac{\partial S^{MK}}{\partial y_i} \right|_{\bar{y}_i} = \lambda_i} \quad (2.37)$$

(bestimmt wahrscheinlichste Werte \bar{y}_i)

Hierbei ist $S^{MK} \equiv k_B \ln \mathcal{S}$ die Entropie einer fiktiven mikrokanonischen Gesamtheit mit $y_i = \bar{y}_i = \text{"Fest vorgegeben"}$.

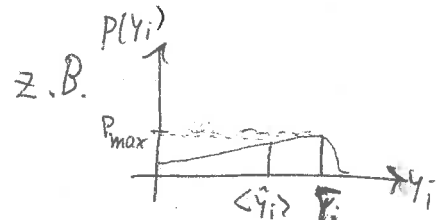
Man beachte:

$$\boxed{\left. \frac{1}{k_B} \frac{\partial S^{MK}}{\partial y_i} \right|_{y_i=\bar{y}_i} = \lambda_i \stackrel{(2.37)}{=} \stackrel{(2.34)}{\frac{1}{k_B} \frac{\partial S[S_{BG}]}{\partial \langle \hat{y}_i \rangle}}} \quad (2.38)$$

Obwohl für endliche N i.A. gilt:

$$\boxed{\bar{y}_i \neq \langle \hat{y}_i \rangle} \quad (2.39a)$$

$$\boxed{S^{MK}(\bar{y}_i) \neq S[S_{BG}](\langle \hat{y}_i \rangle)} \quad (2.39b)$$



Aber:

Für extensive \hat{Y}_i gilt:

$$\langle \hat{Y}_i \rangle = O(N), \quad S[S_{BG}] = O(N)$$

$$\stackrel{(2.34)}{\Rightarrow} \lambda_i = \frac{1}{k_B} \frac{\partial S[S_{BG}]}{\partial \langle \hat{Y}_i \rangle} = O(N^0)$$

$\Rightarrow \lambda_i$ ist intensiv

$$\text{Also: } \Delta Y_i := \sqrt{\langle (\hat{Y}_i - \langle \hat{Y}_i \rangle)^2 \rangle} \stackrel{(2.32)}{=} \sqrt{\frac{\partial \langle \hat{Y}_i \rangle}{\partial \lambda_i}} = O(N^{1/2})$$

$$\Rightarrow \boxed{\frac{\Delta Y_i}{\langle \hat{Y}_i \rangle} = O\left(\frac{1}{\sqrt{N}}\right) \xrightarrow{N \rightarrow \infty} 0} \quad (2.40)$$

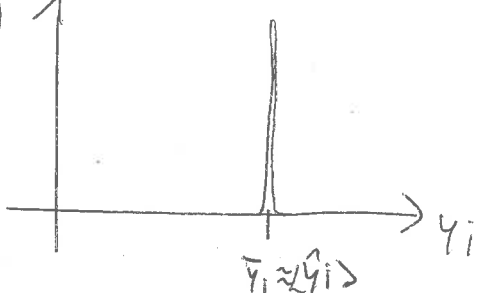
(für extensive \hat{Y}_i)

\Rightarrow Im thermodynamischen Grenzfall

~~sie bilden~~ ~~wenden~~ die Wahrscheinlichkeitsverteilungen extensiver ^{Größen} ~~extensiver~~ ^{sehr} Scharfe ~~und flache~~ ^{der} ~~Mittelwert~~ Maxima um den Mittelwert aus,

auch wenn es Typ II - Observable sind.

$$P(Y_i)$$



Es gilt dann

$$S_{BG} \approx S_{MK} \text{ mit } \gamma_i = \langle \hat{\gamma}_i \rangle \text{ "quasi Fest Vorgegeben"}$$

(2.41a)

$$\langle \hat{\gamma}_i \rangle \approx \bar{\gamma}_i$$

(2.41b)

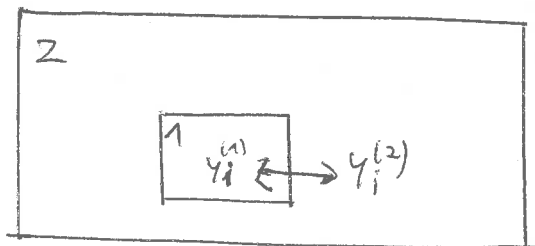
$$S[S_{BG}](\langle \hat{\gamma}_i \rangle) \approx S^{MK}(0\bar{\gamma}_i) \quad (\rightarrow \text{Üblich})$$

(2.41c)

(im thermodynamischen Limes)

Physikalische Realisierung von S_{BG} für extensive Erhaltungsgrößen

- Seien γ_i extensive Erhaltungsgrößen (z.B. E, N).
- Bringe das interessierende System 1 in Kontakt mit einem wesentlich größeren System 2 ("Reservoir") mit $N_2 \gg N_1$, sodass die Größen γ_i ausgetauscht werden können. (ignoriere etwaige Typ I Observable x_α)



$$\gamma_i^{(1)} + \gamma_i^{(2)} = \gamma_i = \text{const}$$

Beispiele:

- Thermischer Kontakt mit Wärmereservoir

$$\{Y_i\} = \{\tilde{H}\}, E_1 + E_2 = E = \text{const}$$

$\rightarrow S_{BG} = S_K$

- Thermischer und chemischer Kontakt mit Wärme- und Teilchen reservoir

$$\{Y_i\} = \{\tilde{H}, \tilde{N}\}, E_1 + E_2 = E = \text{const}$$

$$N_1 + N_2 = N = \text{const.}$$

$$\rightarrow S_{BG} = S_{GK}$$

Gleichgewichtsbedingungen:

$\frac{\partial S_1^{MK}}{\partial Y_i^{(1)}} \quad \quad Y_i^{(1)} = \bar{Y}_i^{(1)}$	$\doteq \frac{\partial S_2^{MK}}{\partial Y_i^{(2)}} \quad \quad Y_i^{(2)} = Y_i - \bar{Y}_i^{(1)} = \bar{Y}_i^{(2)}$	(2.42)
--	---	----------

(Gleicher Argument wie in (2.16): $dS_{12} = 0$ im Gru)

Reproduktion der BG-Verteilung:

Sei $| \psi \rangle$ ein bestimmter Mikrozustand

von System 1 mit EWen $Y_i^{(1)}$. Gesamtsystem ist abgeschlossen \rightarrow Mikrozustände d-Gesamtsystems sind gleichverteilt.

$P(|\psi\rangle) = \# \text{ der Mikrozustände von System 2 mit } Y_i^{(2)} = Y_i - Y_i^{(1)}$

Gesamtzahl aller Mikrozustände des Gesamtsystems.

$$\Omega_2(Y_i^{(2)} = Y_i - Y_i^{(1)}) = \exp\left[\frac{S_2^{MK}(Y_i - Y_i^{(1)})}{k_B}\right]$$

Nun ist:

D

$$S_2^{MK}(y_i - y_i^{(1)}) = S_2^{MK} \underbrace{(y_i - \bar{y}_i^{(1)} + \bar{y}_i^{(1)} - y_i^{(1)})}_{\bar{y}_i^{(2)}}$$

$$= S_2^{MK}(\bar{y}_i^{(2)}) + \sum_{j=1}^m \frac{\partial S_2^{MK}}{\partial y_j^{(2)}} \Big|_{\bar{y}_i^{(2)}} \cdot (\bar{y}_j^{(1)} - y_j^{(1)}) + \frac{1}{2} \sum_{k,j} \frac{\partial^2 S_2^{MK}}{\partial y_k^{(2)} \partial y_j^{(2)}} \Big|_{\bar{y}_i^{(2)}} (\bar{y}_k^{(1)} - y_k^{(1)}) (\bar{y}_j^{(1)} - y_j^{(1)})$$

const.

$$O\left(\frac{N_2}{N_2} \cdot N_1\right) = O(N_1)$$

$$= O\left(\frac{N_2}{N_2 N_2} \cdot N_1 \cdot N_1\right)$$

$$= O(N_1 \frac{N_1}{N_2})$$

Vernachlässigbar
Für $N_1 \ll N_2$.

$$\approx C - \sum_{j=1}^m \frac{\partial S_2^{MK}}{\partial y_j^{(2)}} \Big|_{\bar{y}_i^{(2)}} y_j^{(1)}$$

$\xrightarrow{(2.42)}$

$$= \frac{\partial S_1^{MK}}{\partial y_j^{(1)}} \Big|_{\bar{y}_i^{(1)}} =$$

$$\Rightarrow P(y) = C \cdot \exp \left[- \sum_{j=1}^m \frac{\partial S_1^{MK}}{\partial y_j^{(1)}} \Big|_{\bar{y}_i^{(1)}} : y_j^{(1)} \right]$$

$$(2.37) \quad = C \cdot \exp \left[- \sum_{j=1}^m \lambda_j y_j^{(1)} \right]$$

\Rightarrow System 1 gehorcht der \downarrow verallgemeinerten Boltzmann-Gibbs-Verteilung!

Letztes Mal:

Verallgemeinerte Boltzmann-Gibbs-Verteilung

Für Typ II Observable ($\langle \hat{Y}_i \rangle = \text{vorgegeben}$):

$$S_{BG} = \frac{1}{Z} \exp \left[- \sum_{j=1}^m \lambda_j \hat{Y}_j \right] \quad (2.29)$$

$$Z = S_P \left[\exp \left(- \sum_{j=1}^m \lambda_j \hat{Y}_j \right) \right] \quad (\text{zustandssumme}) \quad (2.30)$$

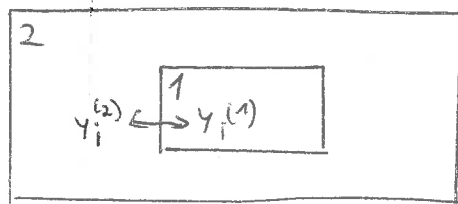
$$\Rightarrow \langle \hat{Y}_i \rangle = - \frac{\partial}{\partial \lambda_i} \ln Z(\lambda_1, \dots, \lambda_m) \quad (2.31)$$

$$\frac{S[S_{BG}]}{k_B} = -S_P(S_{BG} \ln S_{BG}) = \ln Z + \sum_{j=1}^m \lambda_j \langle \hat{Y}_j \rangle \quad (2.33)$$

$$\lambda_i = \frac{\partial}{\partial \langle \hat{Y}_i \rangle} \left(\frac{S[S_{BG}]}{k_B} \right) \quad (2.34)$$

$$\Rightarrow \frac{S[S_{BG}]}{k_B} (\langle \hat{Y}_i \rangle) \xleftrightarrow[(2.33)]{\text{Legendretrofо}} -\ln Z(\lambda_i)$$

Physikalische Realisierung für extensive Erhaltungsgrößen Y_i :



Für $N_2 \gg N_1$:

2 ist "y_i-Reservoir" für 1
und

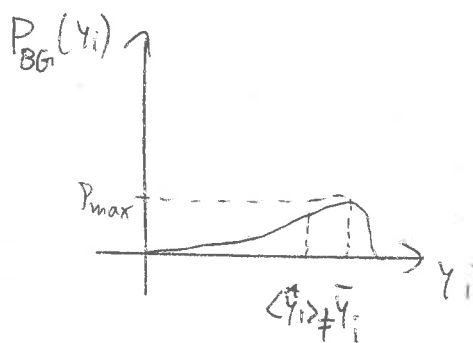
$$S_1 \approx S_{BG}$$

Achtung: N_1 kann hier klein oder sogar eins sein!! Wichtig für $S_1 \approx S_{BG}$ ist nur $N_2 \gg N_1$.

Aber: (jeweils für $N_2 \gg N_1$)

- $N_1 = \text{klein} \Rightarrow S_1 \approx S_{BG} \neq S_{MK}$

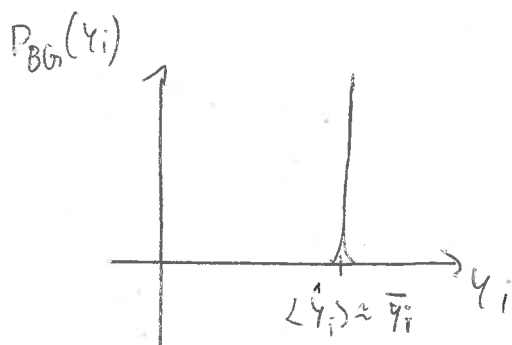
- $N_1 = \text{sehr groß} \Rightarrow S_1 \approx S_{BG} \approx S_{MK}(\bar{\gamma}_i)$ mit $\bar{\gamma}_i = \langle \hat{\gamma}_i \rangle \approx \bar{\gamma}_i$ ~~ausreichend genau~~



N_1 klein

↓
 S_{BG} ist phys.
richtig, S_{MK} nicht.

→ S_{BG} muss benutzt
werden



N_1 sehr groß

↓
 S_{BG} und S_{MK} sind
phys. praktisch äquivalent.

→ S_{BG} oder ~~S_{MK}~~ können
benutzt werden

~~(Sowohl S_{BG} als auch S_{MK} sind einfacher)~~
 (sowohl für $\langle \hat{\gamma}_i \rangle = \text{Vorzeichen}$
 (als auch für $\gamma_i = \text{Fest vorgegeben}$)
 (S_{BG} meist einfacher))

2.3 Die Kanonische Gesamtheit

2.3.1 Vorgegebene Größen und phys. Realisierung

Typ II Observable:

$$\{\hat{Y}_i\} = \{\hat{H}\}$$

$\Leftrightarrow \langle E \rangle = \langle \hat{H} \rangle$ ist nur im Mittel vorgegeben

Typ I Observable: ~~ist~~ modellabhängig, z.B.

- Gasen: $\{X_\alpha\} = \{V, N\}$

- Ortsfeste Oszillatoren: $\{X_\alpha\} = \{N\}$

⋮

Unser Fokus hier (andere Fälle analog)

$$\{X_\alpha\} = \{V, N\}$$

$\Rightarrow V, N = \text{fest vorgegeben}$

Physikalische Realisierung:

System 1 im großen Wärmebad (= System 2)

2	$V_2, N_2 = \text{Fest}$
---	--------------------------

1	$V_1, N_1 = \text{Fest}$
---	--------------------------

$$E_2 \leftarrow E_1$$

$$\underline{N_2 \gg N_1}$$

\Rightarrow Dichteoperator:

$$S_1 \approx S_K := S_{BG} \Big|_{\{\hat{E}_1\} = \{\hat{H}\}} = \frac{1}{Z} \exp[-\lambda \hat{H}_1] \quad (2.43a)$$

$$\rightarrow Z = S_P \left[\exp(-\lambda \hat{H}_1) \right] \left(\frac{\text{"Kanonische Zustandssumme"}}{} \right) \quad (2.43b)$$

wichtigstes Objekt in der kanonischen Gesamtheit ("Kennt man Z , kennt man alles" \Leftrightarrow siehe unten))

Vereinbarung: Wir lassen den Index "1" im Folgenden häufig weg ($\hat{H} = \hat{H}_1$, $V_1 = V$, etc.),

Es ist: $\hat{H} = \hat{H}(V, N)$

$$\Rightarrow Z = Z(\lambda, V, N) \quad \text{und}$$

$$(2.31) \Leftrightarrow \langle E \rangle = \langle \hat{H} \rangle = -\frac{\partial}{\partial \lambda} \ln Z \quad (2.44a)$$

$$(2.33) \Leftrightarrow \frac{S_K}{K_B} := \frac{S[S_K]}{K_B} = \ln Z + \lambda \langle E \rangle \quad (2.44b)$$

(~~$S_K = S_K(E, V, N)$~~ , ~~$\lambda, \langle E \rangle$~~) $\not\in$ Legendre-Darstellung ~~$S_K = S_K(\lambda, \langle E \rangle, V, N)$~~

$$(2.34) \Leftrightarrow \lambda = \frac{1}{K_B} \frac{\partial S_K}{\partial \langle E \rangle} \quad (2.44c)$$

$\Rightarrow S_K = S_K(\langle E \rangle, V, N) = \text{Legendretransfo von } -k_B \ln Z(\lambda, V, N)$
 $bzgl. \langle E \rangle \Leftrightarrow \lambda$

2.3.2 Temperatur, Druck, chemisches Potential

wir identifizieren:

$$\frac{1}{T} = \frac{\partial S_K}{\partial \langle E \rangle}$$

(Temperatur)

(2.45a)

$$\frac{P}{T} = \frac{\partial S_K}{\partial V}$$

(Druck P)

(2.45b)

$$-\frac{\mu}{T} = \frac{\partial S_K}{\partial N}$$

(chemisches Potential μ)

(2.45c)



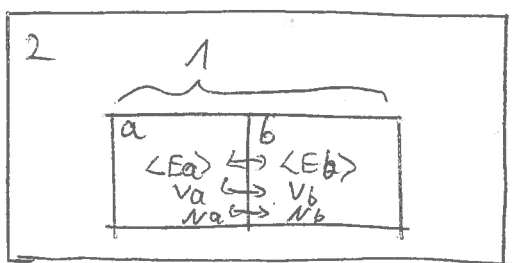
$$\lambda = \frac{1}{k_B} \frac{\partial S_K}{\partial \langle E \rangle} \stackrel{(2.45a)}{=} \frac{1}{k_B T} = \beta$$

(2.46c)

(2.46)

Begründung:

Unterteile System 1 im Wärmebad (=System 2)
 $N_2 \gg N_1$
 in zwei Untersysteme a und b, sodass
 diese Energie, Volumen und Teilchen austauschen
 können:



\Rightarrow Für 1 sind $\langle E_1 \rangle, V_1, N_1$ vorgegeben
 und $S_{K_1} = S[S_{K_1}] = S[S_{B_{G_1}}]$ ist für diese
 Vorgaben maximal.

⇒ Die Aufteilungen

$$\langle E_1 \rangle = \langle E_a \rangle + \langle E_b \rangle$$

$$V_1 = V_a + V_b$$

$$N_1 = N_a + N_b$$

Sind im Ggw. so, dass

$$S_{K1} = S_{Ka}(\langle E_a \rangle, V_a, N_a) + S_{Kb}(\underbrace{\langle E_1 \rangle - \langle E_a \rangle}_{\langle E_b \rangle}, \underbrace{V_1 - V_a}_{V_b}, \underbrace{N_1 - N_a}_{N_b})$$

als Funktion von $\langle E_a \rangle, V_a, N_a$ maximal ist.

$$\Rightarrow \boxed{(2.47) \quad \frac{\partial S_{Ka}}{\partial \langle E_a \rangle} = \frac{\partial S_{Kb}}{\partial \langle E_b \rangle} \quad , \quad \frac{\partial S_{Ka}}{\partial V_a} = \frac{\partial S_{Kb}}{\partial V_b} \quad , \quad \frac{\partial S_{Ka}}{\partial N_a} = \frac{\partial S_{Kb}}{\partial N_b}}$$

Mit den Identifikationen (2.45) wird dies in der Tat zu den gewohnten Ggw.-Bedingungen $T_a = T_b, P_a = P_b, \mu_a = \mu_b$.

Bem: $\frac{1}{T} = \frac{\partial S_K}{\partial E}$ folgt auch aus $\frac{1}{k_B} \frac{\partial S_K}{\partial E} = \lambda = \frac{1}{k_B} \frac{\partial S_{MK}}{\partial E} = \frac{1}{T}$. Man kann ferner zeigen:

2.3.3 "Kanonischer Rechenalgorithmus" $P = -\left(\frac{\partial H}{\partial V}\right)$, $\mu = \left(\frac{\partial H}{\partial V}\right)$ (nächstes mal)

Gegeben: interessierendes System ("System 1") mit Hamiltonoperator H^1 und Festem V_1, N_1 im Wärmebad ("System 2") mit Temperatur

$$T = \frac{1}{k_B \beta}$$

$$\Rightarrow S_1 = S_K = \frac{1}{Z} e^{-\beta \hat{H}} \quad (2.48)$$

7

(i) Berechne

$$(2.49) \quad Z = Z(\beta, V, N) = S_P(e^{-\beta \hat{H}}) = \sum_{m>} e^{-\beta E_m} = \sum_{E_m} S(E_m) e^{-\beta E_m}$$

(ii) Bestimme

$$\langle E \rangle = \langle E \rangle(\beta, V, N) = -\frac{\partial}{\partial \beta} \ln Z$$

\Leftrightarrow kalorische Zustandsgl.

(2.50)

$$(iii) \text{ Bilde } S_K = S_K(\langle E \rangle, V, N) = k_B \ln Z + k_B \beta \langle E \rangle$$

(2.51)

$\left(= \text{Legendretrafo von } \ln Z\right)$

(iv) Bestimme

(2.52a)

$$P = T \left(\frac{\partial S_K}{\partial V} \right)_{\langle E \rangle, N} = P(\langle E \rangle(\beta, V, N), V, N)$$

$\left(\Leftrightarrow \text{thermische Zustandsgl.} \right)$

(2.52b)

$$\mu = -T \left(\frac{\partial S_K}{\partial N} \right)_{\langle E \rangle, V} = \mu(\langle E \rangle(\beta, V, N), V, N)$$

$\left(\rightarrow \text{chemische Zustandsgl.} \right)$

Bemerkungen

(ii) In der klassischen Mechanik ist:

$$\beta_K(q_1, p) = \frac{1}{2} \exp[-\beta H(q_1, p)]$$

(2.53)

$$Z = \int d\Gamma \exp[-\beta H(q_1, p)]$$

(2.54)

+ (2.50) - (2.52) wie oben.

(ii) Für sehr große N (thermodynamischer Weg)
 Kann dieser Algorithmus auch für
 abgeschlossene Systeme (also ohne Wärmebad)
 benutzt werden (vgl. $\beta_K \approx \beta_{NK}$ für $N \gg 1$)

✓ 23. 11. 2017

(12)

1

Letztes Mal:

2.3 Die kanonische Gesamtheit

$\langle \hat{H} \rangle =$ vorgegeben (z.B. durch Wärmebad)

($V, N =$ Fest vorgegeben)

$$\Rightarrow S = S_k := \frac{\exp(-\beta \hat{H})}{Z} \quad (2.48)$$

$$(\beta = \frac{1}{k_B T})$$

"Algorithmus"

$$Z = Z(\beta, V, N) := \text{Sp}(e^{-\beta \hat{H}}) = \sum_m e^{-\beta E_m} = \sum_{E_n} \Omega(E_n) e^{-\beta E_m} \quad (2.49)$$

$$\langle E \rangle = \langle E \rangle(\beta, V, N) = -\frac{\partial}{\partial \beta} \ln Z \quad (2.50)$$

$$S_k = S_k(\langle E \rangle, V, N) = k_B \ln Z + k_B \beta \langle E \rangle \quad (2.51)$$

$$P = T \left(\frac{\partial S_k}{\partial V} \right)_{\langle E \rangle, N} \quad (2.52a)$$

$$\mu = -T \left(\frac{\partial S_k}{\partial N} \right)_{\langle E \rangle, V} \quad (2.52b)$$

2.3.4 Die Freie Energie

2

Betrachte:

$$\begin{aligned}
 \frac{P}{T} &= \left(\frac{\partial S_K}{\partial V} \right)_{\langle E \rangle, N} \stackrel{(2.54)}{=} \frac{\partial}{\partial V} \left[k_B \ln Z + k_B \beta \langle E \rangle \right]_{\langle E \rangle, N = \text{Fest}} \\
 &= \frac{\partial}{\partial V} \left[k_B \ln Z (\beta \langle E \rangle, V, N), V, N \right] + k_B \beta (\langle E \rangle, V, N) \cdot \langle E \rangle \\
 &\quad \underbrace{- \langle E \rangle}_{\langle E \rangle, N = \text{Fest}} \\
 &= k_B \cancel{\frac{\partial \ln Z}{\partial \beta} \cancel{\frac{\partial \beta}{\partial V}}} + k_B \left(\frac{\partial \ln Z}{\partial V} \right)_{\beta, N} + k_B \cancel{\frac{\partial \beta}{\partial V}} \cdot \langle E \rangle \\
 &= k_B \left(\frac{\partial \ln Z}{\partial V} \right)_{\beta, N} = k_B S_P \left[\frac{\frac{\partial}{\partial V} \exp[-\beta H(V, N)]}{Z} \right] \\
 &= -k_B \beta S_P \left[+ \frac{\partial \hat{H}}{\partial V} \underbrace{\exp(-\beta \hat{H})}_{Z} \right] \\
 &= -k_B \beta \left\langle \frac{\partial \hat{H}}{\partial V} \right\rangle = -k_B \beta \left(\frac{\partial \langle E \rangle}{\partial V} \right)_{\beta, N}
 \end{aligned}$$

$$\Rightarrow P = k_B T \left(\frac{\partial \ln Z}{\partial V} \right)_{\beta, N} = -\left\langle \frac{\partial \hat{H}}{\partial V} \right\rangle = -\left(\frac{\partial \langle E \rangle}{\partial V} \right)_{\beta, N} \quad (2.55)_a$$

Analog:

$$\mu = -k_B T \left(\frac{\partial \ln Z}{\partial N} \right)_{\beta, V} = \left\langle \frac{\partial \hat{H}}{\partial N} \right\rangle = \left(\frac{\partial \langle E \rangle}{\partial N} \right)_{\beta, V} \quad (2.55)_b$$

Folgerungen:

(i) $P = -\left\langle \frac{\partial \hat{H}}{\partial V} \right\rangle \leftrightarrow$ Druck als mittlere Kraft/Fläche
(siehe Vorlesung 8 vom 9.11.)

$\mu = \left\langle \frac{\partial \hat{H}}{\partial N} \right\rangle \leftrightarrow \mu$ als mittlere Energieänderung
Teilchen Zunahme

(ii) • $\left(\frac{1}{T}, \frac{P}{T}, -\frac{\mu}{T} \right) = \left(\frac{\partial}{\partial \langle E \rangle}, \frac{\partial}{\partial V}, \frac{\partial}{\partial N} \right) S_K(\langle E \rangle, V, N)$

• $(\langle E \rangle, P, \mu) \stackrel{(2.50), (2.55)}{=} \left(-\frac{\partial}{\partial \beta}, \frac{1}{\beta} \frac{\partial}{\partial V}, -\frac{1}{\beta} \frac{\partial}{\partial N} \right) \ln Z(\beta, V, N)$

$\Rightarrow S_K(\langle E \rangle, V, N)$ und $\ln Z(\beta, V, N)$ können ~~stehen~~ als thermodynamische Potentiale benutzt werden.

Vorteil von $\ln Z$: $\ln Z$ ergibt sich direkter aus ~~S_K~~

$\Rightarrow \ln Z(\beta, V, N)$ ist das "natürliche" thermodynamische Potential der kanonischen Gesamtheit.

Traditionell nimmt man statt $\ln Z$ jedoch:

$$F = F(T, V, N) := -k_B T \ln Z = -\frac{1}{\beta} \ln Z \quad (2.56)$$

("Helmholtz'sche Freie Energie")

$$(2.51) \Rightarrow S_K = \underbrace{k_B \ln Z}_{-\frac{1}{T} F} + \underbrace{k_B \beta \langle E \rangle}_{\frac{1}{T}}$$

$$\Rightarrow F = \langle E \rangle - TS_K \quad (2.57)$$

$$\Rightarrow \left(\frac{\partial F}{\partial T} \right)_{V, N} = \cancel{\frac{\partial \langle E \rangle}{\partial T}} - S_K - T \cancel{\frac{\partial S_K}{\partial \langle E \rangle}} \cancel{\frac{\partial \langle E \rangle}{\partial T}} \frac{1}{T}$$

$$\Rightarrow \left(\frac{\partial F}{\partial T} \right)_{V, N} = -S_K \quad (2.58)$$

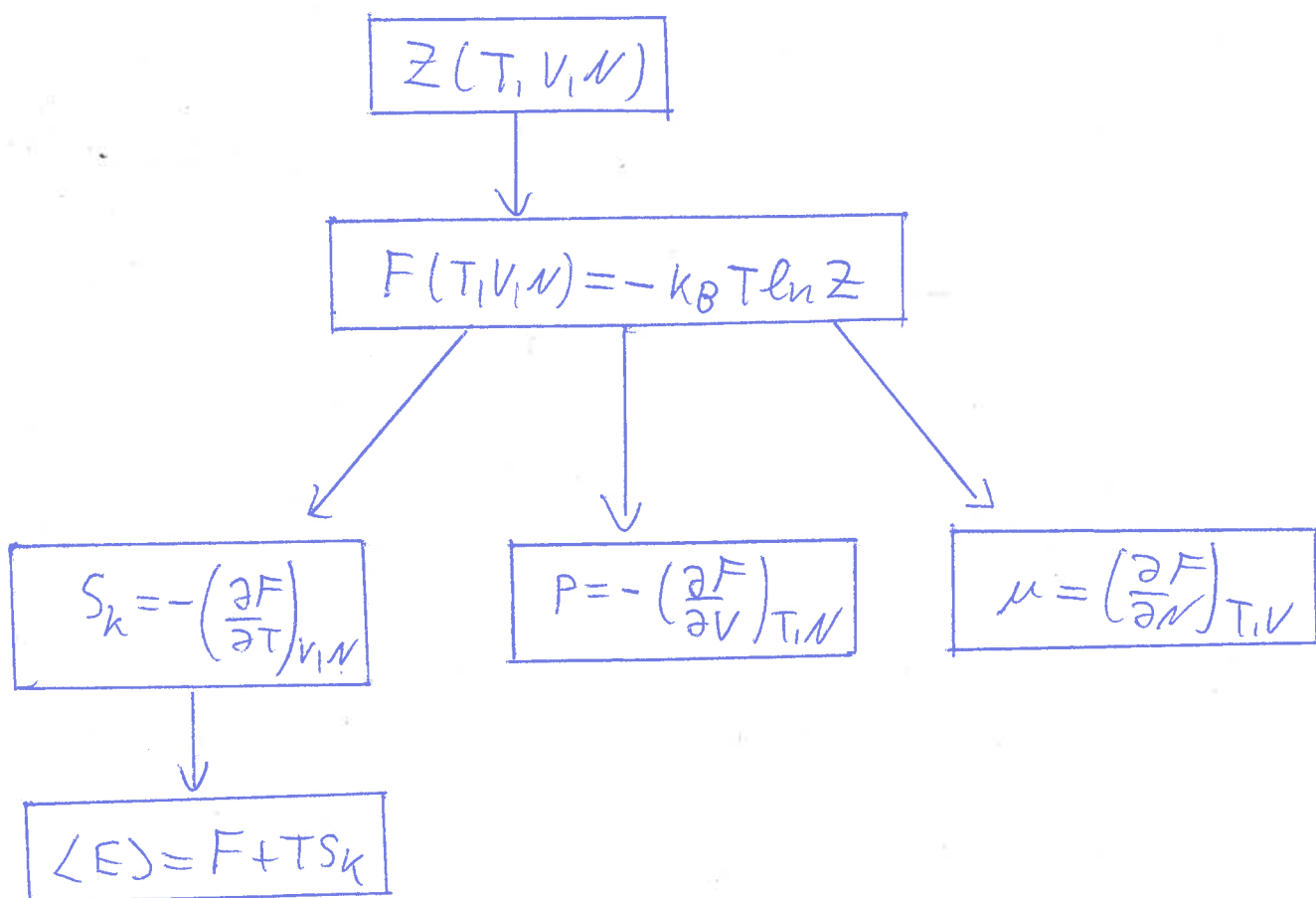
$$\left(\frac{\partial F}{\partial V} \right)_{T, N} \stackrel{(2.56)}{=} -k_B T \frac{\partial \ln Z}{\partial V} \stackrel{(2.55a)}{=} -P \quad (2.59a)$$

$$\left(\frac{\partial F}{\partial N} \right)_{T, V} = \dots = \mu \quad (2.59b)$$

$$\Rightarrow (-S_K, -P, \mu) = \left(\frac{\partial}{\partial T}, \frac{\partial}{\partial V}, \frac{\partial}{\partial N} \right) F \quad (2.60)$$

$$\Rightarrow dF = -S_K dT - P dV + \mu dN \quad (2.61)$$

\Rightarrow Alternativer "kanonischer Rechenalgorithmus"



$$(\text{oder aus } \langle E \rangle = \frac{\partial}{\partial \beta} (\beta F) = -\frac{\partial}{\partial \beta} \ln Z)$$

Mathematische Interpretation von $F(T, V, N)$:

6

$$F(T, V, N) \xleftarrow[\text{(2.57) bzgl. } T \leftrightarrow S_K]{\text{Legendretransfo}} \langle E \rangle (S_K, V, N)$$

Physikalische Interpretation von $F(T, V, N)$:

Es ist: $dF = -S_{\text{nd}} dT - P dV + \mu dN$

$$\xrightarrow{\text{(2.57)}} d\langle E \rangle = \underbrace{T dS_K}_{\substack{\parallel \\ dF + dH(S_K)}} - \underbrace{P dV}_{S_Q} + \underbrace{\mu dN}_{S_{\text{mech}}}$$

Betrachte: Isotherme ($dT=0$) Expansion eines Gases ($dN=0$)

\Rightarrow • $d\langle E \rangle \neq S_{\text{mech}}$, da $S_Q \neq 0$
zugeführt werden muss, um
 $T=\text{const.}$ zu halten

Aber: • $dF = S_{\text{mech}}$ (da $dT=0$)

\Rightarrow Die Freie Energie ist der Teil der Energie, der bei isothermen Vorgängen als Arbeit Frei werden kann.

2.3.5 Anwendung I: Maxwell-Verteilung und barometrische Höhenformel

wahrscheinlichkeitsverteilung für Ort und Impuls eines Teilchens eines Gases (= "System 2") :

(^{"System 1"})

(2.62)

$$\begin{aligned} w(\vec{x}, \vec{p}) d^3x d^3p &= C \exp[-\beta H(\vec{x}, \vec{p})] d^3x d^3p \\ \left(\overset{\text{II}}{\mathfrak{w}}(\vec{x}, \vec{p}) d^3x d^3p \right) &= C \exp[-\beta \left(\frac{\vec{p}^2}{2m} + V(\vec{x}) \right)] d^3x d^3p \end{aligned}$$

(i) Maxwell'sche Geschwindigkeitsverteilung

Integriere (2.62) über d^3x

$$\Rightarrow w(\vec{p}) d^3p = C' e^{-\beta \frac{\vec{p}^2}{2m}} d^3p$$

Integriere über alle Raumwinkel von \vec{p} :

$$\Rightarrow \boxed{w(p) dp = 4\pi C' e^{-\beta \frac{p^2}{2m}} p^2 dp} \quad [2.63]$$

(Maxwell'sche Geschwindigkeitsverteilung) $(p^2 = mV^2)$

(ii) Barometrische Höhenformel

Integriere (2.62) über d^3p

$$\Rightarrow w(\vec{x}) d^3x = C'' e^{-\beta V(\vec{x})} d^3x$$

Mit $V(\vec{x}) = mgz$ (Schwerefeld) ergibt sich:

$$w(z) dz \propto e^{-\frac{mg^2}{k_0 T}} dz$$

Also, mit $w(z)$ & Teilchenzahldichte bei z Durch $P(z)$

$$P = \frac{N}{V} k_B T$$

$$P(z) = P_0 e^{-\frac{m g z}{k_B T}} \quad (2.64)$$

(Barometrische Höhenformel)

2.3.6 Anwendung II: Klassischer Gleichverteilungssatz

Sei x_i eine der Phasenraumkoordinaten q_i oder p_i eines klassischen Systems.

Dann ist der Mittelwert der Größe

$$x_i \frac{\partial H}{\partial x_i}$$

$$\langle x_i \frac{\partial H}{\partial x_j} \rangle = \mathcal{Z}^{-1} \int d\Gamma x_i \frac{\partial H}{\partial x_j} e^{-\frac{H}{k_B T}}$$

$$= Z^{-1} \int d\Gamma x_i \frac{\partial (e^{-H/k_B T})}{\partial x_j} (-k_B T)$$

$$P_i(T) = \frac{1}{Z} e^{-\beta E_i} = \frac{1}{Z} \int d\Gamma S_{ij} e^{-H_j/\kappa T} \cdot \kappa T$$

$$\Rightarrow \boxed{\langle x_i \frac{\partial H}{\partial x_j} \rangle = \delta_{ij} k_B T} \quad (2.65) \quad 9$$

(klassischer Gleichverteilungssatz)

27.11.2017

13

1

Letztes Mal:

2.3.6. Anwendung II: Der klassische Gleichverteilungssatz

$$x_i \in \{q_1, \dots, q_n, p_1, \dots, p_m\}$$

$$\Rightarrow \boxed{\langle x_i \frac{\partial H}{\partial x_j} \rangle = S_{ij} k_B T} \quad (2.6s)$$

Konsequenz:

Jedes x_i , das quadratisch in H eingeht, trägt mit $\frac{1}{2} k_B T$ zu $\langle E \rangle$ bei

Beweis:

$$\text{Sei } H = \underbrace{\alpha x_i^2}_{=: h(x_i)} + f(x_{j \neq i})$$

$$\stackrel{(2.65)}{\Rightarrow} k_B T = \underbrace{\langle x_i \frac{\partial H}{\partial x_i} \rangle}_{\substack{\text{keine Summe} \\ \text{über } i}} = \langle 2\alpha x_i^2 \rangle$$

$$\Rightarrow \langle \alpha x_i^2 \rangle = \langle h(x_i) \rangle = \frac{1}{2} k_B T$$

Beispiel :

Ideales einatomiges Gas:

$$H = \sum_{i=1}^{3N} \frac{(p_i)^2}{2m} \Rightarrow 3N \text{ quadratische } x_i$$

$$\Rightarrow \langle E \rangle = \langle H \rangle = 3N \cdot \left(\frac{1}{2}k_B T\right) = \frac{3}{2} N k_B T$$

(\Rightarrow kalorische Zustandsgleichung)

\rightarrow Mehr Beispiele in den Übungen.

2.4 Die großkanonische Gesamtheit

3

2.4.1 Vorgegebene Größen und phys. Realisierung

Typ II Observable:

$$\begin{array}{|l} \{ \hat{E}, \hat{N} \} = \{ \hat{H}, \hat{N} \} \\ \Leftrightarrow \langle E \rangle \equiv \langle \hat{H} \rangle \text{ und } \langle N \rangle \equiv \langle \hat{N} \rangle \text{ sind im Mittel} \\ \text{vorgegeben.} \end{array}$$

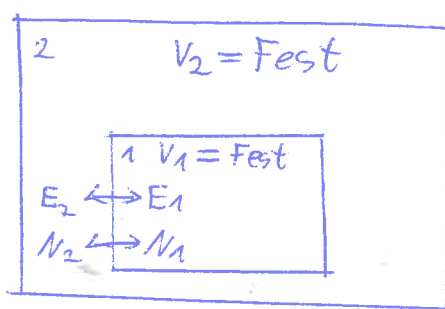
Typ I Observable:

Unser Fokus:

$$\{ X_\alpha \} = \{ V \}$$

Phys. Realisierung:

System 1 im großen Wärme- und Teilchenreservoir (=System 2)



$$(V_2 \gg V_1)$$

4

Der Hilbertraum für System 1:

\mathcal{H} = Hilbertraum der Zustände von System 1 mit allen möglichen Teilchenzahlen N_1

$$= \text{Fockraum } \mathcal{F} = \bigoplus_{N_1=0}^{\infty} \mathcal{H}_{N_1}$$

N_1 -Teilchen-Hilbertraum.

\Rightarrow Dichteoperator:

$$\mathcal{S}_1 \approx \mathcal{S}_{G_1} := \mathcal{S}_{BG_1} \Big|_{\{\hat{Y}_1 = \hat{E}_1, \hat{N}_1\}} = \frac{1}{Z_{G_1}} \exp[-\lambda_1 \hat{H}_1 - \lambda_2 \hat{N}_1]$$

(Großkanonische Gesamttheit)

(2.66)

$$Z_{G_1} := \text{Sp}_{\mathcal{H}_{N_1}} \left[\exp(-\lambda_1 \hat{H}_1 - \lambda_2 \hat{N}_1) \right]$$

$$= \sum_{N_1=0}^{\infty} \text{Sp}_{\mathcal{H}_{N_1}} \underbrace{\left[\exp(-\lambda_1 \hat{H}_1 - \lambda_2 \hat{N}_1) \right]}_{\exp(-\lambda_1 \hat{H}_1) \cdot \exp(-\lambda_2 \hat{N}_1)}$$

$$= \sum_{N_1=0}^{\infty} Z(N_1) e^{-\lambda_2 N_1}$$

Kanonische Zustandssumme für N_1 Teilchen

(Großkanonische Zustandssumme)

(2.67)

Im Folgenden: Weglassen des Index "1"
 $(\hat{A} = \hat{H}_1, \hat{N} = \hat{N}_1, V = V_1 \text{ etc.})$

2.4.2 Thermodynamische Größen

Es ist: $Z_G = Z_G(\lambda_1, V, \lambda_2)$ und

$$(2.31) \Leftrightarrow \langle \hat{y}_i \rangle = -\frac{\partial}{\partial \lambda_i} \ln Z$$

$$\Leftrightarrow \begin{cases} \langle E \rangle \equiv \langle \hat{A} \rangle = -\frac{\partial \ln Z_G}{\partial \lambda_1} \\ \langle N \rangle \equiv \langle \hat{N} \rangle = -\frac{\partial \ln Z_G}{\partial \lambda_2} \end{cases} \quad (2.68a)$$

$$\quad (2.68b)$$

$$(2.33) \Leftrightarrow \frac{S[S_{BG}]}{k_B} \equiv -S_P[S_{BG}, \ln S_{BG}] = \ln Z + \sum_{j=1}^m \lambda_j \langle \hat{y}_j \rangle$$

$$\Leftrightarrow \frac{S_G}{k_B} := \frac{S[S_G]}{k_B} = -S_{P,\text{el}}[S_G, \ln S_G]$$

$$= \ln Z_G + \lambda_1 \langle E \rangle + \lambda_2 \langle N \rangle \quad (2.69)$$

$$(2.34) \Leftrightarrow \lambda_i = \frac{\partial}{\partial \langle \hat{y}_i \rangle} \left(\frac{S[S_{BG}]}{k_B} \right)$$

$$\Leftrightarrow \begin{cases} \lambda_1 = \frac{1}{k_B} \frac{\partial S_G}{\partial \langle E \rangle} \\ \lambda_2 = \frac{1}{k_B} \frac{\partial S_G}{\partial \langle N \rangle} \end{cases} \quad (2.70a)$$

$$\quad (2.70b)$$

$$\Rightarrow S_G = S_G(\langle E \rangle, V, \langle N \rangle) \xrightarrow[\substack{(2.69) \text{ bzgl.} \\ \langle E \rangle \leftrightarrow \lambda_1 \\ \langle N \rangle \leftrightarrow \lambda_2}]{} -k_B \ln Z_G(\lambda_1, V, \lambda_2)$$

6

Mit analogen Begründungen wie bei
der kanonischen Gesamtheit identifizieren
wir:

$$\frac{1}{T} := \frac{\partial S_G}{\partial \langle E \rangle}, \quad \frac{P}{T} := \frac{\partial S_G}{\partial V}, \quad \frac{-\mu}{T} := \frac{\partial S_G}{\partial \langle N \rangle}$$

(2.71a)

(Temperatur T)

(2.71b)

(Druck P)

(2.71c)

(chemisches Potential μ)

\Rightarrow Vergleich mit (2.70a) und (2.70b) ergibt:

$$\lambda_1 = \frac{1}{k_B T} = \beta$$

(2.72a)

$$\lambda_2 = -\frac{\mu}{k_B T} = -\beta \mu$$

(2.72b)

$$\Rightarrow S_G = \frac{1}{Z_G} e^{-\beta(\hat{H} - \mu \hat{N})} \quad (2.73)$$

$$Z_G = \operatorname{Sp}_{\substack{E \\ \neq}} \left(\exp[-\beta(\hat{H} - \mu \hat{N})] \right)$$

$$= \sum_{n=0}^{\infty} z(n) e^{\beta \mu n} = \sum_{n=0}^{\infty} z(n) z^n$$

$\underbrace{(e^{\beta \mu})^n}_{=: z} = (e^{\frac{\mu}{k_B T}})^n = e^{\mu n / k_B T}$

(2.74)

\Rightarrow (2.67 zu (2.70a/b))

$$G(\lambda_1(\beta, \mu), V, \lambda_2(\beta, \mu))$$

$$\Rightarrow \left(\frac{\partial \ln Z_G}{\partial \beta} \right)_{\mu, V} = \underbrace{\frac{\partial \lambda_1}{\partial \beta}}_1 \underbrace{\frac{\partial}{\partial \lambda_1} \ln Z_G}_{-\langle E \rangle} + \underbrace{\frac{\partial \lambda_2}{\partial \beta}}_{-\mu} \underbrace{\frac{\partial}{\partial \lambda_2} \ln Z_G}_{-\langle N \rangle}$$

$$\Rightarrow \boxed{\left(\frac{\partial \ln Z_G}{\partial \beta} \right)_{V, \mu} = -\langle E \rangle + \mu \langle N \rangle} \quad (2.75)$$

$$\left(\frac{\partial \ln Z_G}{\partial \mu} \right)_{\beta, V} = \cancel{\frac{\partial \lambda_1}{\partial \mu}}^{\cancel{\beta}} \frac{\partial}{\partial \lambda_1} \ln Z_G + \cancel{\frac{\partial \lambda_2}{\partial \mu}}^{\cancel{-\beta}} \frac{\partial}{\partial \lambda_2} \ln Z_G$$

$$-\langle N \rangle$$

$$\Rightarrow \boxed{\left(\frac{\partial \ln Z_G}{\partial \mu} \right)_{\beta, V} = \beta \langle N \rangle} \quad (2.76)$$

$$S_G = k_B \left[\ln Z_G + \beta \langle E \rangle - \beta \mu \langle N \rangle \right]$$

$$= K_B \ln Z_G + \frac{\langle E \rangle}{T} - \frac{\mu}{T} \langle N \rangle$$

\rightarrow "Großkanonischer Algorithmus" (Version 1)

$$\boxed{Z_G(\beta, V, \mu)} \text{ aus (2.74)}$$

$\downarrow (2.75), (2.76)$

$$\boxed{\langle E \rangle, \langle N \rangle}$$

$\downarrow (2.77)$

$$\boxed{S_G = S_G(\langle E \rangle, V, \langle N \rangle)}$$

$\downarrow (2.71b)$

$$\boxed{P}$$

8

2.4.3 Das großkanonische Potential

Das großkanonische Analogon der Freien Energie $F(T, V, \nu)$ der kanonischen Gesamtheit ist das "großkanonische Potential"

$$\boxed{\phi = \phi(T, V, \mu) := -k_B T \ln Z_G} \quad (2.78)$$

(Vergleiche: $F = -k_B T \ln Z$)

$$(2.77) \Rightarrow \boxed{\phi(T, V, \mu) = \langle E \rangle - TS_G - \mu \langle N \rangle} \quad (2.78)$$

$$S_G = \underbrace{k_B \ln Z_G}_{-\frac{\phi}{T}} + \frac{\langle E \rangle}{T} - \frac{\mu}{T} \langle N \rangle$$

$$\Rightarrow \boxed{\phi(T, V, \mu) = \langle E \rangle - TS_G - \mu \langle N \rangle} \quad (2.79)$$

$$\begin{aligned} \Rightarrow \left(\frac{\partial \phi}{\partial T} \right)_{V, \mu} &= -k_B \ln Z_G - k_B T \underbrace{\frac{\partial \beta}{\partial T} \left(\frac{\partial \ln Z_G}{\partial \beta} \right)_{V, \mu}}_{\frac{-1}{k_B T^2}} \\ &= -k_B \ln Z_G - \frac{1}{T} \langle E \rangle + \frac{1}{T} \mu \langle N \rangle \end{aligned}$$

$\stackrel{(2.78)}{=} -\langle E \rangle + \mu \langle N \rangle$

$$= \frac{1}{T} (\phi - \langle E \rangle + \mu \langle N \rangle) = -S_G$$

$$\Rightarrow \boxed{\left(\frac{\partial \phi}{\partial T} \right)_{V, \mu} = -S_G} \quad (2.80)$$

$$\left(\frac{\partial \phi}{\partial V} \right)_{T, \mu} \stackrel{(2.79)}{=} \left(\frac{\partial}{\partial V} \left[\langle E \rangle_{(T, V, \mu)} - TS_G(\langle E \rangle_{(T, V, \mu)}, V, \langle N \rangle_{(T, V, \mu)}) - \mu \langle N \rangle_{(T, V, \mu)} \right] \right)_{T, \mu}$$

$$= \cancel{\frac{\partial \langle E \rangle}{\partial V}} - T \cancel{\frac{\partial S_G}{\partial \langle E \rangle}} - T \left(\frac{\partial S_G}{\partial \langle E \rangle, \langle N \rangle} \right) \cancel{\frac{\partial \langle E \rangle}{\partial V}} - \cancel{\frac{\partial \langle N \rangle}{\partial V}} - \cancel{\frac{\partial \mu}{\partial T}} \quad (2.71c)$$

$$= -T \left(\frac{\partial S_G}{\partial V} \right)_{\langle E \rangle, \langle N \rangle} \stackrel{(2.71b)}{=} -P$$

$$\Rightarrow \boxed{\left(\frac{\partial \phi}{\partial V} \right)_{T, \mu} = -P} \quad (2.81) \quad \begin{aligned} &\Rightarrow P = -\left(\frac{\partial \phi}{\partial V} \right)_{T, \mu} = k_B T \left(\frac{\partial \ln Z_G}{\partial V} \right)_{T, \mu} \\ &= k_B T \text{Sp}_x \left(\frac{\partial H}{\partial V} e^{-\beta(H-\mu V)} \right)_{(-A)} \\ &= -\langle \frac{\partial H}{\partial V} \rangle = -\left(\frac{\partial \langle E \rangle}{\partial V} \right)_{T, \mu} \end{aligned}$$

$$\left(\frac{\partial \phi}{\partial \mu} \right)_{T, V} = -k_B T \underbrace{\left(\frac{\partial \ln Z_G}{\partial \mu} \right)_{T, V}}_{\langle \beta L N \rangle} = -\langle N \rangle$$

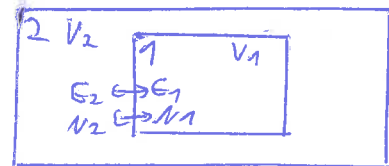
$$\Rightarrow \boxed{\left(\frac{\partial \phi}{\partial \mu} \right)_{T, V} = -\langle N \rangle} \quad (2.82)$$

$$\Rightarrow \boxed{d\phi = -S_G dT - P dV - \langle N \rangle d\mu} \quad (2.83)$$

Letztes Mal:

2.4 Die großkanonische Gesamtheit

- $\langle E \rangle, V, \langle N \rangle$ vorgegeben
- ↑
↓
Typ II observable



$$\bullet S_G \approx S_G := S_{BG} \left|_{\{Y_i\} = \{\hat{H}_i, \hat{N}_i\}} \right. = \frac{1}{Z_G} \exp[-\beta(\hat{H}_i - \mu \hat{N}_i)] \quad (2.73)$$

$$\begin{aligned} Z_G &= \text{Sp}_{\substack{E \\ F}} (\exp[-\beta(\hat{H}_i - \mu \hat{N}_i)]) && \left(\begin{array}{l} \text{großkanonische} \\ \text{Gesamtheit} \end{array} \right) \\ &= \sum_{N_i=0}^{\infty} \underbrace{Z(N_i)}_{\substack{\text{Kanonische Zustandssumme} \\ \text{Für } N \text{ Teilchen}}} e^{\beta \mu N_i} = Z_G(\beta, V, \mu) && (2.74) \end{aligned}$$

(großkanonische Zustandssumme)

Rechenalgorithmus (Version 1)

$$-\langle E \rangle + \mu \langle N \rangle = \left(\frac{\partial \ln Z_G}{\partial \beta} \right)_{V, \mu} \quad (2.75)$$

$$\beta \langle N \rangle = \left(\frac{\partial \ln Z_G}{\partial \mu} \right)_{\beta, V} \quad (2.76)$$

$$S_G = k_B \ln Z_G + \frac{\langle E \rangle}{T} - \frac{\mu \langle N \rangle}{T} = S_G(\langle E \rangle, V, \langle N \rangle) \quad (2.77)$$

$$\frac{P}{T} = \left(\frac{\partial S_G}{\partial \gamma} \right)_{\langle E \rangle, \langle N \rangle \text{ fest}}$$

Etwas kompliziert, da man β, μ durch $\langle E \rangle, \langle N \rangle$ ausdrücken muss, bevor man die Ableitungen nimmt

Alternative: Benutze großkanonisches Potential ϕ^2

$$\phi = \phi(T, V, \mu) := -k_B T \ln Z_G \quad (2.78)$$

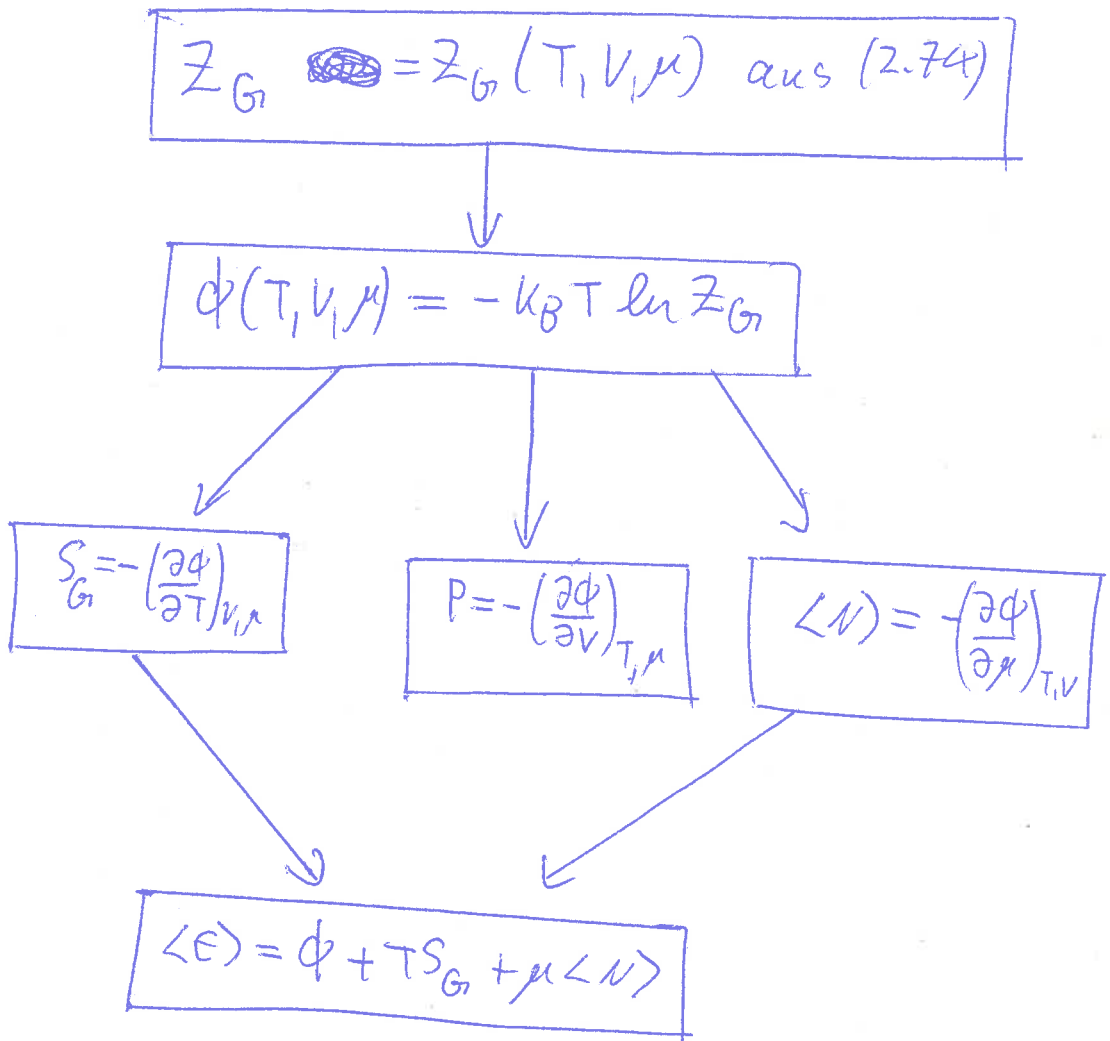
$$= \langle E \rangle - TS_G - \mu \langle N \rangle \quad (2.79)$$

$$\rightarrow \left(\frac{\partial}{\partial T}, \frac{\partial}{\partial V}, \frac{\partial}{\partial \mu} \right) \phi(T, V, \mu) = (-S_G, -P, -\langle N \rangle) \quad (2.80) - (2.82)$$

→ Rechenalgorithmus (Version 2)

Großkanonischer Algorithmus (Version 2)

10 3



Mathematische Interpretation von $\phi(T, V, \mu)$

(2.80) - (2.82)

$$d\phi = -S_G dT - p dV - \langle v \rangle d\mu \quad (2.83)$$

$$\Downarrow \phi = \langle E \rangle - TS_G - \mu \langle v \rangle$$

$$d\langle E \rangle = T dS_G - pdV + \mu d\langle v \rangle$$

$$\Rightarrow \boxed{\phi(T, V, \mu) \xleftarrow[\substack{S_G \leftrightarrow T \\ \langle v \rangle \leftrightarrow \mu}]{\text{Legendretransfo bzgl.}} \langle E \rangle(S_G, V, \langle v \rangle)}$$

$$\left(\text{Analog zu } F(T, V, N) \xleftarrow[\substack{S_K \leftrightarrow T}]{\text{Legendretransfo bzgl.}} \langle E \rangle(S_K, V, N) \right)$$

Bemerkung:

Im Gleichungssatz zu $F(T, V, N)$ hat $\phi(T, V, \mu)$ keine sonderlich anschauliche physikalische Interpretation, da der Parameter μ experimentell schwieriger zu kontrollieren ist als N .

Beispiel: Das klassische ideale Gas
in der großkanonischen Gesamt-
heit

$$Z_G(T, V, \mu) = \sum_{N=0}^{\infty} Z(N) e^{\beta \mu N}$$

$Z(N)$ = kanonische Zustandssumme
 für N Teilchen

$$\stackrel{V^N}{\overbrace{\frac{1}{N!}}} \underbrace{\left(\frac{2\pi m}{h^2 \beta}\right)^{\frac{3N}{2}}}_{\text{ublatt 5}} = \frac{1}{N!} \left(\frac{V}{\lambda^3}\right)^N$$

λ^2 (thermische de Broglie-Wellenlänge)

$$\Rightarrow Z_G = \sum_{N=0}^{\infty} \frac{1}{N!} \left(\frac{V}{\lambda^3}\right)^N e^{\beta \mu N} = \sum_{N=0}^{\infty} \frac{1}{N!} \left(\frac{V e^{\beta \mu}}{\lambda^3}\right)^N$$

$$\Rightarrow Z_G = \exp\left[\frac{V z}{\lambda^3}\right] \quad (z = e^{\beta \mu} \text{ (Fugazität)}) \quad (2.84)$$

$$\Rightarrow \phi = -k_B T \ln Z_G = -k_B T \frac{V z}{\lambda^3} \quad (2.85)$$

$$\Rightarrow \langle N \rangle = -\left(\frac{\partial \phi}{\partial \mu}\right)_{T, V} = \bar{\beta} \phi = \frac{V z}{\lambda^3} \quad (2.86)$$

$$P = -\left(\frac{\partial \phi}{\partial V}\right)_{T, \mu} = k_B T \frac{z}{\lambda^3} \stackrel{(2.86)}{=} \frac{k_B T \langle N \rangle}{V} \quad (2.87)$$

(Thermische Zustandsgleich)

(2.86) (2.87)

$$\Rightarrow \beta \mu = \ln \left(\lambda^3 \frac{\langle n \rangle}{V} \right).$$

$$\Rightarrow \mu = k_B T \ln \left(\lambda^3 \frac{\langle n \rangle}{V} \right) \stackrel{(2.87)}{=} k_B T \ln \left(\frac{\lambda^3 P}{k_B T} \right) \quad (2.88)$$

(Chemische Zustandsgl.)

$$S_G = - \left(\frac{\partial \Phi}{\partial T} \right)_{V, \mu} = + k_B \frac{Vz}{\lambda^3} + k_B T V \frac{\partial \left(e^{\frac{\mu}{k_B T}} \right)}{\partial T} + k_B T \cancel{k_B T} (-3) \frac{\partial \lambda}{\partial T}$$

$$= \frac{5}{2} k_B \frac{Vz}{\lambda^3} - k_B T V \frac{\mu}{k_B T^2} z$$

$$\frac{\partial \lambda}{\partial T} = \frac{\partial}{\partial T} \left(\frac{\mu}{Vz k_B T} \right)$$

$$= -\frac{1}{2} \frac{\lambda}{T}$$

$$\stackrel{(2.86)}{=} \frac{5}{2} k_B \langle N \rangle - \frac{\langle N \rangle \mu}{T} \stackrel{(2.88)}{=} k_B \langle N \rangle \left[\frac{5}{2} - \ln \left(\frac{\lambda^3 \langle n \rangle}{V} \right) \right]$$

$$z = \frac{\lambda^3 \langle n \rangle}{V}$$

$$\mu = k_B T \ln \left(\frac{\lambda^3 \langle n \rangle}{V} \right)$$

$$\Rightarrow S_G = k_B \langle N \rangle \left[\frac{5}{2} - \ln \left(\frac{\lambda^3 \langle n \rangle}{V} \right) \right] \quad (2.89)$$

(Sackur-Tetrode-Gl.)

$$\Rightarrow \langle E \rangle = \phi + T S_G + \mu \langle N \rangle$$

$$= -k_B T \frac{Vz}{\lambda^3} + k_B T \langle N \rangle \left[\frac{5}{2} - \overbrace{\ln \left(\frac{\lambda^3 \langle n \rangle}{V} \right)}^{\beta \mu} \right]$$

$$+ \mu \underbrace{\frac{Vz}{\lambda^3}}_{\langle N \rangle} \stackrel{z = \frac{\lambda^3 \langle n \rangle}{V}}{\Rightarrow} -k_B T \langle N \rangle + \frac{5}{2} k_B T \langle N \rangle = \frac{3}{2} \langle N \rangle k_B T$$

$$\Rightarrow \langle E \rangle = \frac{3}{2} \langle N \rangle k_B T \quad (2.90)$$

(Kalorische Zustandsgl.)

③ Thermodynamik

3.1 Thermodynamische Potentiale

- Wir betrachten in diesem Kapitel Systeme im thermodynamischen Grenzfall extrem großer N .
 \Rightarrow Unterscheidungen zwischen den in den diversen Gesamtheiten definierten Größen wird unnötig.
- $\Rightarrow E = \langle E \rangle, A_k = \langle N \rangle, S_{mk} = S_k = \cancel{S_{Gr}} = :S$
etc.
- Bei der Diskussion von S_{mk}, S_k, S_{Gr} sind uns bereits diverse thermodynamische Potentiale begegnet, die sich auf natürliche Weise aus den jeweiligen S ergeben:

- (i) ~~S_{MK}~~ :
- Unabhängige Variablen: E, V, N
 - Natürliches T.P.: $S(E, V, N) = k_B \ln \Phi^q(E)$
[Entropie]

$$\left(\frac{\partial S}{\partial E}\right)_{V, N} = \frac{1}{T}, \quad \left(\frac{\partial S}{\partial V}\right)_{E, N} = \frac{P}{T}, \quad \left(\frac{\partial S}{\partial N}\right)_{E, V} = -\frac{\mu}{T}$$

$$\Leftrightarrow dS = \frac{1}{T} dE + \frac{P}{T} dV - \frac{\mu}{T} dN$$

(3.1)

Denkt man sich

 ~~$S = S(E, V, N)$~~ nach $E = E(S, V, N)$

aufgelöst, so ergibt sich aus (3.1):

$$dE = TdS - PdV + \mu dN \quad (3.2)$$

(Gibbs'sche Fundamentalform)

$$\Rightarrow T = \left(\frac{\partial E}{\partial S}\right)_{V, N}, \quad -P = \left(\frac{\partial E}{\partial V}\right)_{S, N}, \quad \mu = \left(\frac{\partial E}{\partial N}\right)_{S, V}$$

(3.3)

Die innere Energie $E = E(S, V, N)$ kann so ebenfalls als ein thermodynamisches Potential aufgefasst werden.

- (ii) S_K :
- Unabhängige Variable: T, V, N
 - Natürliches T.P.: $F(T, V, N) = -k_B T \ln Z_K$
(Freie Energie)

Es gilt:

$$\left. \left(\frac{\partial F}{\partial T} \right)_{V,N} = -S, \left(\frac{\partial F}{\partial V} \right)_{T,N} = -P, \left(\frac{\partial F}{\partial \mu} \right)_{T,V} = \mu \right\} \quad (3.4)$$

$$\Rightarrow \boxed{dF = -SdT - PdV + \mu d\mu} \quad (3.5)$$

Was mit

$$\boxed{F = E - TS} \quad (3.6)$$

äquivalent zu (3.2) ist.

\rightarrow (3.6) ist Legendretransfo von $E(S,V,\mu)$ zu $F(T,V,\mu)$

Letztes Mal:

3.1 Thermodynamische Potentiale

T.P. = Funktion eines Teils der Zustandsgrößen, aus der sich alle anderen Zustandsgrößen durch Differentiation ergeben

Die natürlichen T.P.e von S_{MK} , S_K , S_G :

(i) S_{MK} :

- Natürliche unabhängige Variable: E, V, N

- Natürliches T.P.: $S(E, V, N) = k_B \ln \Phi^0(E)$
(Entropie)

$$dQ = \cancel{dE} + \cancel{dV} + \cancel{dN}$$

$$\left(\frac{\partial S}{\partial E}\right)_{V,N} = \frac{1}{T}, \quad \left(\frac{\partial S}{\partial V}\right)_{E,N} = \frac{P}{T}, \quad \left(\frac{\partial S}{\partial N}\right)_{E,V} = -\frac{\mu}{T}$$

$$\Leftrightarrow dS = \frac{1}{T} dE + \frac{P}{T} dV - \frac{\mu}{T} dN$$

(3.2)

Alternativ: $S(E, V, N) \rightarrow E(S, V, N)$
(Innere Energie)

$$dE = T dS - P dV + \mu dN$$

Gibbs'sche Fundamentalform

$$\Leftrightarrow T = \left(\frac{\partial E}{\partial S}\right)_{V,N}, \quad P = \left(\frac{\partial E}{\partial V}\right)_{S,N}, \quad \mu = \left(\frac{\partial E}{\partial N}\right)_{S,V}$$

(3.3)

(ii) $\mathcal{E}_K:$

• Natürliche unabhängige Variable: T, V, N

• Natürliches T.P.: $F(T, V, N) = -k_B T \ln Z_K$
 (Freie Energie)

$$\Rightarrow \left(\frac{\partial F}{\partial T} \right)_{V,N} = -S, \quad \left(\frac{\partial F}{\partial V} \right)_{T,N} = -P, \quad \left(\frac{\partial F}{\partial N} \right)_{T,V} = \mu \quad (3.4)$$

$$\Rightarrow dF = -SdT - PDV + \mu dN \quad (3.5)$$

Äquivalenz zu (3.2) aus

$$F = E - TS \quad (3.6)$$

~~(Legendretransf. bzgl. S & T)~~

$$E(S, V, N) \xleftrightarrow[\text{(S & T)}]{\text{Legendretransf. bzgl.}} F(T, V, N)$$

(iii) $\mathcal{E}_G:$

• Natürliche unabhängige Variable: T, V, μ

• Natürliches T.P.: $\Phi(T, V, \mu) = -k_B T \ln Z_G$

(Großkanonisches Potential)

$$\left(\frac{\partial \Phi}{\partial T} \right)_{V,\mu} = -S, \quad \left(\frac{\partial \Phi}{\partial V} \right)_{T,\mu} = -P, \quad \left(\frac{\partial \Phi}{\partial \mu} \right)_{T,V} = -\mu \quad (3.7)$$

$$\Rightarrow d\Phi = -SdT - PDV - \mu d\mu \quad (3.8)$$

Äquivalenz zw. (3.8) und (3.2) aus

$$\Phi = E - TS - \mu N \quad (3.9)$$

~~(S & T)~~

$$(E(S, V, N) \xleftrightarrow[\text{(S & T)}]{\text{Legendretransf.}} \Phi(T, V, \mu))$$

Ahnlich wie in (3.6) und (3.9) lassen sich noch weitere T-P durch Legendretransfo aus $E(S, V, N)$ definieren. Die beiden wichtigsten sind:

$$(ir) \boxed{H = H(S, P, N) := E + PV} \quad (3.10)$$

(Enthalpie)

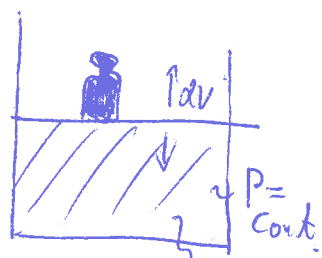
$$\xrightarrow{(3.2)} \boxed{dH = TdS + VdP + \mu dN} \quad (3.11)$$

$$\Leftrightarrow \boxed{\left(\frac{\partial H}{\partial S} \right)_{P,N} = T, \left(\frac{\partial H}{\partial P} \right)_{S,N} = V, \left(\frac{\partial H}{\partial N} \right)_{S,P} = \mu} \quad (3.12)$$

Physikalische Interpretation der Enthalpie:

Es ist:

$$dH \Big|_{P, N = \text{const.}} = TdS = SQ = dE + pdV.$$



$\Rightarrow dH$ ist bei isobaren ($P = \text{const.}$) Vorgängen mit Konstanter Teilchenzahl ($N = \text{const.}$) gerade die zugeführte Wärmemenge SQ . Diese ist nicht gleich dE , da das Gas bei $dV \neq 0$ Arbeit leisten muss.

~~(Enthalpie wurde früher fälschlich als "Wärmeinhalt" genannt)~~

$$(v) \boxed{G = G(T, P, N) = E - TS + PV} \quad (3.13)$$

(Freie Enthalpie) (alias Gibbs-Energie)

$$\stackrel{(3.2)}{\Rightarrow} \boxed{dG = -SdT + VdP + \mu dN} \quad (3.14)$$

$$\Leftrightarrow \boxed{\left(\frac{\partial G}{\partial T}\right)_{P,N} = -S, \left(\frac{\partial G}{\partial P}\right)_{T,N} = V, \left(\frac{\partial G}{\partial N}\right)_{T,P} = \mu} \quad (3.15)$$

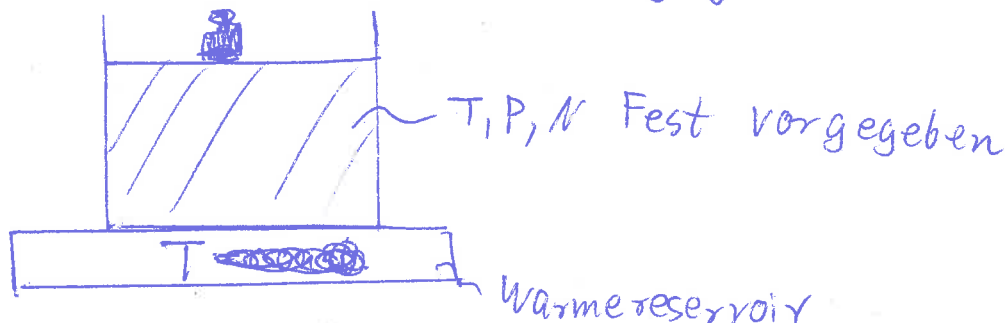
Physikalische Relevanz:

$$(dG)_{T,P=\text{const}} = \mu dN$$

$\Rightarrow \Delta G$ misst in isothermen ~~reaktions~~
isobaren chemischen Reaktionen ~~reaktions~~
der chemischen Energieübertragung.
~~und Differenz~~

Allgemein ist $G(T, P, N)$ das natürliche
 T.P. für Systeme mit vorgegebenem T, P, N :

Z.B.



Bemerkungen:

5

(i) $G(T, P, \mu)$ lässt sich im Prinzip auch durch eine Zustandssumme einer geeigneten verallgemeinerten Boltzmann-Gibbs-Verteilung schreiben ($G = -k_B T \ln Z_i$, $Z_i = \int dV \text{Tr} \left(e^{-\beta(\hat{H} + PV)} \right)$), mit der aber selten direkt gearbeitet wird.

{ Siehe jedoch Üblatt 7 für ein Analogon dieser Gesamtheit mit $P \rightarrow f$ (Kraft)
 $V \rightarrow L$ (Länge)
 $H \rightarrow O$ }

(ii) Die theoretisch ebenfalls denkbaren T.P.e

$$R(S, V, \mu) := E - \mu V$$

$$J(S, P, \mu) := E + PV - \mu V$$

$$K(T, P, \mu) := E - TS + PV - \mu V$$

haben (ähnlich wie das großkanonische Potential $\phi(T, P, \mu)$) keine besondere physikalische ~~Relevanz~~, da Anwendung

das chemische Potential μ experimentell
wesentlich leichter als Kein besonders gut
kontrollierbarer Parameter ist (im
Gegensatz zur ~~Teilchenzahl N~~ Teilchenzahl N).

(iii) Man sagt: (T, S) sind (energie) konserviert zu einer
Analogie (P, V, N) . Volumen je Teilchen, Volumen je Teilchen, Volumen je Teilchen

Die Duhem-Gibbs-Relation Für homogene Systeme

Für räumlich homogene thermodynamische
Systeme gilt (wg. der ~~Aktivität~~ Extensivität von
 S, E, V, N):

$$S(\alpha E, \alpha V, \alpha N) = \alpha S(E, V, N) \quad \forall \alpha \in \mathbb{R}$$

$$\frac{\partial}{\partial \alpha} \Big|_{\alpha=1} \left(\frac{\partial S}{\partial \alpha E} \cdot E + \frac{\partial S}{\partial \alpha V} \cdot V + \frac{\partial S}{\partial \alpha N} \cdot N \right)_{\alpha=1} = S$$

(3.1)

$$\Rightarrow \frac{1}{T} E + \frac{P}{T} V - \frac{\mu}{T} N = S$$

$$\Rightarrow \boxed{E = TS - PV + \mu N} \quad (3.16)$$

(Duhem-Gibbs-Relation Für homogene Systeme)

Einige Implikationen:

(i) Mit $dE = TdS - PdV + \mu dN$ Folgt aus (3.15):

$$\boxed{SdT - VdP + Nd\mu = 0} \quad (3.17)$$

(Differentielle Duhem-Gibbs-Relation)

7
 $\Rightarrow (T, P, \mu)$ können in homogenen Systemen nicht unabhängig voneinander variiert werden.

\Rightarrow Zur vollständigen Beschreibung eines homogenen Systems bedarf es mindestens einer extensiven Variable ($T, P, \mu = \text{intensiv!}$)

(Ist plausibel, da intensive Größen keine in Formation über die Masse der gesamten Systemteile zusammenhängen.)

(ii) $G_1(T, P, N) = \mu(T, P) \cdot N$

Grund:

$$\bullet G_1 = E - TS + PV \stackrel{(3.13)}{=} \mu N \stackrel{(3.16)}{=}$$

$$\bullet \mu = \stackrel{(3.15)}{\left(\frac{\partial G_1}{\partial N} \right)_{T,P}} \stackrel{\downarrow}{=} \left(\frac{\partial \mu}{\partial N} \right)_{T,P} \cdot N + \mu$$

$$\Rightarrow \left(\frac{\partial \mu}{\partial N} \right)_{T,P} = 0 \Rightarrow \mu = \mu(T, P).$$

(iii) Analog zu (ii) gilt

$$\phi(T, V, \mu) = -P(T, \mu) \cdot V$$

sowie z.B.

$$K(T, P, \mu) = E - TS + PV - \mu N \equiv 0$$

Dies ist also ein nutzloses T.P.

7.12.2017 [16]

1

Letztes Mal:

(Relevante) Thermodynamische Potentiale

• $S(E, V, N)$, $\boxed{ds = \frac{1}{T} dE + \frac{P}{T} dV - \frac{\mu}{T} dN}$ (3.1)

• $E(S, V, N)$, $\boxed{dE = Tds - PdV + \mu dN}$ (3.2)

• $F(T, V, N) = E - TS$ (Freie Energie)
 $\Rightarrow \boxed{dF = -SdT - PdV + \mu dN}$ (3.3)

• $\Phi(T, V, \mu) = E - TS - \mu N$ (großkanonisches Potential)
 $\Rightarrow \boxed{d\Phi = -SdT - PdV - Nd\mu}$ (3.8)

• $H(S, P, N) := E + PV$ (Enthalpie)
 $\Rightarrow \boxed{dH = Tds + Vdp + \mu dN}$ (3.11)

• $G(T, P, N) = E - TS + PV$ (Freie Enthalpie)
 $\Rightarrow \boxed{dG = -SdT + Vdp + \mu dN}$ (3.14)

Gibbs-Duhem-Relation für homogene Systeme:

• $\boxed{E = TS - PV + \mu N}$ (3.16)

$(\Rightarrow G(T, P, N) = \mu(T, P) \cdot N)$

3.2 Materialgrößen

Wärmekapazitäten:

$$\text{Allgemein: } C = \frac{\delta Q}{\delta T} = T \frac{dS}{dT}$$

($\hat{=}$ Benötigte Wärmemenge pro Temperaturerhöhung)

wichtigste Fälle:

$$C_V = T \left(\frac{\partial S}{\partial T} \right)_{V,N} = T \underbrace{\left(\frac{\partial S}{\partial E} \right)_{V,N} \left(\frac{\partial E}{\partial T} \right)_{V,N}}_1 = \left(\frac{\partial E}{\partial T} \right)_{V,N}$$

(Wärmekapazität bei konstantem Volumen) (3.28)

$$C_P = T \left(\frac{\partial S}{\partial T} \right)_{P,N} = \left(\frac{\partial H}{\partial T} \right)_{P,N}$$

$$(dH)_{P,N} = (TdS)_{P,N}$$

(Wärmekapazität bei konstantem Druck)

$\left(\begin{array}{l} \text{"spezifische Wärmen"} c_V, c_P \text{ aus } C_V, C_P \\ \text{durch Teilen durch Masse, bzw. Stoffmenge} \end{array} \right)$

Erwartung: $C_P > C_V$, da Teil
der Wärmezufuhr δQ für
Arbeit polv verwendet wird
wenn $V \neq \text{const.}$

Kompressibilitäten:

Allgemein: $\alpha = -\frac{1}{V} \frac{\partial V}{\partial P}$

Wichtigste Fälle:

$$\alpha_T := -\frac{1}{V} \left(\frac{\partial V}{\partial P} \right)_{T,N} \quad (3.20)$$

(Isotherme Kompressibilität)

$$\alpha_S := -\frac{1}{V} \left(\frac{\partial V}{\partial P} \right)_{S,N} \quad (3.21)$$

(Adiabatische/ISENTROPISCHE Kompressibilität)

(Kompressibilität ohne Wärmezufuhr)

Thermischer Ausdehnungskoeffizient

$$\alpha = \frac{1}{V} \left(\frac{\partial V}{\partial T} \right)_{P,N} \quad (3.22)$$

Spannungskoeffizient:

$$\tilde{\beta} = \frac{1}{P} \left(\frac{\partial P}{\partial T} \right)_{V,N} \quad (3.23)$$

Bem.: $C_V, C_P, \alpha_T, \alpha_S, \alpha$ sind Beispiele
für "Suszeptibilitäten" (= Änderungsrate
einer extensiven Größe bei Änderung einer intensiven)

Relationen für Materialgrößen:

Durch Kombination der sog. Maxwell-Relationen mit Ableitungsregeln lassen sich diverse Gleichungen für die Materialgrößen herleiten.

Maxwell-Relationen:

= Beziehungen zwischen den ersten Ableitungen der Zustandsgrößen, die sich aus der Vertauschbarkeit der zweiten Ableitungen der T.P. ergeben.

Beispiel: $E = E(S, V, N)$

$$\frac{\partial^2 E}{\partial S \partial V} = \frac{\partial^2 E}{\partial V \partial S} \Leftrightarrow \left(\frac{\partial}{\partial S} \left(\frac{\partial E}{\partial V} \right)_{S,N} \right)_{V,N} = \left(\frac{\partial}{\partial V} \left(\frac{\partial E}{\partial S} \right)_{V,N} \right)_{S,N}$$

$$\Leftrightarrow - \left(\frac{\partial P}{\partial S} \right)_{V,N} = \left(\frac{\partial T}{\partial V} \right)_{S,N} \quad (3.24)$$

Analog ergeben sich für Feste N:

- Aus $F(T, V, N)$:

$$\left(\frac{\partial S}{\partial V} \right)_{T,N} = \left(\frac{\partial P}{\partial T} \right)_{V,M} \quad (3.25)$$

• Aus $H(S, P, N)$:

$$\boxed{\left(\frac{\partial T}{\partial P}\right)_{S,N} = \left(\frac{\partial V}{\partial S}\right)_{P,M}} \quad (3.26)$$

• Aus $G(T, P, N)$:

$$\boxed{\left(\frac{\partial S}{\partial P}\right)_{T,N} = -\left(\frac{\partial V}{\partial T}\right)_{P,M}} \quad (3.27)$$

Bezieht man Ableitungen nach N , bzw. μ mit ein, so ergeben sich weitere Maxwell-Relationen, z.B.

• Aus $F(T, V, N)$

$$\boxed{\left(\frac{\partial \mu}{\partial V}\right)_{T,N} = \frac{\partial^2 F}{\partial V \partial N} = \frac{\partial^2 F}{\partial N \partial V} = -\left(\frac{\partial P}{\partial N}\right)_{T,V}} \quad (3.28)$$

etc.

Ableitungsregeln

Sei $X = X(y, z)$ eine Funktion, die (zumindest lokal) nach $y = y(x, z)$, und $z = z(x, y)$ aufgelöst werden kann.

Dann gilt:

$$\boxed{\left(\frac{\partial X}{\partial y}\right)_z = \frac{1}{\left(\frac{\partial y}{\partial X}\right)_z}} \quad (3.29)$$

$$\left(\frac{\partial y}{\partial x}\right)_z \left(\frac{\partial x}{\partial z}\right)_y \left(\frac{\partial z}{\partial y}\right)_x = -1$$

$$\stackrel{(3.29)}{\Rightarrow} \left(\frac{\partial y}{\partial x}\right)_z = - \frac{\left(\frac{\partial y}{\partial z}\right)_x}{\left(\frac{\partial x}{\partial z}\right)_y} \quad (3.30)$$

(Siehe Üblatt 8)

Sowie für

$$x = x(y, w(y, z)) :$$

$$\left(\frac{\partial x}{\partial y}\right)_z = \left(\frac{\partial x}{\partial y}\right)_w + \left(\frac{\partial x}{\partial w}\right)_y \left(\frac{\partial w}{\partial y}\right)_z \quad (3.31)$$

$$\left(\frac{\partial x}{\partial z}\right)_y = \left(\frac{\partial x}{\partial w}\right)_y \cdot \left(\frac{\partial w}{\partial z}\right)_y \quad (3.32)$$

Mit (3.24)–(3.32) zeigt man z.B.

$$P \tilde{B} = \frac{\alpha}{x_T} \quad (3.33a)$$

$$\frac{C_P}{C_V} = \frac{x_T}{x_S} \quad (3.33b)$$

$$C_P - C_V = \frac{T V \alpha^2}{x_T} \quad (3.33c) \quad (\Rightarrow C_P > C_V \text{ für } x_T > 0)$$

$$x_T - x_S = \frac{T V \alpha^2}{C_P} \quad (3.33d)$$

(Siehe Üblatt 8)

3.3 Zustandsänderungen und ihre Realisierungen

Wir betrachten:

Zeitliche Änderungen thermodynamischer Systeme, an denen Anfang und Ende jeweils ein Gleich-Zustand besteht.

Terminologie: Ein thermodynamischer Prozess heißt

- Isobar $\Leftrightarrow P = \text{const.}$
- Isochor $\Leftrightarrow V = \text{const.}$
- Isotherm $\Leftrightarrow T = \text{const.}$
- Isentrop $\Leftrightarrow S = \text{const.}$
- Adiabatisch $\Leftrightarrow \delta Q = 0$

Ein thermodynamischer Prozess ist durch Angabe Konstant zu haltender Größen allerdings i.A. nicht eindeutig gekennzeichnet.

Ein wichtiges weiteres Unterscheidungsmerkmal ergibt sich insbesondere aus der Art der Prozessführung:

Quasistatischer Prozess:

P

Prozess verläuft langsam im Vergleich zur typischen Relaxationszeit des Systems, dass ^{sich} dieses zu jedem Zeitpunkt quasi in einem Ggw.-Zustand ~~ist~~ befindet

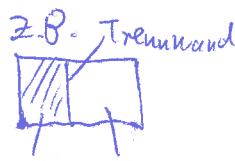
→ Durchlauf einer Kurve im Raum der Ggw.-Zustände, z.B. im (P,V)-Diagramm



Irreversibler Prozess:

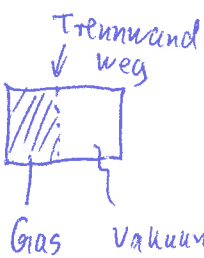
Prozess kann nicht rückwärts ablaufen.

Typisches Beispiel:



System im Ggw. mit einer Zwangsbedingung
(z.B. Trennwand)

↓ Entfernen der Zwangsbedingung



Nichtgleichgewichtszustand

↓ Irreversibler Übergang ~~ist~~
~~nie~~ ins Ggw.

Neuer Ggw.-Zustand

Reversibler Prozess

Prozess könnte auch Rückwärts ablaufen.

Letzes Mal:3.3 Zustandsänderungen und ihre Realisierungen

Isobar: $\Rightarrow P = \text{const.}$

Isochor: $\Rightarrow V = \text{const.}$

Isotherm: $\Rightarrow T = \text{const.}$

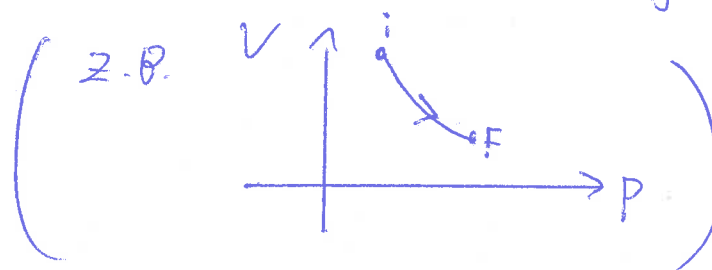
Isentrop: $\Rightarrow S = \text{const.}$

Adiabatisch: $\Rightarrow SQ = 0$

Quasistatisch:

So langsam, dass zu jedem Zeitpunkt quasi ein Ggw-Zustand besteht.

→ Kurve im Raum der Ggw-Zustände

Irreversibel:

Prozess kann nicht rückwärts ablaufen
(Genauer: Rückwärts ablaufender Prozess wird nicht beobachtet)

Reversibel

Prozess könnte auch rückwärts ablaufen

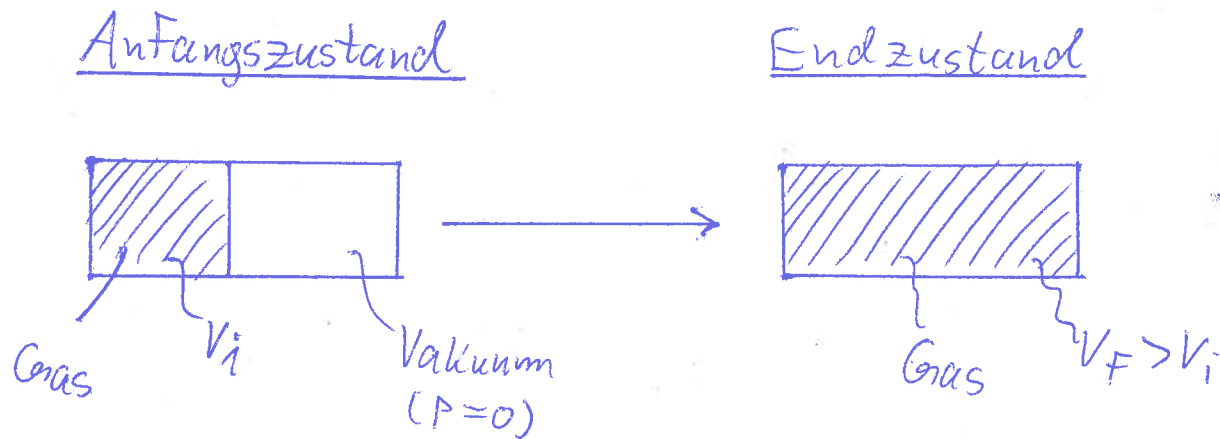
Es gilt:

- Nicht quasistatisch \Rightarrow Wirbel, Turbulenzen etc.
 \Rightarrow Unkontrolliertes, irreversible Wärmeabgabe
 \Rightarrow Irreversibel
- Reversibel \Rightarrow quasistatisch
- Quasistatisch \Rightarrow Reversibel
 (i.A.) $\left(\text{z.B. langsamer Temperaturausgleich über schlechten Wärmeleiter} \right)$
- Quasistatisch \Rightarrow Gleichgewichtsvariablen
 zu jedem Zeitpunkt ausreichend zur Beschreibung
- Nicht quasistatisch \Rightarrow Nur Anfangs- und Endpunkte im Rahmen der Grenz-Thermodynamik mit wenigen Variablen beschreibbar
 \Rightarrow Keine Kurve im Raum der Grenz-Zustände (Nur Anfangs- und Endzustand) z.B. $\xrightarrow{\text{F}} \xrightarrow{\text{P}}$

Illustration:

(monoatomaren)

Die Expansion eines idealens[↓] Gases von V_i nach $V_f > V_i$ in mehreren Varianten.



Variante 1: Irreversible, adiabatische, nicht quasistatische Expansion ("Gray-Lussac-Versuch")

Realisierung:

- Wärmeisolierender Behälter

$$\Rightarrow Q_{\text{Gas}} = Q_{\text{Behälter}} = Q_{\text{Umwelt}} = 0$$

(Kein Wärmeaustausch \Leftrightarrow adiabatisch)

- Herausziehen der Trennwand

\Rightarrow Gas strömt turbulent und heftig in evakuierten Bereich

Nach kurzer Relaxationszeit

\Rightarrow Neuer Gru - Zustand mit $V_f > V_i$

Im Folgenden:

- $Q_{\text{Komponente}}$ = Der Komponente zugeführte Wärme
- $W_{\text{Komponente}}$ = Von der Komponente geleistete Arbeit
 $\Rightarrow W_{\text{Komponente}} = -A_{\text{Komponente}} = -(\text{Am System geleistete Arbeit})_{\text{Komponente}}$

Energiebilanz:

- Gas: $W_{\text{Gas}} = 0$ (Denn $\delta W_{\text{Gas}} = P_{\text{vakuum}} dV = 0$)
 $Q_{\text{Gas}} = 0$ (Da adiabatisch)

$$\Rightarrow \Delta E_{\text{Gas}} = E_{F,\text{Gas}} - E_{i,\text{Gas}} = Q_{\text{Gas}} - W_{\text{Gas}} = 0$$

$$\Rightarrow E_F = E_i \Leftrightarrow T_F = T_i$$

$$E = \frac{3}{2} N k_B T$$

- Behälter & Umwelt jeweils $W = Q = 0 \Rightarrow \Delta E = 0$

Schematisch:

Gas

Behälter

Umwelt

(Alle Komponenten)

(Keine Energieströme Q, W zwischen den Komponenten)

Entropiebilanz: Sackur-Tetrode-Btl.

$$\bullet \text{Gas}: S(T, V, N) = N k_B \left[\ln \left(\frac{V}{N \lambda^3(T)} \right) + \frac{5}{2} \right]$$

$$(\lambda(T) = \frac{\hbar}{\sqrt{2\pi m k_B T}})$$

$T = \text{const.}$

$$\Delta S_{\text{Gas}} = S_{\text{Gas}, F} - S_{\text{Gas}, i} = N k_B \ln \left(\frac{V_F}{V_i} \right) > 0$$

$$Q_{\text{Gas}} = 0$$

$$\Rightarrow T \Delta S_{\text{Gas}} > Q_{\text{Gas}}$$

(Entropie des Gases wurde nicht von außen zugeführt, sondern intern erzeugt)

• $\Delta S_{\text{Behälter}} = \Delta S_{\text{Umwelt}} = 0$

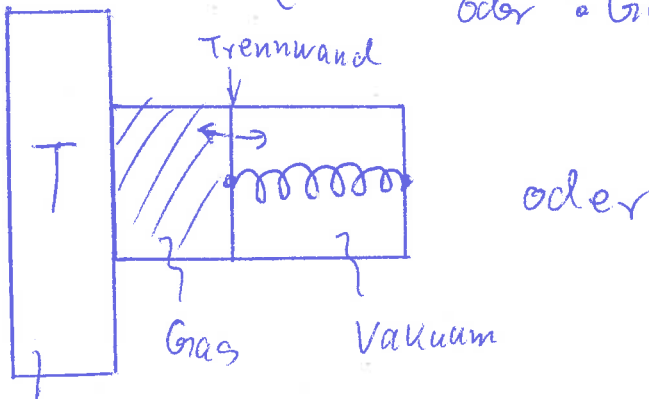
$\Rightarrow \exists$ ein Teilsystem (Gas) mit $T \delta S > \delta Q$)

Reversibilität: Nein

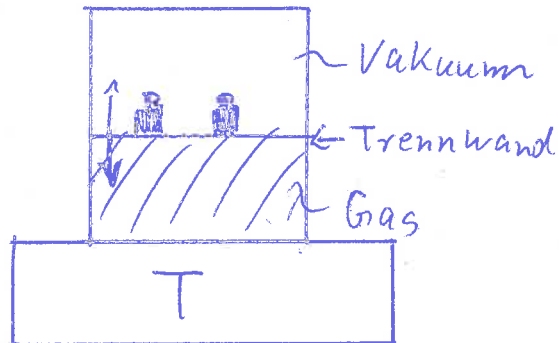
Variante 2: Reversible, isotherme Expansion

Realisierung:

- Kopplung an Wärmebad mit Temperatur T
- Kontinuierlich und reversibel veränderbarer Außendruck in Kammer 2 + verschiebbare Trennwand
(z.B. durch
 - SprungFeder (mit veränderbarer Federkonstante)
 - Gewichte (veränderbar)
)



oder



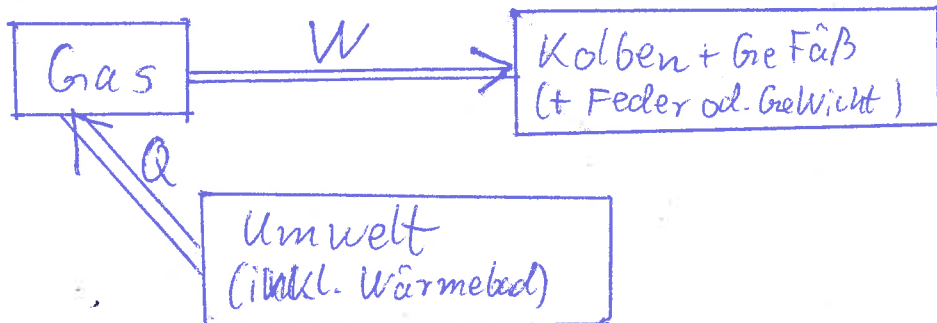
Wärmebad

\Rightarrow Durch infinitesimale, quasistatische Außendruckniedrigung ($P_{\text{außen}} = P_{\text{innen}} - dP$)
 $\approx P_{\text{innen}}$

expandiert das Gas um dV und leistet Arbeit $\delta W_{\text{Gas}} = P(V) dV$. Dieser Energieverlust des Gases wird durch quasistatische Wärmezufuhr $\delta Q_{\text{Gas}} = \delta W_{\text{Gas}}$ so ausgeglichen, dass $\delta E_{\text{Gas}} = \delta Q_{\text{Gas}} - \delta W_{\text{Gas}} = 0$,

also $E_{\text{Gas}} = \frac{3}{2} N k_B T_{\text{Gas}} = \text{const.}$ und damit $T_{\text{Gas}} = T$ Konstant bleiben.

Energiebilanz:



- Gas:

$$W_{\text{Gas}} = \int_{V_i}^{V_f} P(V) dV = \int_{V_i}^{V_f} \frac{N k_B T}{V} dV = N k_B T \ln\left(\frac{V_f}{V_i}\right) =: W$$

$$P_{\text{isoth.}}(V) = \frac{N k_B T}{V} = \text{const.} \cdot \frac{1}{V}$$

$$Q_{\text{Gas}} = W_{\text{Gas}} = N k_B T \ln\left(\frac{V_f}{V_i}\right) =: Q$$

$$(\Rightarrow \Delta E_{\text{Gas}} = 0 \Rightarrow E_{F,\text{Gas}} = E_{i,\text{Gas}} \Leftrightarrow T_{F,\text{Gas}} = T_{i,\text{Gas}} = T)$$

- Kolben:

$$W_{\text{Kolben}} = -W_{\text{Gas}} = -W$$

$$Q_{\text{Kolben}} = 0$$

$$(\Rightarrow \Delta E_{\text{Kolben}} = +W = \Delta E_{\text{pot}})$$

- Umwelt:

$$W_{\text{umwelt}} = 0$$

$$Q_{\text{umwelt}} = -Q_{\text{Gas}} = -Q$$

$$(\Rightarrow \Delta E_{\text{umwelt}} = -Q)$$

Entropiebilanz:

$$\Delta S_{\text{Gas}} = k_B N \ln \left(\frac{V_F}{V_i} \right) = \frac{Q_{\text{Gas}}}{T}$$

$T_F = T_i$
 $V_F > V_i$
 $N_F = N_i$

+ Sackur-Tetrode-Grl.

$$\Delta S_{\text{Kolben}} = \frac{Q_{\text{Kolben}}}{T} = 0$$

$$\Delta S_{\text{Umwelt}} = \frac{Q_{\text{Umwelt}}}{T} = -\frac{Q_{\text{Gas}}}{T}$$

(Denn dann ist $\Delta S_{\text{Gesamt}} = 0$)

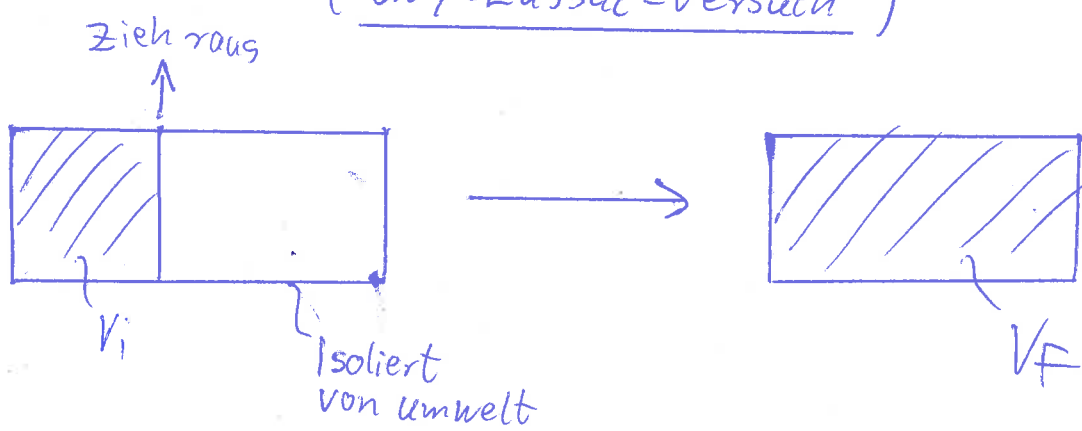
\Rightarrow Für jedes Teilsystem ist $T dS = dQ$

Reversibilität:

Ja: Quasistatische Außendruckerhöhung \Rightarrow Gas kontrahiert quasistatisch mit Wärmeabgabe an das Reservoir um $T = \text{const.}$ zu erhalten trotz der an ihm geleisteten Arbeit zu halten

Letztes Mal: Expansion eines klassischen idealen Gases in verschiedenen Ausführungsvarianten:

Variante 1: Irreversibel, adiabatisch, nicht quasistatisch ("Gay-Lussac-Versuch")



Energiebilanz:

Gras

Behälter

Umwelt

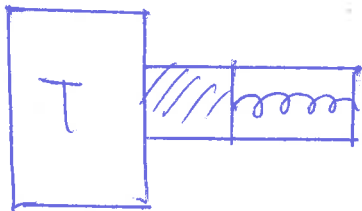
$$\Rightarrow E_{i, \text{Gras}} = E_{f, \text{Gras}} \Leftrightarrow T_{i, \text{Gras}} = T_{f, \text{Gras}}$$

Entropiebilanz:

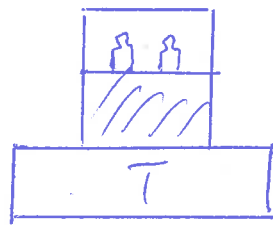
$T \Delta S_{\text{Gas}} > Q_{\text{Gas}} = 0$
$T \Delta S_{\text{Behälter}} = Q_{\text{Behälter}} = 0$
$T \Delta S_{\text{Umwelt}} = Q_{\text{Umwelt}} = 0$

Variante 2: Reversibel, isotherm

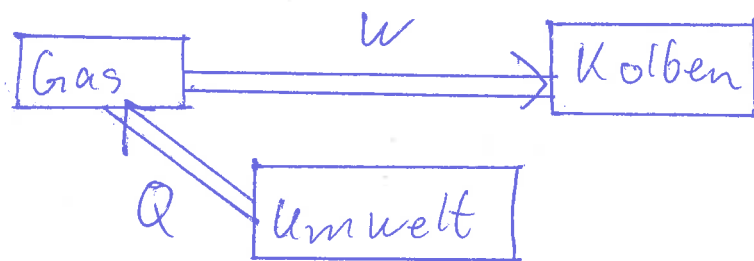
2



oder



Energiebilanz:



$$W = Q = Nk_B T \ln\left(\frac{V_F}{V_i}\right) \Rightarrow E_{i,\text{Gas}} = E_{f,\text{Gas}} \Leftrightarrow T_{i,\text{Gas}} = T_{f,\text{Gas}}$$

Entropiebilanz:

$$Tds = \delta Q \quad \text{Für alle Teilsysteme}$$

Bemerkungen:

- (i) Der Endzustand des Gases ist in Variante 1 und 2 gleich, da (T_1, V_1, N) jeweils gleich sind.
- (ii) In Variante 2 (reversibel) lässt sich ΔS_{Gas} berechnen mit

a) $\Delta S = \frac{Q}{T} = \frac{W}{T} = \frac{1}{T} \int_{V_i}^{V_F} P(V)dV$
oder

b) $\Delta S = k_B N \left[\ln \frac{V_F}{V_i} \right]$ aus Sackur-Tetrode-Gleichung
In Variante 1 (irreversibel) geht nur Methode b), da $dS_{\text{Gas}} \neq \frac{1}{T} dQ_{\text{Gas}}$

(iii) Kennte man die Sackur-Tetrode-Gl.³
nicht, so könnte man sich
bei Variante 1 damit behelfen,
dass man Variante 2 als reversible
Ersatzprozess betrachtet und
dort mit Methode a) ~~oder~~ DS
ausrechnet. (Die Endzustände sind
ja dieselben)

(Ein häufiges Vorgehen in
der Thermodynamik)

Aus Varianten 1) - 2) lesen wir ab:

Allgemeines Reversibilitätskriterium:

Ein thermodynamischer Prozess ist:

(i) irreversibel \Leftrightarrow Für mindestens eine Komponente des Gesamt-Systems gilt:

$$TdS > SQ \quad (3.37a)$$

(ii) reversibel \Leftrightarrow Für alle Komponenten des Gesamtsystems gilt:

$$TdS = SQ \quad (3.37b)$$

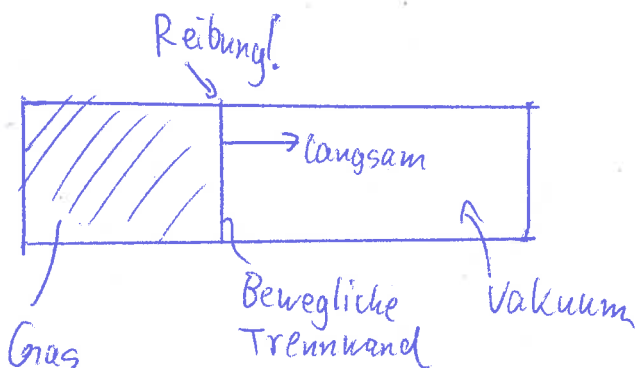
Bemerkung:

Bei quasistatischen irreversiblen, aber quasistatischen Prozessen gilt (3.37b) auch für alle Komponenten, in denen die Irreversibilität nicht "erzeugt" wird.

Beispiel: Irreversible, adiabatische, quasistatische Expansion ("Variante 2")

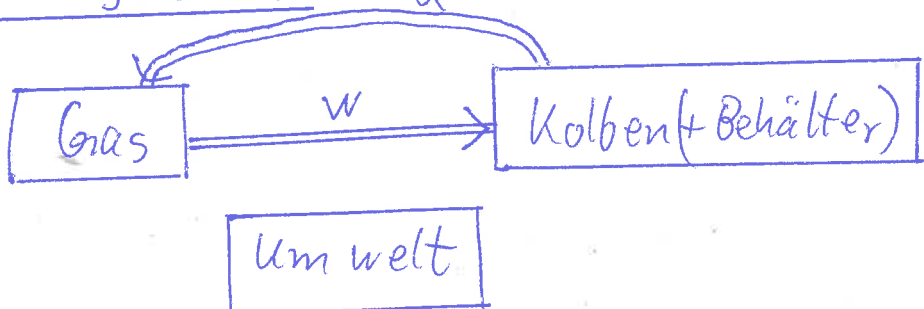
Realisierung

- Wärmeisolierter Behälter (\Rightarrow adiabatisch)
- Keine Federn oder Gewichte in Vakuumkammer
- Aber: Starke Reibung zwischen Trennwand und Behälter



\Rightarrow Gas expandiert und verliert durch Arbeitsleistung gegen Reibungskraft Energie W_{gas} , die ihm aber als Reibungswärme Q_{gas} wieder zugeführt wird.

Energiebilanz: Q



$$\Delta E_{\text{Gas}} = Q_{\text{Gas}} - W_{\text{Gas}} = Q - W = 0 \quad \text{mit}$$

$$W = -Q = \int_{V_i}^{V_f} P(V, T=\text{const}) dV = k_B T \ln \frac{V_f}{V_i}$$

$$\Delta E_{\text{Kolben}} = -Q + W = 0$$

$$\Delta E_{\text{Umwelt}} = 0$$

5

Entropiebilanz:

$$\Delta S_{\text{Gas}} = k_B N \ln \left(\frac{V_F}{V_i} \right) = \frac{Q_{\text{Gas}}}{T}$$

$T = \text{const.}$, da $E_{\text{Gas}} = \text{const.}$
(Siehe Variante 2)

$$\Delta S_{\text{Kolben}} = 0 > \frac{Q_{\text{Kolben}}}{T} = -\frac{Q_{\text{Gas}}}{T} < 0$$

$$\Delta S_{\text{Umwelt}} = \frac{Q_{\text{Umwelt}}}{T} = 0$$

$\Rightarrow T \Delta S_{\text{Kolben}} > \underline{\delta Q_{\text{Kolben}}} \rightarrow \text{Irreversibilitätsquelle}$
(Reibungshitze!)

Aber

$$T dS_{\text{Gas}} = S \underline{Q_{\text{Gas}}} \rightarrow \text{Gas ist nicht die Quelle der Irreversibilität}$$

$$T dS_{\text{Umwelt}} = S \underline{Q_{\text{Umwelt}}} \quad (\text{Trivial hier})$$

\Rightarrow (3.34) gilt bei quasistatischen, irreversiblen Prozessen für die Irreversibilitätsquellen.
In ihnen gilt:

$$dS = dS_{\text{Austausch}} + dS_{\text{Erzeugt}} = \frac{\delta Q}{T} + \underline{dS_{\text{Erzeugt}}} > \frac{\delta Q}{T}$$

\Rightarrow Die Irreversibilitätsquellen erzeugen ~~seine~~ Extraentropie dS_{Erzeugt}

Die anderen Teile erzeugen keine Extraentropie, sondern tauschen nur Entropie mit anderen Teilen durch Wärmekontakt aus.

$$\Rightarrow dS = \frac{dQ}{T}$$

3.4 Die Hauptsätze der Thermodynamik

Nullter Hauptsatz:

~~Kontinuum~~ System A und System B seien jeweils mit System C im thermischen Gleichgewicht \Rightarrow A und B sind auch miteinander im Gleichgewicht.

Begründung der statistischen Mechanik

$$T_A = T_C \quad \& \quad T_B = T_C \Rightarrow T_A = T_B \\ (\text{P}, \mu \text{ analog})$$

Erster Hauptsatz:

$$\bullet dE = dQ + dA_{\text{mech}} + dA_{\text{chem}} \quad (+ dA \dots)$$

Wärmeübertragung (Beliebige Prozesse)

$$\bullet dE = dQ - pdV + \mu dN \quad (+ \dots)$$

(Quasistatische Prozesse)

Begründung der statistischen Mechanik:

P

Energieerhaltung

$\left. \begin{array}{l} \text{Wärmeaustausch =} \\ \text{eine besondere Form} \\ \text{der Energieübertragung} \end{array} \right\}$
 Details: Siehe 2. Hauptsatz unten.

Zweiter Hauptsatz:

\exists eine extensive Zustandsgroße S ("Entropie") mit:

Prozess = {

- Reversibel $\Leftrightarrow \delta Q = T dS$ + Komponenten (einschl. Gesamtsystem)
- Irreversibel $\Leftrightarrow \delta Q < T dS$ Für mindestens eine Komponente (einschl. Gesamtsystem)
 \Rightarrow Entropie wird erzeugt und nicht bloß ausgetauscht.
- Quasistatisch: $\delta Q = T dS$ für die nicht an der Irreversibilität beteiligten Komponenten

\Rightarrow Für abgeschlossene Systeme (wg. $\sum_{\text{alle Komponenten}} \delta Q_i = 0$)

- | | |
|---|--------|
| <ul style="list-style-type: none"> • $dS_{\text{tot}} > 0$ (Irreversibel) • $dS_{\text{tot}} = 0$ (Reversibel) | (3.36) |
|---|--------|

(3.37)

Begründung der statistischen Mechanik 9

Reversible Prozesse:

Wir wollen zeigen:

Für infinitesimale ~~Zustände~~ reversible Zustandsänderungen durch Kopplung an die Umgebung gilt:

$$dE = S\mathcal{Q} + S\mathcal{A} \quad \text{mit}$$

$$S\mathcal{Q} = TdS, \quad S\mathcal{A} = -PdV + \dots$$

Hierzu:

$$E = \langle E \rangle = S_P(\beta \hat{H})$$

$$\Rightarrow d\langle E \rangle = \underbrace{S_P(d\beta \hat{H})}_{=: C} + \underbrace{S_P(\beta d\hat{H})}_{=: D}$$

Zu C:

$$\begin{aligned} S &= -k_B S_P(\beta \hat{H}) \Rightarrow dS = -k_B S_P(d\beta \cdot \ln Z) - k_B S_P\left(\frac{\beta}{Z} dZ\right) \\ &\qquad\qquad\qquad \nearrow \overset{\nearrow 0}{=} \\ &\qquad\qquad\qquad \underset{\cancel{\times}}{\qquad\qquad\qquad} \qquad\qquad\qquad \underset{\cancel{\times}}{=} d(S_P \beta) = d(1) = 0 \\ \beta &= \beta_k = \frac{1}{Z} \exp(\beta \hat{H}) \\ &\qquad\qquad\qquad \nearrow \overset{\nearrow 0}{=} \\ &= k_B \ln Z S_P(d\beta) + k_B \beta S_P(dZ \hat{H}) = \frac{1}{T} S_P(dZ \hat{H}) = \frac{1}{T} C \\ &\Rightarrow C = S_P(dZ \hat{H}) = TdS \end{aligned}$$

Zu D:

\hat{H} hängt von äußeren Parametern ab
(z.B. V, N, \dots)

$$\Rightarrow D = \langle d\hat{H} \rangle = \frac{\partial \langle \hat{H} \rangle}{\partial V} dV + \frac{\partial \langle \hat{H} \rangle}{\partial N} dN + \dots$$

$$= -pdV + \mu dN + \dots$$

$$\Rightarrow d\langle E \rangle = S_P(d\langle \hat{H} \rangle) + S_P(\langle \hat{S}^z \rangle d\langle \hat{H} \rangle)$$

$$= \underbrace{TdS}_{=: S_Q} + \underbrace{-pdV + \mu dN + \dots}_{=: SA}$$

10

Letztes Mal:

3.4 Die Hauptsätze der Thermodynamik

Nullter Hauptsatz:

A im Ggw. mit C & B im Ggw. mit C

⇒ A im Ggw. mit B

Erster Hauptsatz:

$$\bullet dE = \underbrace{\delta Q}_{\text{Wärmezufuhr}} + \underbrace{\delta A_{\text{mech}} + \delta A_{\text{chem}}}_{\text{Am System geleistete Arbeit}} (+ \delta A \dots)$$

(Beliebige Prozesse)

$$\bullet dE = \delta Q - pdV + \mu dN. (+ \dots)$$

(Quasistatische Prozesse)

(3-35)

Zweiter Hauptsatz:

∃ eine extensive Zustandsgröße S ("Entropie") mit:

- | | |
|-----------|--|
| Prozess = | <ul style="list-style-type: none"> • Reversibel ⇔ $\delta Q = TdS$ + Komponenten
(einschl. Gesamtsystem) • Irreversibel ⇔ $\delta Q < TdS$ Für mindestens eine Komponente (einschl. Gesamtsystem)
⇒ Entropie wird <u>erzeugt</u> und nicht blos ausgetauscht • Quasistatisch ⇔ $\delta Q = TdS$ Für die nicht an der Irreversibilität beteiligten Komponenten |
|-----------|--|

⇒ Für abgeschlossene Systeme:

(3-36)

$dS_{\text{tot}} > 0$ (irreversibel)	(3-37)
$dS_{\text{tot}} = 0$ (reversibel)	

Begründung der statistischen Mechanik

2

Für den 2. Hauptsatz:

Reversible Prozesse:

$$dE = d\langle E \rangle = \underbrace{S_p(dS \cdot \hat{H}(V, N, \dots))}_{TdS} + \underbrace{S_p(S \cdot d\hat{H}(V, N, \dots))}_{-\text{P}dV + \mu dN + \dots}$$

!!

$$(=\frac{\partial \hat{H}}{\partial V}dV + \frac{\partial \hat{H}}{\partial N}dN, \dots)$$

$$=: SA$$

\Rightarrow Wärmeübertragung \Leftrightarrow Energieänderung durch Änderungen der Besetzungswahrscheinlichkeiten der mikroskopischen Energieniveaus

$$SQ = S_p(dS \cdot \hat{H})$$

$\left(\begin{array}{l} SQ \left\{ \begin{array}{l} > 0 \\ < 0 \end{array} \right\} \Leftrightarrow \text{Höhere Energieniveaus bekommen} \\ \left\{ \begin{array}{l} \text{höheres} \\ \text{niedrigeres} \end{array} \right\} \text{Besetzungswahrscheinlichkeiten} \end{array} \right)$

\bullet Arbeit \Rightarrow Energieänderung der äußeren Parameter von \hat{H} (V, N, \dots):

$$SA = S_p(S \cdot d\hat{H})$$

Irreversible Prozesse:

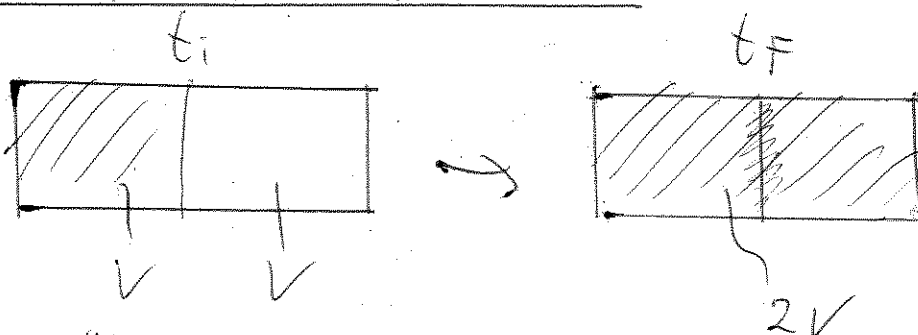
Fragen:

- (i) Warum sind überhaupt so viele makroskopische Prozesse irreversibel? (Die mikroskopischen Begr. sind ja zeitumkehrinvariant!)
- (ii) Warum korreliert Irreversibilität mit ~~der~~ Wärmeleitung $dS > 0$?

zu:

Beobachtung 1:

Irreversibilität tritt beim Übergang von geordneteren zu ungeordneteren Makrozuständen auf.

Beispiel: Gay-Lussac

Höhere Ordnung

~~Höchstige~~ Ordnung
geringere

Beobachtung 2:

Ungeordnetere Makrozustände haben überwältigend viel mehr Mikrozustände als geordnetere.

Beispiel: Gay-Lussac

$$S_i = k_B N (\ln V + c)$$

$$S_f = k_B N (\ln 2V + c)$$

$$S = k_B \ln S_2 \Leftrightarrow S_2 = e^{S/k_B}$$

$$\Rightarrow S_i = \tilde{c} e^{N \ln V} = \tilde{c} V^N$$

$$S_f = \tilde{c} e^{N \ln 2V} = \tilde{c} (2V)^N = \tilde{c} V^N 2^N = S_i 2^N$$

$$\Rightarrow \frac{S_f}{S_i} = 2^N \approx 2^{10^{23}} \ggg 1$$

⇒ Die Wahrscheinlichkeit, dass ein generisch präpariertes ~~100~~ Makrozustand mit Volumen $2V$ in einen Zustand mit Volumen V übergeht ist

~~Fl~~ $\frac{1}{10^{23}}$ quasi Null, da die hierfür nötigen Anfangsbedingungen nur für den Bruchteil $2^{-N} \approx \frac{1}{10^{23}} \approx 0$ aller Mikrozustände vorliegen.

\Rightarrow Geordnet \longrightarrow Ungeordnet
(= nicht generisch) (generisch)
ist
~~hat~~ Mikroskopisch viel ~~wahrscheinlicher~~ wahrscheinlicher
~~als geordnet~~ als umgekehrt.

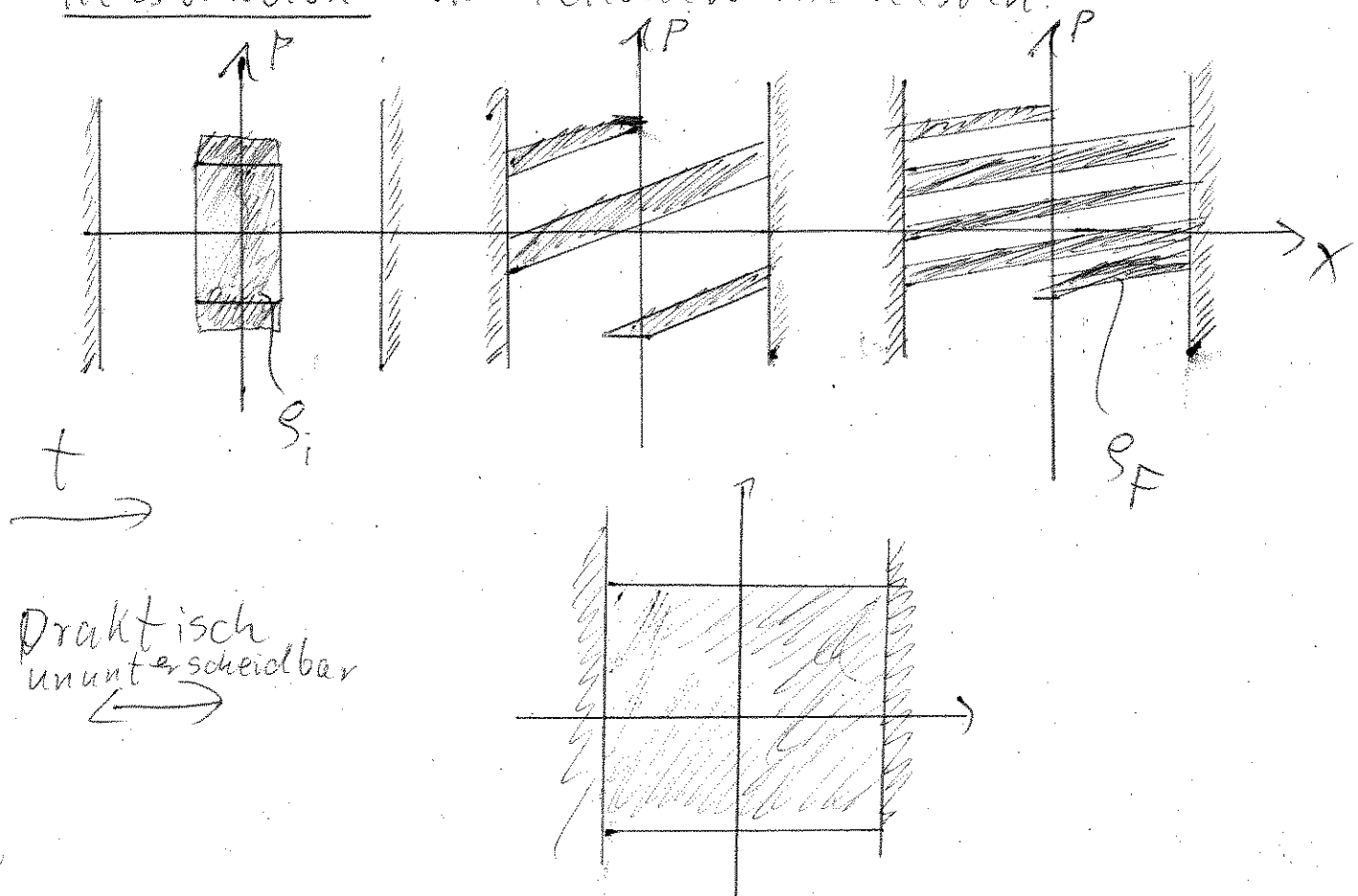
⇒ Irreversibilität \hookrightarrow Ordnungsgrad
 \hookrightarrow Entropiedifferenz

Bemerkungen:

(i) Die in einem geordneteren Makrozustand steckende Information geht mikroskopisch nicht verloren, sondern wird nur makroskopisch unzugänglich.

(ii) Ungeoordnet \rightarrow Geordnet ist nicht prinzipiell verboten, sondern nur extrem unwahrscheinlich

Illustration: 1D Teilchen im Kasten:



Draktisch
ununterscheidbar

⇒ Obwohl das Phasenraumvolumen mikroskopisch gleich bleibt, ist es bei endlicher Auflösung von einem vergrößerten Phasenraumvolumen makroskopisch nicht zu unterscheiden.

⇒ Die Entropievergrößerung ist hier ein effektiver Informationsverlust.

(ii) Weiterer Effekt: ungenau bekanntes H vergrößert ebenfalls den Informationsmangel im Laufe der Zeitentwicklung.

(iii) Wirklich überraschend ist nicht $S > 0$, sondern die relativ kleine Entropie des Frühen Universums.

(iv) Entwicklung von Leben \rightarrow Entstehen von Strukturen Höherer Ordnung

\rightarrow Muss von einer umso größeren Produktion von Unordnung / Entropie verbunden sein (z.B. die Umwandlung von chemischer oder Lichtenergie (niedrige Entropie) in thermische ~~Wärme~~ Energie (hohe Entropie)) (\rightarrow Stoffwechsel)

Dritter Hauptsatz (Vernstisches Theorem):

$$(3-38) \quad \lim_{T \rightarrow 0} \frac{S(T=0|X)}{N} = S_0 = \text{eine von äußeren Parametern } X = P, V, \dots \text{ unabhängige Konstante}$$

(= Eine von verschiedenen Versionen des Theorems)

Begründung der Statistischen Physik:

$$S(T=0) = k_B \ln \mathcal{D}(E_0)$$

Entartungsgrad des Grundzustands

- Häufig: $\mathcal{D}(E_0) = 1 \Rightarrow S(T=0) = 0$

(Dies ist eine ältere, stärkere Version des 3. Hauptsatzes)

- Falls $\mathcal{R}(E_0) = O(N)$:

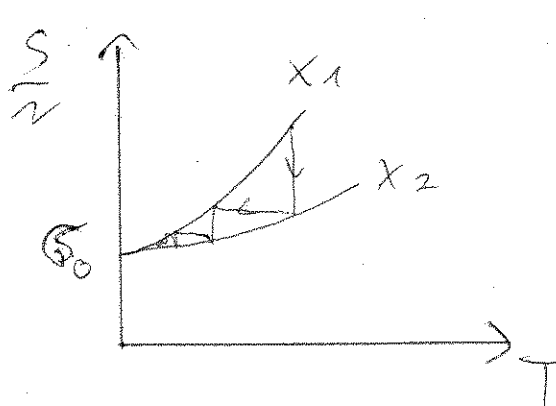
$$\frac{S(T=0)}{N} = \frac{O(N)}{N} = O$$

- Falls $\mathcal{R}(E_0) = C^N$, $C = \text{unabhängig von } x = P_1, V_1, \dots$

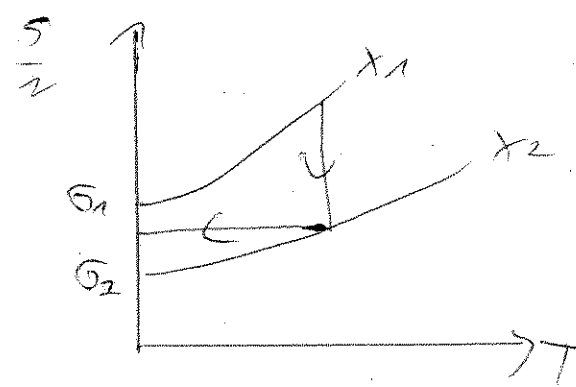
$$\frac{S(T=0)}{N} = K_0 \cdot C = \text{unabhängig von } x = P_1, V_1, \dots$$

Praktische Bedeutung:

Unerreichbarkeit von $T=0$ in endlich vielen Kühl Schritten.



Unendlich viele Schritte
nötig



Endlich viele
Schritte

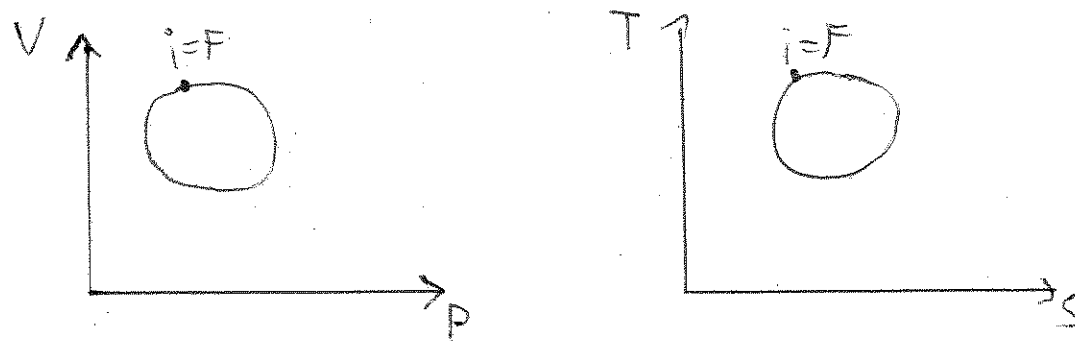
= Prozesse, bei denen das System (i.d.R. periodisch) wieder in seinen Ausgangszustand zurückkehrt.

Annahmen:

- Kreisprozess sei quasistatisch
- $N = \text{const.}$

⇒ Zustand zu jedem Zeitpunkt durch zwei Gleichgewichtsvariable bestimmt (z.B. (P, V) oder $(\overset{\text{TS}}{S}, \overset{\text{TS}}{T})$)

⇒ Geschlossene Kurve im <sup>Besonders nützliche Variablenpaare
(siehe unten)</sup> (P, V) -, bzw. (T, S) -Diagramm.



Während eines Umlaufs vom System geleistete ^{Netto-}Arbeit:

$$(3.39) \quad W = -A = \oint pdV = \text{Eingeschlossene Fläche im } (P, V)\text{-Diagramm}$$

Während eines Umlaufs vom System genommene ^{Netto-}Wärme:

$$(3.40) \quad Q = \oint TdS = \text{Eingeschlossene Fläche im } (T, S)\text{-Diagramm.}$$

Wegen Anfangszustand = Endzustand:

$$\underline{E_F = E_i} \\ \Rightarrow \boxed{Q = W} \quad (3.41)$$

Falls Umlauf im (P,V) - und (T,S) -Diagramm:

- Im Uhrzeigersinn: ("Rechtsprozess")

$$\textcircled{\text{O}} \quad \boxed{Q = W > 0} \Leftrightarrow \text{"Arbeitsmaschine"} \\ \left(\begin{array}{l} \text{Wärme wird netto} \\ \text{umgewandelt} \end{array} \right) \\ \left(\begin{array}{l} \text{in Arbeit umgewandelt} \\ \text{wird netto} \end{array} \right)$$

- Gegen den Uhrzeigersinn: ("Linksprozess")

$$\textcircled{D} \quad \boxed{Q = W < 0} \Leftrightarrow \begin{array}{l} \text{"Wärme pumpe"} \\ \text{"Kältemaschine"} \end{array} \\ \left(\begin{array}{l} \text{Arbeit wird in Wärme} \\ \text{umgewandelt, übertrag.} \end{array} \right)$$

3.5.1 Die Adiabatengleichung

3

Zur Vorbereitung der Diskussion
des Carnot'schen Kreisprozesses:

Reversible adiabatische Gasexpansion/-Kontraktion

(i) $\boxed{\text{Reversibel + adiabatisch} \Leftrightarrow S = \text{const.}} \quad (3.33)$

(Denn: $\underset{\text{ad.}}{\frac{\partial}{\partial T}} S = \underset{\text{rev.}}{\frac{\partial}{\partial T}} S = T \partial S$)

(ii) $\frac{C_P}{C_V} = \frac{x_T}{x_S} = \frac{-\frac{1}{V} \left(\frac{\partial V}{\partial P} \right)_{T,V}}{-\frac{1}{V} \left(\frac{\partial V}{\partial P} \right)_{S,V}} = \frac{\left(\frac{\partial P}{\partial V} \right)_{S,V}}{\left(\frac{\partial P}{\partial V} \right)_{T,V}}$

$\Leftrightarrow \boxed{\left(\frac{\partial P}{\partial V} \right)_{S,V} = \frac{C_P}{C_V} \left(\frac{\partial P}{\partial V} \right)_{T,V}} \quad (3.403)$

(iii) $C_P - C_V = \frac{T V \alpha^2}{x_T} \Rightarrow \boxed{\frac{C_P}{C_V} > 1 \quad \text{für } x_T > 0}$

(3.44)

(i)-(iii)
 \Rightarrow

Adiabaten $P(V, S = \text{const.}, N = \text{const.})$ verlaufen
im (P, V) -Diagramm steiler als
Isothermen $P(V, T = \text{const.}, N = \text{const.})$ ($\overset{\text{falls}}{x_T > 0}$)

Klassisches, ideales, monoatomares Gas

4

$$\bullet P = \frac{NK_B T}{V} \Rightarrow \left(\frac{\partial P}{\partial V} \right)_{T, N} = - \frac{NK_B T}{V^2} = - \frac{P}{V}$$

$$\bullet \alpha := \frac{C_P}{C_V} = \frac{5/2}{3/2} = \frac{5}{3}$$

$$(3.43) \Rightarrow \left(\frac{\partial P}{\partial V} \right)_{S, N} = - \alpha \frac{P}{V} \Leftrightarrow P = \frac{\text{const}}{V^\alpha}$$

$$\Rightarrow PV^\alpha = PV^{5/3} = \text{const.} \quad (3.45)$$

$$P = \frac{NK_B T}{V} \Rightarrow \left[TV^{\alpha-1} = TV^{\frac{2}{3}} = \text{const.} \right] \quad (3.46)$$

} "Adiabatengleichungen"
Für klass. id.
monoatomares
Gas

Bemerkung:

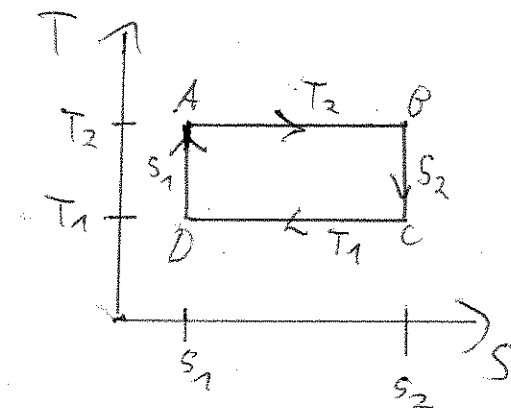
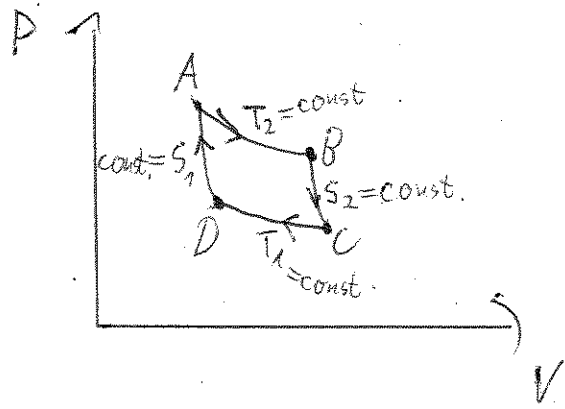
(3.46) Folgt auch direkt aus Sackur-Tetrode-Gl.

$$S = K_B N \left(\ln \frac{8}{\pi} (V T^{3/2}) + C \right) \Rightarrow dS = 0 \Leftrightarrow \underset{V=\text{const.}}{T^{3/2} V = \text{const.}}$$

(~~Übung~~)

3.5.2 Der Carnotprozess

(I) Rechtsprozess (\Rightarrow Arbeitsmaschine)



4 Teilschritte:

$A \rightarrow B$: Isotherme Expansion bei $T_2 > T_1$
durch Kopplung an heißes Wärmebad.

\Rightarrow Wärmemenge Q_2 ~~wird abgegeben~~ $= T_2(S_2 - S_1)$
~~Wärmequelle~~ wird vom Gas aufgenommen und
wegen $E = \text{const.} (\Rightarrow T = \text{const.})$ gleichzeitig durch Arbeitsleistung abgegeben.

$B \rightarrow C$: ~~Wärmequelle~~ Adiabatische Expansion (bei $S_2 = \text{const.}$)
~~nach~~ ~~Wärmedrähte~~ ~~Abkopplung~~
Von den Wärmebädern.

\Rightarrow Keine Wärmeübertragung, aber
Expansionsarbeit \Rightarrow Energie nimmt ab
~~Wärmeabnahm~~ \Rightarrow Abkühlung bis auf T_1 .

C \rightarrow D: Isotherme Kompression bei T_1

6

durch Kopplung an Kaltes Wärmebad und Arbeitsleistung von Außen.

\Rightarrow Vom Gas aufgenommene Wärme

$$Q_1 = T_1(S_1 - S_2) < 0, \text{ d.h. Gas}$$

gibt Wärme an Wärmebad ab,

und zwar genauso viel wie es

Arbeitsleistung erhält (da $E = \text{const.} \Leftrightarrow T = \text{const.}$)

D \rightarrow A: Adiabatische Kompression (bei $S_1 = \text{const.}$)

durch Abkopplung von den Wärmeböden und Kompression von Außen.

\Rightarrow Keine Wärmeübertragung, aber Arbeitsleistung von Außen

\Rightarrow T steigt von T_1 nach T_2 ($\Delta E > 0$)

Resultat nach einem Umlauf:

$\Delta E = 0 \Rightarrow$ Die insgesamt vom Gas geleistete Nettow-Arbeit W ist gleich der insgesamt aufgenommenen Wärme Q .
 ~~$Q = Q_1 + Q_2$~~ (siehe (3.41))

$$\Rightarrow W = Q = Q_1 + Q_2 = T_1(S_1 - S_2) + T_2(S_2 - S_1)$$

$$\Rightarrow W = Q = (T_2 - T_1)(S_2 - S_1) \quad (3.47)$$

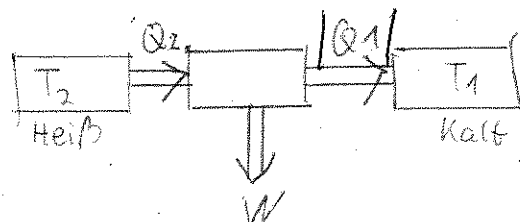
7

Wirkungsgrad: (allgemeine Definition)

$$\eta := \frac{W}{Q_2}$$

(= Geleistete Nettoarbeit des Gases
Aufgenommene Wärme aus heißem Bad)

(3.48)



\Rightarrow Für Carnot-Maschine:

$$\eta_C = \frac{(T_2 - T_1)(S_2 - S_1)}{T_2(S_2 - S_1)} = 1 - \frac{T_1}{T_2} \quad (3.50)$$

(3.50)

\Rightarrow Für $T_1, T_2 > 0$ ist $\eta_C < 1$

Bemerkung: Für ~~negative~~ Temperaturen

~~ist erklärbar~~ $T_1, T_2 < 0$ ergibt

sich scheinbar ein Wirkungsgrad > 1 .

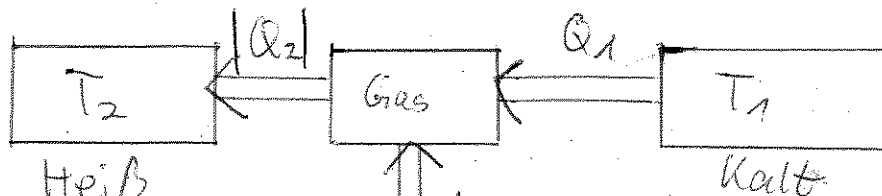
Da aber Systeme mit $T < 0$ ~~w~~ (wahrscheinlich) nicht natürlich auftreten, sondern erst durch Arbeitsleistung erzeugt werden müssen, ist der tatsächliche Wirkungsgrad < 1

Außerdem: $T < 0 \Rightarrow$ Substrat hat keine Translationsfreiheitsgrade (z.B. Ortsfeste Spins)

\Rightarrow Keine T -Änderung durch adiabatische V-Änderung,

(II) Linksprozess (Wärme pumpe/Kältemaschine)⁸

("Inverser Carnotprozess")



$\uparrow A = \text{am System geleistete Arbeit}$

$$Q_2 = T_2(S_1 - S_2) < 0$$

$$Q_1 = T_1(S_2 - S_1) > 0$$

$$Q = Q_1 + Q_2 = (T_1 - T_2)(S_2 - S_1) = \underline{-A} < 0$$

"Vom Gas aufgenommene Wärme"

Vom Gas
Geleistete
Netto-Arbeit.

\Rightarrow Arbeit wird von außen am Gas ^{wirkt} geleistet, das heße Bad ^{wirkt} erhitzt und das Kalte Bad wird abgekühlt.

Je nachdem, wofür man sich interessiert, definiert man:

$$(ii) \quad \text{Heizeffektivität} = \eta_C^H = \frac{-Q_2}{A} = \frac{T_2}{T_2 - T_1} > 1$$

(Gebrauch als Wärme pumpe)

(3.51)

\rightarrow Ist effektiver, als direkt A in Q_2 umzuwandeln! (insbes. wenn $T_2 \approx T_1$)

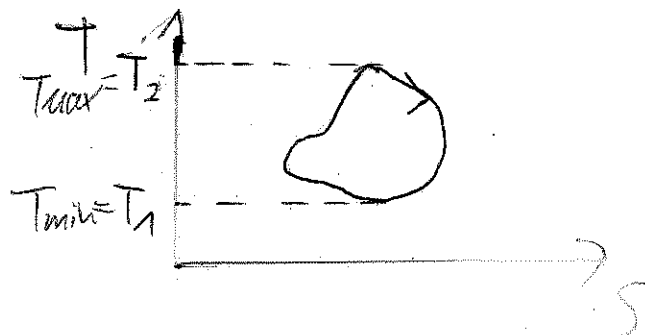
$\Rightarrow \eta \leq 1$

(ii) Kühlleffektivität:

9

$$\eta_C^K := \frac{Q_1^{\text{gas}}}{A} = \frac{T_1}{T_2 - T_1} \quad (3.52)$$

3.5.3 Allgemeiner Kreisprozess



Behauptung: Es gilt stets:

$$\eta \leq \eta_C \equiv 1 - \frac{T_1}{T_2} \quad (3.53)$$

(D.h. Keine Wärmekraftmaschine ist effizienter als ein idealer Carnot-Prozess) zwischen den beiden Extrempunkten T_1, T_2

Beweis:

$$W = Q = \oint \delta Q = \int_{\delta Q > 0} \delta Q + \int_{\delta Q < 0} \delta Q = \underbrace{Q_2}_{> 0} + \underbrace{Q_1}_{< 0}$$

Zweiter Hauptsatz:

$$0 = \Delta S \geq \oint \frac{\delta Q}{T} = \int_{\delta Q > 0} \frac{\delta Q}{T} + \int_{\delta Q < 0} \frac{\delta Q}{T} \geq \underbrace{\frac{Q_2}{T_2}}_{\uparrow} + \underbrace{\frac{Q_1}{T_1}}$$

$$\Rightarrow \cancel{(\text{D.h.})} \quad \frac{Q_2}{T_2} \leq -\frac{Q_1}{T_1} \quad \Leftrightarrow \frac{Q_1}{Q_2} \leq -\frac{T_1}{T_2} \Rightarrow \eta = \frac{Q_1 + Q_2}{Q_2} = 1 + \frac{Q_1}{Q_2} \leq 1 - \frac{T_1}{T_2} = \eta_C$$

④ Ideale Quantengase

Bisheriges Modell für Gase:

Klassisches, monoatomares, ideales Gas:

(i) "klassisch" : Behandlung im Rahmen der Klass. Mech.

(ii) "monoatomar" : Strukturlose Gasbestandteile

Also insbes. Keine mehratomigen Moleküle mit internen Rotations- oder Vibrationsfreiheitsgraden
 → Nur Translations- und evtl. spinfreiheitsgrade

(iii) "ideal" : Keine WW zwischen den Gasteilchen.

⇒

$$\left. \begin{array}{l} E = \frac{3}{2} N k_B T \\ P \cdot V = N k_B T \end{array} \right\} \Rightarrow P V = \frac{2}{3} E$$

$$S(T, V, N) = k_B N \ln \left[\frac{V}{N \lambda^3(T)} e^{5/2} \right]$$

$$(\lambda(T)) = \frac{\hbar}{\sqrt{2 \pi m k_B T}} \quad (\text{thermische de Broglie-Wellenlänge})$$

obachtung:

$$\frac{N\lambda^3}{V} > e^{5/2} \Leftrightarrow S < 0 \downarrow$$

⇒ Selbst für WW-Freie, punktförmige Gasteilchen (also unter Annahmen (ii)+(iii)) sollte die Klassische Näherung (Annahme(i)) für große Dichten $\frac{N}{V}$ und/oder kleine Temperaturen T (\Leftrightarrow große λ) zusammenbrechen.

Phys. Gründe :

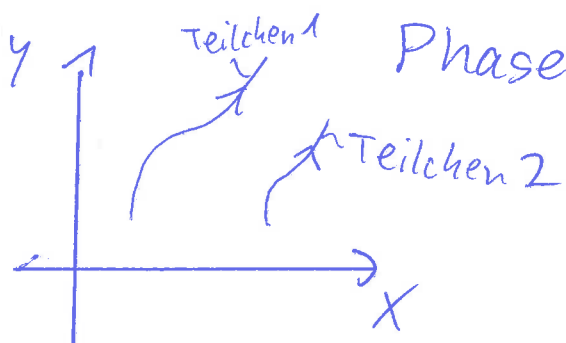
- Unschärferelation
- Austauscheffekte bei Wellenfunktionsüberlapp identischer Teilchen (siehe unten)

→ Ziel dieses Kapitels: Aufgabe von Annahme(i) (unter Beibehaltung von (ii)+(iii))
 → Ideale (monoatomare) Quantengase

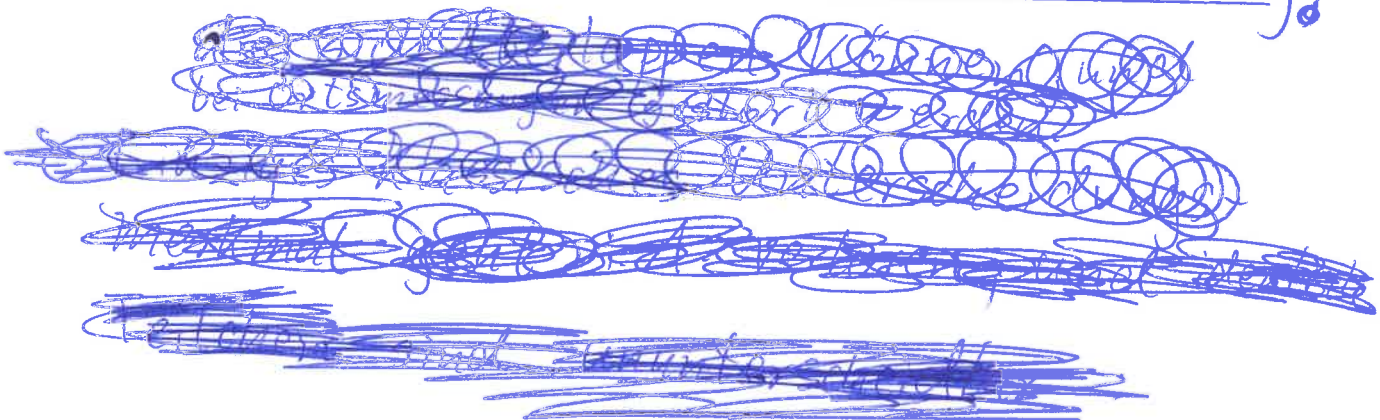
A.1. Ununterscheidbare Teilchen in der QM

Beobachtung: Teilchen gleichen Typs (z.B. Elektronen oder H-Atome) haben exakt die gleichen phys. Eigenschaften
 → "identische Teilchen"

QS. Mech.: Einziges mögliches Unterscheidungsmerkmal zwischen identischen Teilchen: Ihre Trajektorien im Konfigurations-, ~~oder~~³ bzw. Phasenraum =



QM: ~~Die~~ Trajektorien, sondern lediglich Wellenpakete endlicher Ausdehnung.



⇒ Teilchen können bei Wellenfunktionsüberlapp nicht mehr individuell identifiziert werden und werden absolut ununterscheidbar.

In jedem Fall sollten Messergebnisse in der QM invariant unter Vertauschung identischer Teilchen sein.

Mathematische Implementierung:

7

Symmetrische Gruppe S_N := Gruppe der Permutationen

$\sigma: (1, 2, \dots, N) \mapsto (\sigma(1), \sigma(2), \dots, \sigma(N))$
der Zahlen $\{1, 2, \dots, N\}$

$\left. \begin{array}{l} \text{• } S_N \text{ hat } N! \text{ Elemente, z.B. } S_2 = \{e, \tau_{12}\} \text{ mit} \\ e: (1, 2) \rightarrow (1, 2) \\ \tau_{12}: (1, 2) \rightarrow (2, 1) \end{array} \right)$

• $\sigma \in S_N$ heißt $\begin{cases} \text{gerade} \\ \text{ungerade} \end{cases}$, falls sich σ

durch Hintereinanderausführung einer
 $\begin{cases} \text{geraden} \\ \text{ungeraden} \end{cases}$ Zahl von Paarvertauschungen

~~ergibt~~ $\tau_{ij}: (\dots, i, \dots, j, \dots) \rightarrow (\dots, j, \dots, i, \dots)$ ergibt.

Beispiele: • $\sigma: (1, 2, 3) \rightarrow (3, 1, 2)$ ist gerade
(denn $\sigma = \tau_{32} \circ \tau_{12}$)

• $\sigma: (1, 2, 3) \rightarrow (2, 1, 3)$ ist ungerade
(denn $\sigma = \tau_{12}$)

• Seien $\xi_i = (\vec{r}_i, m_s)_i$ oder $\xi_i = (\vec{p}_i, m_s)_i$ ($i=1, \dots, N$)
die Orts-, bzw. Impulskoordinaten und
Spinquantenzahlen des i -ten Teilchens
eines Systems N identischer Teilchen,

und $\Psi(\xi_1, \dots, \xi_N)$ die Wellenfunktion (WF) eines reinen Zustandes dieses Systems.

\Rightarrow Eine Teilchenpermutation $\sigma \in S_N$ muss zu denselben Messergebnissen führen.
(sonst wären Teilchen unterscheidbar)

$$\Rightarrow |\Psi(\xi_{\sigma(1)}, \dots, \xi_{\sigma(N)})|^2 = |\Psi(\xi_1, \dots, \xi_N)|^2 \quad \forall \sigma \in S_N$$

$$\Rightarrow \boxed{\Psi(\xi_{\sigma(1)}, \dots, \xi_{\sigma(N)}) = e^{i\alpha(\sigma)} \Psi(\xi_1, \dots, \xi_N)} \quad (4.1)$$

Spin-Statistik-Theorem: (Siehe QFT)

Für ein System N ununterscheidbarer Teilchen mit spin s gilt:

$$(i) s = n\hbar \quad (n \in \mathbb{N}_0) \quad (\text{ganzzahliger Spin})$$

$$\Leftrightarrow \boxed{e^{i\alpha(\sigma)} = +1 \quad \forall \sigma \in S_N} \quad (4.2a)$$

\Rightarrow Wellenfunktion ist vollständig symmetrisch unter Teilchenvertauschung

\hookrightarrow "Bosonen"

$$(ii) s = (n + \frac{1}{2})\hbar \quad (n \in \mathbb{N}_0) \quad (\text{halbzahliger Spin})$$

$$\Leftrightarrow \boxed{e^{i\alpha(\sigma)} = \begin{cases} +1 & \text{Falls } \sigma \text{ gerade} \\ -1 & \text{Falls } \sigma \text{ ungerade} \end{cases}} \quad (4.2b)$$

\Rightarrow Wellenfkt. ist vollst. antisymm. unter Vertausch.
 \hookrightarrow "Fermionen"

Erkung:

für bestimmte, effektiv zweidimensionale Quasiteilchen sind auch allgemeinere Phasen-Faktoren $e^{i\alpha(\xi)} + \xi^{\frac{1}{2}}$ denkbar
 → "Anyonen" (\rightarrow "topologischer Quantencomputer")
 (Nicht Thema in dieser Vorlesung)

Mehrteilchenwellenfkt aus Einteilchenwellenfkt:

Für N identische, nicht miteinander wechselwirkende Teilchen:

$$\hat{H}_N = \sum_{i=1}^N \hat{h}(\xi_i) \quad (4.3)$$

mit \hat{h} = Für alle Teilchen identischer Einteilchen-Hamiltonoperator mit ONS von Einteilchenwellenfkt ϕ_q mit \hat{h} -Eigenwerten E_q (q = geeigneter Satz von Quantenzahlen zur Kennzeichnung der Einteilchenzustände)

$$\hat{h} \phi_q(\xi) = E_q \phi_q(\xi) \quad (\text{keine Summe über } q) \quad (4.4)$$

Beispiel:

Teilchen im Kasten mit Seitenlängen L_x, L_y, L_z :

$$\hat{h} = \frac{\hat{p}^2}{2m} + V_{\text{wand}}(\vec{r})$$

(Hier mit ~~spins~~ unterdrückten spin-Freiheitsgraden) (4.5a)

$$q = (v_x, v_y, v_z) \in \mathbb{N}^3$$

$$\cdot \phi_q(x, y, z) = \left(\frac{8}{L_x L_y L_z} \right)^{1/2} \sin\left(\frac{p_x x}{\hbar}\right) \sin\left(\frac{p_y y}{\hbar}\right) \sin\left(\frac{p_z z}{\hbar}\right) \quad (4.5b)$$

mit

$$p_x = v_x \frac{\hbar \pi}{L_x}, p_y = v_y \frac{\hbar \pi}{L_y}, p_z = v_z \frac{\hbar \pi}{L_z}$$

$$\cdot E_q = \frac{p^2}{2m} = \frac{\hbar^2 \pi^2}{2m} \left(\frac{v_x^2}{L_x^2} + \frac{v_y^2}{L_y^2} + \frac{v_z^2}{L_z^2} \right) \quad (4.5c)$$

^{(4.2)+}
^(4.3) \Rightarrow N-Teilchenwellenfkt. sind von der Form:

$$\Psi(\xi_1, \dots, \xi_N) \in \begin{cases} \sum_{S \in S_N} \phi_{q_1}(\xi_{S(1)}) \cdot \dots \cdot \phi_{q_N}(\xi_{S(N)}) & (\text{Bosonen}) \\ \sum_{S \in S_N} \text{sign}(S) \phi_{q_1}(\xi_{S(1)}) \cdot \dots \cdot \phi_{q_N}(\xi_{S(N)}) & (\text{Fermionen}) \end{cases}$$

(4.6)

Beispiel:

$$N=2 \Rightarrow S_2 = \{e_1, e_2\}$$

$$\cdot \text{Bosonen: } \Psi(\xi_1, \xi_2) \in (\phi_{q_1}(\xi_1) \phi_{q_2}(\xi_2) + \phi_{q_1}(\xi_2) \phi_{q_2}(\xi_1))$$

$$(E = E_{q_1} + E_{q_2})$$

$$\cdot \text{Fermionen: } \Psi(\xi_1, \xi_2) \in (\phi_{q_1}(\xi_1) \phi_{q_2}(\xi_2) - \phi_{q_1}(\xi_2) \phi_{q_2}(\xi_1))$$

$$(E = E_{q_1} + E_{q_2})$$

Wichtige Konsequenzen:

(i) Durch die (Anti-)Symmetrisierung in (4.6)

Faktorisieren die MehrteilchenWFen
ununterscheidbarer Teilchen nicht mehr
in ein Produkt aus EinteilchenWFen.

Bei unterscheidbaren Teilchen sind die
Produkte $\psi(\xi_1, \dots, \xi_n) \propto \phi_{q_1}(\xi_1) \cdot \dots \cdot \phi_{q_n}(\xi_n)$
dagegen sehr wohl erlaubte WFen
und spannen den Mehrteilchen-Hilbertraum auf

⇒ Berechnung von Zustandssummen mit
Orts- oder ImpulsraumWFen ist für
ununterscheidbare Teilchen Kompliziert.

Letztes Mal:

Spin-Statistik-Theorem:

Für ein System N ununterscheidbarer Teilchen mit Spin s gilt:

$$(i) \boxed{s = nh \quad (n \in \mathbb{N}_0)}$$

$$\Leftrightarrow \boxed{\psi(\xi_{S(1)}, \dots, \xi_{S(n)}) = +\psi(\xi_1, \dots, \xi_N) \quad (\forall \xi \in S_n)} \\ (\Leftrightarrow \text{"Bosonen"})$$

$$(ii) \boxed{s = (m + \frac{1}{2})\hbar \quad (m \in \mathbb{N}_0)}$$

$$\Leftrightarrow \boxed{\psi(\xi_{S(1)}, \dots, \xi_{S(n)}) = \begin{cases} +\psi(\xi_1, \dots, \xi_N) & \text{falls } S \text{ gerade} \\ -\psi(\xi_1, \dots, \xi_N) & \text{falls } S \text{ ungerade} \end{cases}} \\ (\Leftrightarrow \text{"Fermionen"}) \quad (\forall \xi \in S_n)$$

Bei nicht miteinander wechselwirkenden Teilchen:

$$\hat{H}_N = \sum_{i=1}^N \hat{h}(\xi_i) \quad (\hat{h}\phi_g(\xi) = \epsilon_g \phi_g(\xi))$$

↑
EinteilchenWF.

$$\Rightarrow \psi(\xi_1, \dots, \xi_N) \propto \begin{cases} \sum_{S \in S_N} \phi_{q_1}(\xi_{S(1)}) \cdot \dots \cdot \phi_{q_N}(\xi_{S(N)}) & \text{(Bosonen)} \\ \sum_{S \in S_N} \text{sign}(S) \cdot \phi_{q_1}(\xi_{S(1)}) \cdot \dots \cdot \phi_{q_N}(\xi_{S(N)}) & \text{(Fermionen)} \end{cases}$$

(4.6)

Wichtige Konsequenzen aus (4.6):

2

(i) MehrteilchenWF faktorisieren für ununterscheidbare Teilchen nicht in ein Produkt von EinteilchenWF.

Bei Unterscheidbarkeit schon:
 $\left(\Psi(\xi_1, \dots, \xi_n) \propto \phi_{q_1}(\xi_1) \dots \phi_{q_n}(\xi_n) \text{ bilden Basis von } \mathcal{H}_n \right)$ dann

\Rightarrow Zustandssummenberechnung durch Rückführung auf EinteilchenWF ist für ununterscheidbare Teilchen Kompliziert!
 (siehe auch Üblatt)

Andererseits:

(ii) (Anti-)Symmetrisierung (4.6) eliminiert die Information darüber welches Teilchen sich in welchem Einteilchenzustand befindet. Bewahrt wird lediglich die Information darüber, wie viele Teilchen n_q sich in jedem möglichen Einteilchenzustand ϕ_q befinden.

Tatsächlich charakterisieren diese "Besetzungszahlen" n_q den jeweiligen Mehrteilchenzustand bereits vollständig!
 (Sofern bekannt ist, ob es Bosonen oder Fermionen sind.)

Illustration:

1)

$$N=2, n_1=1, n_3=1, n_q=0 \vee q \notin \{1, 3\}$$

$$\Rightarrow \psi(\xi_1, \xi_2) \in \begin{cases} \phi_1(\xi_1)\phi_3(\xi_2) + \phi_1(\xi_2)\phi_3(\xi_1) & (\text{Bosonen}) \\ \phi_1(\xi_1)\phi_3(\xi_2) - \phi_1(\xi_2)\phi_3(\xi_1) & (\text{Fermionen}) \end{cases}$$

$$2) N=2, n_3=2, n_q=0 \vee q \neq 3$$

$$\Rightarrow \psi(\xi_1, \xi_2) \in \begin{cases} \phi_3(\xi_1)\phi_3(\xi_2) + \phi_3(\xi_2)\phi_3(\xi_1) = 2\phi_3(\xi_1)\phi_3(\xi_2) & (\text{Bosonen}) \\ \phi_3(\xi_1)\phi_3(\xi_2) - \phi_3(\xi_2)\phi_3(\xi_1) = 0 & (\text{Fermionen}) \end{cases}$$

(iii) Illustration 2) zeigt:

Für Fermionen sind nur die Besetzungszahlen

$$n_q = 0 \text{ oder } 1 \quad (4.7)$$

möglich, denn $n_q \geq 2$ für ~~mindestens~~ mindestens ein Teilchen.

Ein q impliziert $\psi(\xi_1, \dots, \xi_N) = 0$ wg. Antisymmetrie.

\Leftrightarrow

Pauli-Prinzip:

Zwei identische Fermionen können nicht denselben Einteilchenzustand ϕ_q ~~gleichzeitig~~ besetzen.

ermerkung:

Bosonen verhalten sich gewissermaßen umgekehrt und neigen im Vergleich zu unterscheidbaren Teilchen sogar stärker zu Gleichbesetzungen. (\rightarrow Übblatt 11)

Ihre Besetzungszahlen sind nach oben unbeschränkt:

$$n_q \in \{0, 1, 2, \dots\} \quad (4.8)$$

\Rightarrow Ein System ununterscheidbarer {Bosonen
Fermionen}

$\xleftarrow{\text{Formel}}$ Eine Kollektion Fiktiver, unabhängiger und unterscheidbarer { "harmonischer Oszillatoren" } { "Zwei-Zustands-Systeme" }

(Jeweils{einen} {eines} für jeden möglichen Einteilchenzustand ϕ_q mit den jeweils möglichen Besetzungszahlen $n_q \in \{0, 1, 2, \dots\}$)

\Rightarrow Benutze "Besetzungszahlendarstellung"

$$|\{n_q\}\rangle = |n_1, n_2, \dots\rangle \equiv |n_1\rangle \otimes |n_2\rangle \otimes \dots$$

(Faktorisiert!) $\quad (4.9)$

statt Orts-/ImpulsraumWFen $\psi(\xi_1, \dots, \xi_N) \propto [\phi_{q_1}(\xi_1), \dots, \phi_{q_N}(\xi_N)]$

(Faktorisiert nicht!) \pm Permutationen

$$\Rightarrow \text{Gesamtenergie } E = \sum_q \epsilon_q n_q \quad (4.10a)$$

$$\text{Gesamtteilchenzahl } N = \sum_q n_q \quad (4.10b)$$

Mikrokanonische Gesamtheit:

E, N ~~schw~~ Fest vorgegeben

\Rightarrow Besetzungszahlen n_q nicht Komplett unabhängig.

Kanonische Gesamtheit:

N Fest vorgegeben

$\Rightarrow n_q$ nicht Komplett unabhängig

→ ^{Irrtum noch} Kompliziert

Aber: n_q sind völlig unabhängig in der großkanonischen Gesamtheit

\Rightarrow Großkanonische Zustandssumme leicht ausrechenbar!



Rechnerisch bevorzugt!

2 Ideale Quantengase in der grobkanonischen Gesamtheit

6

Reine N -Bosonen/ N -Fermionen-Basiszustände

$\uparrow \downarrow 1:1$

Erlaubte Besetzungsanzahlkombinationen $\{n_q\}$
mit $\sum_q n_q = N$

\Rightarrow Grobkanonische Zustandssumme:

$$Z_G = \sum_{N=0}^{\infty} \sum_{\{n_q\}} e^{-\beta(E(\{n_q\}) - \mu N(\{n_q\}))} = \sum_{\{n_q\}} e^{-\beta(\sum_q (E_q - \mu) n_q)}$$

mit $\sum_q n_q = N$

(4.10)

$$= \prod_q \sum_{n_q} e^{-\beta(E_q - \mu) n_q}$$

$$\Rightarrow Z_G = \begin{cases} \prod_q \frac{1}{1 - e^{-\beta(E_q - \mu)}} & (\text{Bosonen}) \\ \prod_q (1 + e^{-\beta(E_q - \mu)}) & (\text{Fermionen}) \end{cases} \quad (4.11)$$

\Rightarrow Grobkanonisches Potential:

$$\phi \equiv -k_B T \ln Z_G = \pm k_B T \sum_q \ln (1 \mp e^{-\beta(E_q - \mu)}) \quad (4.12)$$

Mittlere Teilchenzahl:

$$\langle N \rangle = - \left(\frac{\partial \Phi}{\partial \mu} \right)_{T,V} = -k_B T \sum_q \frac{1}{1 + e^{-\beta(E_q - \mu)}} (e^{-\beta(E_q - \mu)}) \beta$$

$$= \sum_q \frac{e^{-\beta(E_q - \mu)}}{1 + e^{-\beta(E_q - \mu)}}$$

$$\Rightarrow \langle N \rangle = \begin{cases} \sum_q \frac{1}{e^{\beta(E_q - \mu)} - 1} & (\text{Bosonen}) \\ \sum_q \frac{1}{e^{\beta(E_q - \mu)} + 1} & (\text{Fermionen}) \end{cases} \quad (4.13)$$

→ Wir lesen ab:

Die "mittlere Besetzungszahl" $\langle n_q \rangle$ des Einteilchenzustandes Φ_q ist:

$$\langle n_q \rangle = \begin{cases} \frac{1}{e^{\beta(E_q - \mu)} - 1} & (\text{Bosonen}) \\ \frac{1}{e^{\beta(E_q - \mu)} + 1} & (\text{Fermionen}) \end{cases} \quad (4.14)$$

so dass

$$\langle N \rangle = \sum_q \langle n_q \rangle \quad (4.15)$$

Bem.: Die Funktionen $\frac{1}{e^{\beta(E_q - \mu)} \mp 1}$ ($= \langle n_q \rangle$) werden auch $\begin{cases} \text{Bose-} \\ \text{Fermi-} \end{cases}$ Verteilungsfunktionen genannt, und die aus ihnen folgenden Statistik $\begin{cases} \text{Bose-Einstein-Statistik} \\ \text{Fermi-Dirac-Statistik} \end{cases}$ ($\begin{cases} q(\text{BE})-\text{Statistik} \\ q(\text{FD})-\text{Statistik} \end{cases}$)

Mittlere Energie:

$$\langle E \rangle = \sum_q \epsilon_q \langle n_q \rangle$$

(4.16)

(siehe auch Üblatt 10)

Druck:

$$P = -\frac{\partial \phi}{\partial V} \quad (\text{allgemein})$$

(4.17)

Oder aus

$$PV = -\phi \quad (\text{Für homogene Systeme})$$

(4.18)

und (4.12)

Aus (4.17) ergibt sich:

$$P = \mp k_B T \sum_q \frac{1}{1 + e^{-\beta(\epsilon_q - \mu)}} \cdot \left(\mp \left(-\beta \frac{\partial \epsilon_q}{\partial V} \right) e^{-\beta(\epsilon_q - \mu)} \right)$$

$$= k_B T \sum_q \frac{1}{1 + e^{-\beta(\epsilon_q - \mu)}} \beta \frac{\partial \epsilon_q}{\partial V} e^{-\beta(\epsilon_q - \mu)}$$

$$= - \sum_q \frac{1}{e^{\beta(\epsilon_q - \mu)} + 1} \frac{\partial \epsilon_q}{\partial V}$$

$$\Rightarrow P = - \sum_q \frac{\partial \epsilon_q}{\partial V} \langle n_q \rangle \quad (4.19)$$

nicht-relativistisches

Für ein Teilchen im Kubischen Kasten mit $L_x = L_y = L_z = L$ ergibt sich aus (4.5c):

$$\epsilon_q = \frac{\hbar^2 r^2}{2mL^2} (v_x^2 + v_y^2 + v_z^2) = \frac{\hbar^2 r^2}{2mV^{\frac{2}{3}}} (v_x^2 + v_y^2 + v_z^2)$$

$$\Rightarrow \frac{\partial \epsilon_q}{\partial V} = -\frac{2}{3} \frac{\hbar^2 r^2}{2mV^{\frac{5}{3}}} (v_x^2 + v_y^2 + v_z^2) = -\frac{2}{3} \frac{\epsilon_q}{V}$$

$$\Rightarrow P = \frac{2}{3} \sum_q \frac{\epsilon_q}{V} \langle n_q \rangle = \frac{2}{3} \frac{\langle E \rangle}{V} \Leftrightarrow PV = \frac{2}{3} \langle E \rangle \quad (4.20)$$

Letztes Mal:

Ideale Quantengase in der großkanonischen Gesamtheit:

Großkanonisches Potential: (Für {Bosonen} {Fermionen})

$$\Phi(T, V, \mu) \equiv -k_B T \ln Z_G = \pm k_B T \sum_q \ln(1 + e^{-\beta(E_q - \mu)})$$

(4.12)

Summe über alle Einteilchenzustände ϕ_q mit Energie E_q

Mittlere Teilchenzahl:

$$\langle N \rangle = -\left(\frac{\partial \Phi}{\partial \mu}\right)_{T,V} = \sum_q \langle n_q \rangle \quad (4.15)$$

mit

$$\langle n_q \rangle = \frac{1}{e^{\beta(E_q - \mu)} + 1} \quad (\text{Für } \begin{cases} \text{Bosonen} \\ \text{Fermionen} \end{cases}) \quad (4.14)$$

(= mittlere Besetzungszahl des Einteilchenzustandes ϕ_q)
alias {Bose-} {Fermi-} Verteilungsfunktion

Mittlere Energie:

$$\langle E \rangle = \sum_q E_q \langle n_q \rangle \quad (4.16)$$

Druck:

$$P = -\frac{\partial \Phi}{\partial V} \quad (\text{allgemein}) \quad (4.17)$$

$$PV = -\phi \quad (\text{homogene Systeme}) \quad (4.18)$$

$$\rightarrow P = -\sum_q \frac{\partial \epsilon_q}{\partial V} \langle n_q \rangle \quad (4.19)$$

⇒ Für nicht-relativistische Teilchen im Kubischen Kasten:

$$PV = \frac{2}{3} \langle E \rangle \quad (4.20)$$

Wie für das Klassische, monoatomare, ideale Gas ($PV = NK_B T = \frac{2}{3} \left(\frac{3}{2} NK_B T \right) = \frac{2}{3} E$),

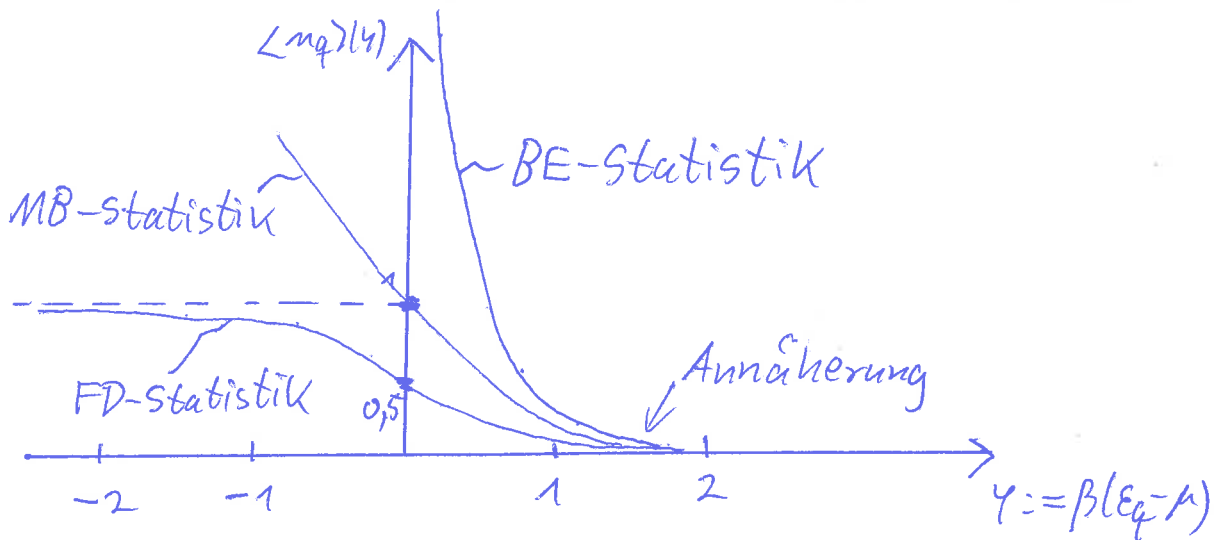
obwohl für Quantengase $\overset{i.t.}{\nabla} PV \neq NK_B T$, $E \neq \frac{3}{2} NK_B T$
(siehe später)

Entropie:

$$S_G = - \left(\frac{\partial \Phi}{\partial T} \right)_{V, \mu} = - \frac{1}{T} (\phi - \langle E \rangle + \mu \langle N \rangle) \quad (4.21)$$

Einige allgemeine Eigenschaften der Bose-/Fermi-Verteilungsfunktionen

(i) Schematischer Verlauf für endliche T:



Hierbei: "Maxwell-Boltzmann (MB)-Statistik":

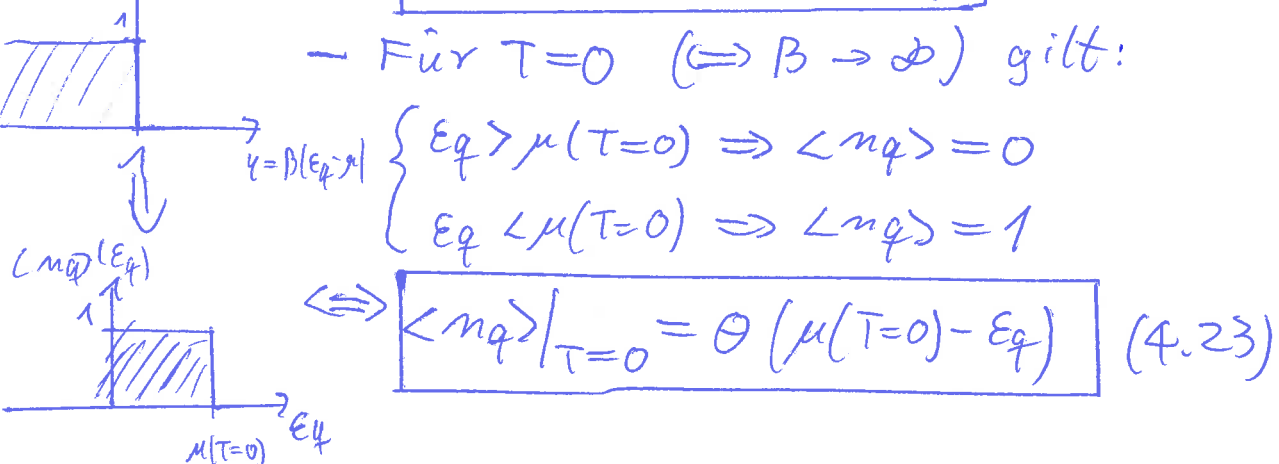
↳ Berücksichtigung der Ununterscheidbarkeit durch $\frac{1}{N!}$ -Faktor, aber ohne (Anti-)Symmetrisierung von $\psi(\xi_1, \dots, \xi_N)$
 → Keine Austauscheffekte

$$\rightarrow \langle n_q \rangle_{MB} = e^{-\beta(E_q - \mu)} \quad (\rightarrow \text{ÜbBlatt 11})$$

(ii) Für Fermionen gilt:

$$- \boxed{0 \leq \langle n_q \rangle \leq 1 \quad \forall q} \quad (4.22)$$

- Für $T=0$ ($\Rightarrow \beta \rightarrow \infty$) gilt:



$$\left\{ \begin{array}{l} \epsilon_q > \mu(T=0) \Rightarrow \langle n_q \rangle = 0 \\ \epsilon_q < \mu(T=0) \Rightarrow \langle n_q \rangle = 1 \end{array} \right.$$

$$\Leftrightarrow \boxed{\langle n_q \rangle|_{T=0} = \Theta(\mu(T=0) - \epsilon_q)} \quad (4.23)$$

- Def.: ~~definiert~~ $E_F := \mu(T=0)$ (4.24) 4

("Fermi-Energie")

\Rightarrow Bei $T=0$ sind alle Zustände bis zur Fermi-Energie voll besetzt und leer darüber.

$$\Rightarrow \underbrace{\mu(T=0)}_{\text{Fermi-Energie}} / k_B T$$

$$\Rightarrow 0 < \mu(T=0) = E_F < \infty \quad (4.25)$$

(iii) Für Bosonen gilt:

- $0 \leq \langle n_q \rangle \leq \langle n \rangle < \infty$ (4.26)

~~Aus $0 \leq \frac{1}{e^{B(E_q-\mu)} - 1} < \infty$ folgt:~~

- Aus $0 \leq \frac{1}{e^{B(E_q-\mu)} - 1} < \infty$ Folgt. (Für Tendenz)

$$e^{B(E_q-\mu)} > 1 \quad \forall q$$

$$\Leftrightarrow \exists \epsilon_q > \mu \quad \forall q$$

$$\Rightarrow \mu < \min(E_q) \quad (4.27)$$

(Für endliche T)

Falls $\min(E_q) = 0$:

$$\boxed{\mu < 0} \quad (4.28) \quad (\text{Für endliche T und } \min(E_q) = 0)$$

- Für $T \rightarrow 0$ ($\Leftrightarrow \beta \rightarrow \infty$) gilt:

- $\langle n_q \rangle \rightarrow 0 \neq \epsilon_q > \min(\epsilon_q)$
- $\mu \xrightarrow{\min(\epsilon_q)} \infty$, denn nur so kann $\min(\epsilon_q)$ nicht trivial besetzt sein.
(bei $\min(\epsilon_q) = 0 \Rightarrow \mu \rightarrow 0$)

$$\Rightarrow \boxed{\mu(T=0) = \min(\epsilon_q)} = 0 \quad \text{falls } \min(\epsilon_q) = 0 \quad (4.29)$$

$\left(+ \text{Alle Teilchen im Grundzustand} \right)$

(iv) Klassischer Grenzfall

Klassische Näherung ist gut, wenn

$$\boxed{\frac{V}{N} \gg \lambda(T)^3} \quad (4.30)$$

$\left(\Leftrightarrow \text{Ausdehnung und Überlapp der WellenPakete vernachlässigbar} \right)$

Für klassisches, monoatomares, ideales Gas:

$$\frac{N}{V} \lambda(T)^3 = z = e^{-\beta \mu} \quad (\text{Fugazität})$$

$$\Rightarrow (4.30) \Leftrightarrow \boxed{z \ll 1 \Leftrightarrow \beta \mu \ll -1} \quad (4.31)$$

$$\Rightarrow \beta(\epsilon_q - \mu) \gg 1 + q \Rightarrow \boxed{\langle n_q \rangle \approx e^{-\beta(\epsilon_q - \mu)} \ll 1 + q} \quad (4.32)$$

\Rightarrow Geringe Besetzungszahlen + Niveaus
 + Annäherung an Klassische Maxwell-Boltzmann-Statistik $\langle n_q \rangle = e^{-\beta(E_q - \mu)}$

Zusammenfassung:

	Fermionen	Bosonen
Allgemeine Einschränkungen für Tendlich	keine $(\cancel{\mu \in \mathbb{R}})$	$\mu < \min(E_q)$
Klassischer Grenzfall	$\frac{\mu}{kT} \ll -1$ $\Leftrightarrow z \ll 1$	$\frac{\mu}{kT} \ll -1$ $\Leftrightarrow z \ll 1$
$T \rightarrow 0$	$\mu \rightarrow E_F > 0$	$\mu \rightarrow \min(E_q)$

Für detailliertere Untersuchungen muss man $\sum_q (\dots)$ für das interessierende System auswerten. Dies geht besonders gut im Kontinuumslimit.

4.3 Der Kontinuumslimit

Für große Volumina V liegen die Energieniveaus sehr dicht. $\Rightarrow \sum_q$ kann durch Integrale ausgedrückt werden.
 Unser Hauptbeispiel ist das nicht-relativistische Teilchen mit spin 1/2 im kubischen Kasten ($L_x = L_y = L_z = L$).

Für dieses System gilt:

$$\bullet q = (\vec{v}, m_s) \in N^3 \times \Sigma \quad (\Sigma := \{-s, -s+1, \dots, s-1, s\})$$

$$\bullet \vec{p} = \frac{\hbar r}{L} \vec{v}$$

$$\bullet E_q = E_{\vec{v}} = E(\vec{p}) = E(p) = \frac{\vec{p}^2}{2m} = \frac{p^2}{2m} = \frac{\hbar^2 r^2}{2m L^2} \vec{v}^2 = \frac{\hbar^2 r^2}{2m V^{2/3}} \vec{v}^2$$

(4.33)

\Rightarrow Für Funktionen $\omega = \omega(E_q, \mu, \beta)$ gilt dann:

$$\sum_q \omega(E_q, \mu, \beta) = \underbrace{(2s+1)}_{\text{Entartungsfaktor durch } (2s+1) \text{ Spinpolari-}} \sum_{\vec{v} \in N^3} \omega(E_{\vec{v}}, \mu, \beta) \approx \underbrace{(2s+1)}_{V \text{ groß}} \int_{\mathbb{R}_+^3} d^3 v \omega(E_{\vec{v}}, \mu, \beta)$$

$$d^3 v = \frac{L^3}{(2\pi\hbar)^3} d^3 p$$

\downarrow

$$E(\vec{p}) = E(-\vec{p}) \quad = (2s+1) \int_{\mathbb{R}_+^3} d^3 p \frac{L^3}{(2\pi\hbar)^3} \omega(E(\vec{p}), \mu, \beta)$$

$$\stackrel{\downarrow}{=} (2s+1) \underbrace{\frac{L^3}{(2\pi\hbar)^3}}_{\frac{V}{h^3}} \int_{\mathbb{R}^3} d^3 p \omega(E(\vec{p}), \mu, \beta)$$

$$\stackrel{\downarrow}{=} (2s+1) \frac{V}{h^3} 4\pi \int_0^\infty dp p^2 \omega(E(p), \mu, \beta)$$

$$p = \sqrt{2mE} \quad dP = \frac{1}{2} \sqrt{2m} \frac{1}{\sqrt{E}} dE \stackrel{\cong}{=} (2s+1) \frac{V}{h^3} 4\pi \int_0^\infty \frac{1}{2} (2m)^{3/2} dE \sqrt{E} \omega(E, \mu, \beta)$$

$$\Rightarrow \boxed{\sum_q \omega(E_q, \mu, \beta) = (2s+1) \frac{V}{h^3} 2\pi (2m)^{3/2} \int_0^\infty dE \sqrt{E} \omega(E, \mu, \beta)} \quad (4.34a)$$

Oder mit $x := \beta E \Rightarrow dx = \beta dE$:

$$\sum_q \omega(E_q, \mu, \beta) = (2s+1) \frac{V}{h^3} 2\pi (2m k_B T)^{3/2} \int_0^\infty dx \sqrt{x} \omega\left(\frac{x}{\beta}, \mu, \beta\right)$$

$$\Rightarrow \sum_q w(E_q, \mu, \beta) \underset{V_{\text{Groß}}}{\underset{\nearrow}{\approx}} (2s+1) V \frac{2}{V\pi} \underset{\cancel{\text{...}}}{\frac{1}{\lambda(T)^3}} \int_0^\infty dx \sqrt{x} w\left(\frac{x}{\beta}, \mu, \beta\right)$$

(4.34b)

Achtung: Für Bosonen muß (4.34) im Fall $\mu \rightarrow \min(E_q)$ (also insbes. für tiefe T) bei $x=0$ ($E=\min(E_q)$) modifiziert werden, falls w die mittleren Besetzungszahlen $\langle n_q \rangle$ enthält. → Abschnitt 4.6

Anwendungen von (4.34):

$$\bullet \langle N \rangle = \sum_q \langle n_q \rangle = (2s+1) V \frac{2}{\lambda^3} \int_0^\infty dx \frac{\sqrt{x}}{e^{x z^{-1}} + 1} \quad (4.15)$$

$\left(\begin{array}{l} w = \langle n_q \rangle \\ = \frac{1}{e^{x z^{-1}} + 1} \quad (z = e^{\beta \mu}) \end{array} \right)$

$$\Rightarrow \frac{\langle N \rangle}{V} = \frac{(2s+1)}{\lambda^3} \cdot \begin{cases} g_{3/2}(z) & (\text{Bosonen}) \\ f_{3/2}(z) & (\text{Fermionen}) \end{cases} \quad (4.35)$$

wobei

$$\left. \begin{array}{l} g_{\alpha}(z) \\ f_{\alpha}(z) \end{array} \right\} := \frac{1}{\Gamma(\alpha)} \int_0^\infty dx \frac{x^{\alpha-1}}{e^x z^{-1} + 1}$$

(4.36)

$$(\Gamma(\frac{1}{2}) = \sqrt{\pi}, \Gamma(\frac{3}{2}) = \frac{\sqrt{\pi}}{2}, \Gamma(\frac{5}{2}) = \frac{3}{4} \sqrt{\pi}, \dots)$$

VERTRETUNG: Matthias Butenschön

WIEDERHOLUNG:

Besetzungszahlen System unterschiedbarer Bosonen/Fermionen in großkan. V.:

$$\boxed{\langle n_q \rangle = \frac{1}{e^{\beta(\epsilon_q - \mu)} + 1}} \quad (4.14)$$

Summe über Energiezustände q eines nicht-rel. Teilchens mit Spin S im Kasten mit Volumen V (Modell für idealos Gas):

$$\begin{aligned} \sum_q w(\epsilon_q, \mu, \beta) &= (2S+1) \frac{V}{h^3} \int d^3 p \, w\left(\frac{\vec{p}^2}{2m}, \mu, \beta\right) \\ &= (2S+1) \frac{2V}{h^3} \underbrace{\left(\frac{2\pi m}{h^2 \beta}\right)^{3/2}}_{\equiv \frac{1}{\lambda^3}} \int_0^\infty dx \sqrt{x} \, w\left(\frac{x}{\beta}, \mu, \beta\right) \end{aligned} \quad (4.34)$$

Deshalb für Bosonen-/Fermiengas:

$$\boxed{\frac{\langle N \rangle}{V} = \frac{1}{V} \sum_q \langle n_q \rangle = (2S+1) \left(\frac{2\pi m}{h^2 \beta}\right)^{3/2} \begin{cases} g_{3/2}(e^{\beta \mu}) & \leftarrow \text{Bosonen} \\ f_{3/2}(e^{\beta \mu}) & \leftarrow \text{Fermionen} \end{cases}} \quad (4.35)$$

$$\text{mit } \begin{cases} g_\alpha(z) \\ f_\alpha(z) \end{cases} := \frac{1}{\Gamma(\alpha)} \int_0^\infty dx \frac{x^{\alpha-1}}{e^x z^{-1} + 1} \quad (4.36)$$

WEITER IM TEXT:

$$\begin{aligned} \text{Gesamtenergie } \langle E \rangle &= \sum_q \epsilon_q \langle n_q \rangle \stackrel{(4.34)}{=} (2S+1) \frac{2V}{h^3} \left(\frac{2\pi m}{h^2 \beta}\right)^{3/2} \underbrace{\int_0^\infty dx \sqrt{x} \frac{x}{\beta} \frac{1}{e^x e^{-\beta \mu} + 1}}_{= \frac{1}{\beta} \Gamma(\frac{5}{2}) \begin{cases} g_{5/2}(e^{\beta \mu}) \\ f_{5/2}(e^{\beta \mu}) \end{cases}} \\ &= (2S+1) \frac{3V}{2\beta} \left(\frac{2\pi m}{h^2 \beta}\right)^{3/2} \begin{cases} g_{5/2}(e^{\beta \mu}) \\ f_{5/2}(e^{\beta \mu}) \end{cases} \end{aligned} \quad (4.37)$$

Für Druck P können wir $P = -\frac{\partial \phi}{\partial V}|_{\mu, \beta}$ mit $\phi = -\frac{1}{\beta} \ln Z$ verwenden. Aber in (4.20) für Quantengase bereits $PV = \frac{2}{3} \langle E \rangle$ gezeigt. Also:

$$P = (2S+1) \frac{1}{\beta} \left(\frac{2\pi m}{h^2 \beta}\right)^{3/2} \begin{cases} g_{5/2}(e^{\beta \mu}) \\ f_{5/2}(e^{\beta \mu}) \end{cases} \quad (4.38)$$

Allgemeine Definition großskal. Potential (3.9): $\phi = E - TS - \mu N$

Homogene Systeme (Ende von Vorlesung 15): $\phi = -PV$

\Rightarrow Entropie $S = \frac{1}{T}(PV + E - \mu N) = k/B(PV + E - \mu N)$

$$= (2S+1) \left(\frac{2\pi m}{h^2 B} \right)^{3/2} V k \left[\frac{5}{2} \left\{ g_{5/2}(e^{\beta m}) \right\} - \mu N \left\{ f_{3/2}(e^{\beta m}) \right\} \right] \quad (4.39)$$

Es gilt also $N = VT^{5/2} a(\beta_m)$, $P = T^{5/2} b(\beta_m)$, $S = VT^{3/2} c(\beta_m)$. Hieraus folgt die Adiabatengleichung: N und S const. $\Rightarrow \frac{N}{S} = \frac{a(\beta_m)}{c(\beta_m)} \Rightarrow \beta_m$ const.

Daher: $PT^{-5/2}$ const, $VT^{3/2}$ const $\Rightarrow \underline{PV^{5/2}}$ const. $\quad (4.40)$
(Identisch mit klassischem Grenzfall!)

Für weitere thermodynamische Anwendungen müssen wir jedoch $\frac{N}{V}$ (4.35) nach μ auflösen und dann in (4.37), (4.38), (4.39) einsetzen, um E, P und S als Funktion von N statt μ zu erhalten. Dies geht analytisch aber nur in speziellen Grenzfällen, wie in den folgenden Fällen.

4.4. Der klassische Grenzfall

Betrachte Limes $z \equiv e^{\beta m} \ll 1$:

$$\frac{N}{V} = (2S+1) \left(\frac{2\pi m}{h^2 B} \right)^{3/2} \left\{ \begin{array}{l} g_{5/2}(z) \\ f_{3/2}(z) \end{array} \right\} = (2S+1) \left(\frac{2\pi m}{h^2 B} \right)^{3/2} \left[z \pm \frac{z^2}{2^{3/2}} + O(z^3) \right]$$

$\sum_{k=1}^{\infty} \frac{(z \pm 1)^{k+1} z^k}{k^{3/2}}$

Limes $z \rightarrow 0$ also identisch mit Limes $\frac{N}{T^{3/2} V} \rightarrow 0$: * kleine Dichten bei T konstant
→ ist klassischer Grenzfall.
* große Temperaturen bei $\frac{N}{V}$ konstant

Jetzt iterativ nach z auflösen:

$$\begin{aligned} z &= \frac{1}{2S+1} \left(\frac{h^2 B}{2\pi m} \right)^{3/2} \frac{N}{V} \mp \frac{z^2}{2^{3/2}} + O(z^3) \\ &= \frac{1}{2S+1} \left(\frac{h^2 B}{2\pi m} \right)^{3/2} \frac{N}{V} \left[1 \mp \frac{1}{2^{3/2}} \frac{1}{2S+1} \left(\frac{h^2 B}{2\pi m} \right)^{3/2} \frac{N}{V} + O\left(\frac{NR^{3/2}}{V}\right) \right] \end{aligned} \quad (4.41)$$

Damit innere Energie und Zustandsgleichung:

$$E = (2s+1) \frac{3V}{2\beta} \left(\frac{2\pi m}{h^2 \beta} \right)^{3/2} \underbrace{\sum_{f_{512}(z)} g_{512}(z)}_{= \sum_{k=1}^{\infty} \frac{(-1)^{k+1} z^k}{k^{5/2}}} = \frac{3}{2} \frac{N}{V} \left[1 + \left(\frac{1}{2s+1} + \frac{1}{2^{5/2}} \right) \frac{1}{2s+1} \left(\frac{h^2 \beta}{2\pi m} \right)^{3/2} \frac{N}{V} + O\left(\left(\frac{N}{V}\right)^2\right) \right]$$

$$= \sum_{k=1}^{\infty} \frac{(-1)^{k+1} z^k}{k^{5/2}} = z - \frac{z^2}{2^{5/2}} + O(z^3) = z \left(1 - \frac{z}{2^{5/2}} + O(z^2) \right)$$

$$\underline{\underline{= \frac{3}{2} N k T \left[1 + \frac{1}{2^{5/2}} \frac{1}{2s+1} \left(\frac{h^2}{2\pi m k T} \right)^{3/2} \frac{N}{V} + O\left(\left(\frac{N}{V}\right)^2\right) \right]}} \quad (4.42)$$

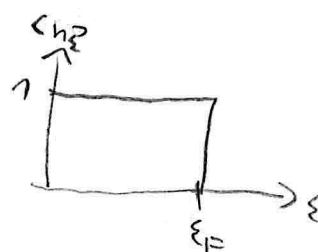
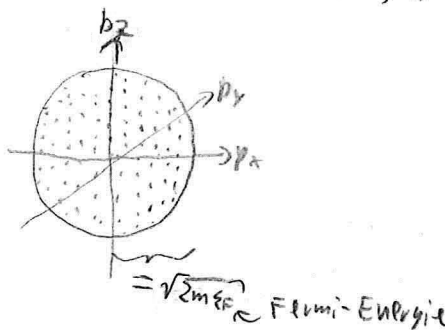
$$\underline{\underline{P V = \frac{2}{3} E = N k T \left[1 + \frac{1}{2^{5/2}} \frac{1}{2s+1} \left(\frac{h^2}{2\pi m k T} \right)^{3/2} \frac{N}{V} + O\left(\left(\frac{N}{V}\right)^2\right) \right]}} \quad (4.43)$$

Die sog. „Austauschkorrekturen“ bewirken also eine Verringerung / Erhöhung des Drucks bei Bosonen / Fermionen. (Ausschließlich wegen Tendenz zur Kondensatbildung bei Bosonen, Abstoßung bei Fermionen.)

4.5 Fermigase bei niedrigen Temperaturen

4.5.1. Fermigas bei $T=0$:

$T=0$: Grundzustand: Fermikugel im Impulsraum:



Zustandsdichte im Impulsraum (siehe z.B. (4.33)): $\frac{\Delta N}{\Delta V_p} = (2s+1) \frac{V}{h^3}$

$$\Rightarrow N = (2s+1) \frac{V}{h^3} \int_{|\vec{p}| < \sqrt{2m \epsilon_F}} d^3 p = (2s+1) \frac{V}{h^3} \frac{4}{3} \pi (2m \epsilon_F)^{3/2}$$

$$\Rightarrow \underline{\underline{\epsilon_F = \frac{h^2}{2m} \left(\frac{3N}{4\pi V (2s+1)} \right)^{2/3}}} \quad (4.44)$$

$$\text{Gesamtenergie } E = (2s+1) \frac{V}{h^3} \int_{|\vec{p}| < \sqrt{2m \epsilon_F}} \frac{p^2}{2m} d^3 p = (2s+1) \frac{V}{2m h^3} 4\pi \int_0^{\sqrt{2m \epsilon_F}} p^4 dp$$

$$= (2s+1) \frac{V}{h^3} \frac{4\pi}{2m} \frac{1}{5} (2m \epsilon_F)^{5/2} = \underline{\underline{\frac{h^2}{2m} \left(\frac{1}{4\pi V (2s+1)} \right)^{3/2} \frac{(3N)^{5/2}}{5}}} \quad (4.45)$$

Auch: $\underline{\underline{E = \frac{3}{5} N \epsilon_F}}$

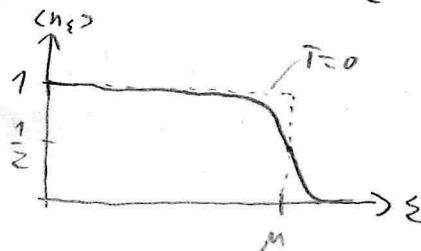
$$\text{Druck } P = \frac{2E}{3V} = \frac{\hbar^2}{5m} \left(\frac{3}{4\pi(2S+1)} \right)^{3/2} (\bar{v})^{5/2} \quad (4.47)$$

→ Selbst Grundzustand hat nicht verschwindende Energie und Druck („Fermi-Gas ist immer in Bewegung“). Fermi-Druck verhindert bei Neutronensterben und weißen Zwergen den Gravitationskollaps anstelle des Strahlungsdrucks bei „lebenden“ Sternen.

4.5.2. Fermigas bei $T \rightarrow 0$: („Grenzfall starker Entartung“)

Besetzung eines Zustands mit Energie ϵ : $\langle n_\epsilon \rangle = \frac{1}{e^{(\epsilon - \mu)/kT} + 1}$ (4.74)

Verlauf für kleine T :



⇒ Abweichungen von Stufenfunktion nur bei $|\epsilon - \mu| \approx kT$

Wir entwickeln nun den Ausdruck (4.35) für $\frac{1}{V}$ in T , damit wir dann für kleine Temperaturen M als Funktion von T, V und N erhalten:

$$\frac{N}{V} = (2S+1) \left(\frac{2\pi m}{\hbar^2 \beta} \right)^{3/2} \frac{2}{\sqrt{\pi}} \underbrace{\int_0^\infty \frac{d\epsilon \sqrt{\epsilon}}{e^{(\epsilon - \mu)/kT} + 1}}_{\beta^{-3/2}} = \frac{3N}{2V} \epsilon_F^{-3/2} \int_0^\infty \frac{d\epsilon \sqrt{\epsilon}}{e^{(\epsilon - \mu)/kT} + 1}$$

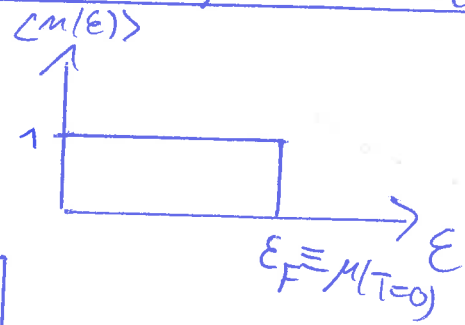
$$= \beta^{3/2} \int_0^\infty \frac{d\epsilon \sqrt{\epsilon}}{e^{(\epsilon - \mu)/kT} + 1}$$

Wegen $\int_0^\infty \frac{d\epsilon f(\epsilon)}{e^{(\epsilon - \mu)/kT} + 1} = \int_0^\mu d\epsilon f(\epsilon) + \frac{\pi^2}{6} (kT)^2 f'(\mu) + o(T^4)$ (Beweis z.B. Schrod.) (4.48)

$$\begin{aligned} \text{erhalten wir: } 1 &= \frac{3}{2} \epsilon_F^{-3/2} \left[\underbrace{\int_0^\mu d\epsilon \sqrt{\epsilon}}_{=\frac{2}{3} M^{3/2}} + \frac{\pi^2}{6} (kT)^2 \left(\frac{1}{2} M^{-1/2} \right) + o(T^4) \right] \\ &= \left(\frac{M}{\epsilon_F} \right)^{3/2} \left[1 + \frac{\pi^2}{8} \left(\frac{kT}{M} \right)^2 + o(T^4) \right] \end{aligned}$$

$$\begin{aligned} \Rightarrow M &= \frac{\epsilon_F}{\left[1 + \frac{\pi^2}{8} \left(\frac{kT}{M} \right)^2 + o(T^4) \right]^{2/3}} = \epsilon_F \left[1 - \frac{\pi^2}{72} \left(\frac{kT}{M} \right)^2 + o(T^4) \right] \\ &= \underline{\underline{\epsilon_F \left[1 - \frac{\pi^2}{72} \left(\frac{kT}{\epsilon_F} \right)^2 + o(T^4) \right]}} \quad (4.49) \end{aligned}$$

→ $M(T=0) = \epsilon_F$, wie es sein sollte.

Letztes Mal:4.5 Fermigase bei niedrigen Temperaturen4.5.1 Fermigas bei $T=0$ 

$$\epsilon_F = \frac{\hbar^2}{2m} \left(\frac{3}{4\pi(2s+1)} \right)^{\frac{2}{3}} \left(\frac{\langle N \rangle}{V} \right)^{\frac{2}{3}}$$

~~(4.44a)~~ (4.44a)

$$\left(\Leftrightarrow \frac{\langle N \rangle}{V} = \frac{2}{3} A \epsilon_F^{3/2} \right) \quad (4.44b)$$

$$\text{mit } A := \frac{(2s+1)}{\hbar^3} 2\pi(2m)^{3/2} \quad (4.44c)$$

$\left(\epsilon_F = \text{"Fermi-Energie"} \right)$

$$\left. \langle E \rangle \Big|_{T=0} = \frac{\hbar^2}{2m} \left(\frac{1}{4\pi(2s+1)V} \right)^{\frac{2}{3}} \left(\frac{3N}{5} \right)^{5/3} \right) \quad (4.45)$$

$$= \frac{3}{5} \langle N \rangle \epsilon_F$$

schreibFehler
beim letzten Mal!

(4.46)

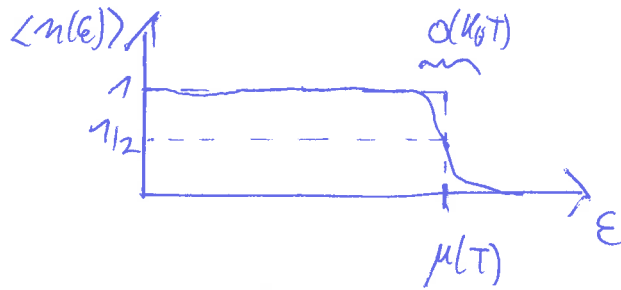
(Gesamtenergie bei $T=0$)

$$\Rightarrow P \Big|_{T=0} = \frac{2}{3} \frac{\langle E \rangle}{V} \Big|_{T=0} = \frac{\hbar^2}{5m} \left(\frac{3}{4\pi(2s+1)} \right)^{\frac{2}{3}} \left(\frac{\langle N \rangle}{V} \right)^{5/3}$$

schreibFehler
beim letzten Mal!

(4.47)

4.5.2 Fermi-Gas nahe T=0



Mit:

$$\int_0^{\infty} d\epsilon f(\epsilon) n(\epsilon) = \int_0^{\mu} d\epsilon f(\epsilon) + f'(\mu) \frac{n^2}{6} (K_B T)^2 + O(T^4) \quad (4.48)$$

ergibt sich:

$$\mu(T) = E_F \left[1 - \frac{n^2}{12} \left(\frac{K_B T}{E_F} \right)^2 + O(T^4) \right] \quad (4.49)$$

Gesamtenergie:

$$\langle E \rangle = \sum_q \epsilon_q \langle n_q \rangle \stackrel{(4.34a)}{=} \underbrace{\frac{(2s+1)}{h^3} 2\pi (2m)^{3/2}}_{=A} V \int_0^{\mu} d\epsilon \underbrace{\epsilon^{3/2} n(\epsilon)}_{f(\epsilon)}$$

$$\stackrel{(4.48)}{=} A V \left[\underbrace{\int_0^{\mu} d\epsilon \epsilon^{3/2}}_{\frac{2}{5} \mu^{5/2}} + \frac{3}{2} \mu^{1/2} \frac{\pi^2}{6} (K_B T)^2 + O(T^4) \right]$$

$$= \frac{2}{5} A V \mu^{5/2} \left[1 + \frac{5}{8} \pi^2 \left(\frac{K_B T}{\mu} \right)^2 + O(T^4) \right]$$

$$\stackrel{(4.49)}{=} \frac{2}{5} A V \left[\underbrace{E_F \left(1 - \frac{n^2}{12} \left(\frac{K_B T}{E_F} \right)^2 + O(T^4) \right)^{5/2}}_{\approx 1 - \frac{5}{2} \cdot \frac{\pi^2}{72} \left(\frac{K_B T}{E_F} \right)^2} \right] \left[1 + \frac{5}{8} \pi^2 \left(\frac{K_B T}{E_F} \right)^2 + O(T^4) \right] \quad (\text{siehe (4.49)})$$

$$= \frac{2}{5} A V E_F^{5/2} \left(1 + \underbrace{\left(\frac{5}{8} - \frac{5}{24} \right) n^2 \left(\frac{K_B T}{E_F} \right)^2}_{S^{5/2}} + O(T^4) \right)$$

$$\Rightarrow \boxed{\langle E \rangle = \frac{2}{5} A V \epsilon_F^{5/2} \left(1 + \frac{s}{12} n^2 \left(\frac{k_B T}{\epsilon_F} \right)^2 + O(T^4) \right)} \quad (4.50)$$

oder, mit (4.44b): ($\langle n \rangle = \frac{2}{3} A V \epsilon_F^{3/2}$)

$$\boxed{\langle E \rangle \left(= \frac{3}{2} PV \right) = \frac{3}{5} \langle n \rangle \epsilon_F \left[1 + \frac{s}{12} n^2 \left(\frac{k_B T}{\epsilon_F} \right)^2 + O(T^4) \right]} \quad (4.51)$$

$$\Rightarrow C_V = \left(\frac{\partial E}{\partial T} \right)_{V,N} \stackrel{(4.51)}{=} \frac{1}{2} n^2 \langle n \rangle \epsilon_F \frac{k_B^2 T}{\epsilon_F^2} + O(T^3)$$

$$= \frac{n^2}{2} \langle n \rangle k_B \left(\frac{k_B T}{\epsilon_F} \right) + O(T^3)$$

$$\Rightarrow \boxed{C_V = \frac{n^2}{2} \langle n \rangle k_B \left(\frac{T}{T_F} \right) + O\left(\frac{T}{T_F}\right)^3} \quad (4.52)$$

mit

$$\boxed{T_F := \frac{\epsilon_F}{k_B}} \quad (4.53)$$

("Fermi-Temperatur")

Bemerkung:

Das Elektronengas in Metallen ($T_F \gtrsim 10^4 K$) ist ^{bereits} bei Raumtemperatur stark entartet. Gesamtwärmekapazität von Metallen bei Kleinem T:

$$\frac{C_V}{\langle n \rangle} \approx \underbrace{RT}_{\text{Elektronengas (siehe oben)}} + \underbrace{DT^3}_{\substack{\text{Gitterschwingungen} \\ (\text{Für kleine } T)}}$$

4.6 Bose-Einstein-Kondensation

4

Fokus jetzt:

Tieftemperaturverhalten eines idealen
Bosegases mit

(i) nicht-relativistischen Teilchen

$$\Rightarrow E(\vec{p}) = \frac{\vec{p}^2}{2m}$$

(ii) Spin $S=0$ $\Rightarrow (2S+1) = 1$

(nur zur Vereinfachung)

(iii) $\min(E_q) = 0$ $\Rightarrow \mu < 0$ Für Tendlich
 $\Leftrightarrow z < 1$ (siehe Abschnitt 4.2)

Bezeichne q_0 den Einteilchengrundzustand

(also $E_{q_0} = \min(E_q) = 0$)

\Rightarrow Für $T \rightarrow 0$ gilt (siehe Diskussion in 4.2):

$$\langle n_q \rangle \downarrow 0 \quad \forall q \neq q_0$$

$$\begin{aligned} \langle N \rangle &= \sum_q \langle n_q \rangle \\ &\stackrel{q \neq q_0}{\Rightarrow} \langle n_{q_0} \rangle \nearrow \langle N \rangle \end{aligned}$$

$$\Leftrightarrow \langle n_{q_0} \rangle \stackrel{E_{q_0}=0}{=} \frac{1}{e^{-\frac{\mu}{k_B T}} - 1} = \frac{1}{z^{-1} - 1} = \frac{z}{z-1} \nearrow \langle N \rangle$$

$$\Leftrightarrow z \nearrow \frac{\langle N \rangle}{\langle N \rangle + 1} \underset{\langle N \rangle \gg 1}{\approx} 1 \quad \Rightarrow \frac{\mu}{k_B T} \nearrow 0 \quad (\Rightarrow \mu \nearrow 0)$$

Also (Für $N \gg 1$):

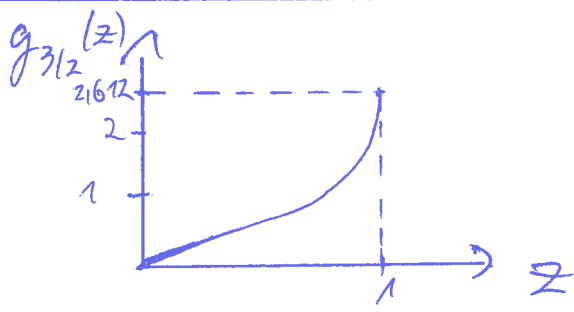
$$T \downarrow 0 \Rightarrow z \nearrow 1 \Leftrightarrow \frac{\mu}{k_B T} \nearrow 0 \quad [4.54)$$

Problem: Der naive Kontinuumslimites (Abschnitt 4.3)
Führt im Tieftemperaturlimites
 $z \nearrow 1$ zu unsinnigen Aussagen.

Z.B. (Vgl. (4.35)):

$$\frac{\langle N \rangle}{V} \lambda^3 = g_{3/2}(z) \equiv \frac{2}{\sqrt{\pi}} \int_0^\infty dx \frac{x^{3/2}}{e^{xz-1}} = \sum_{k=1}^{\infty} \frac{z^k}{k^{3/2}}$$

Schematischer Verlauf von $g_{3/2}(z)$:



$$\Rightarrow \underbrace{\frac{\langle N \rangle}{V} \lambda^3}_{\propto \frac{\langle N \rangle}{V T^{3/2}}} \leq g_{3/2}(1) = \xi\left(\frac{3}{2}\right) \approx 2.612$$

$$\Rightarrow \frac{\langle N \rangle}{V T^{3/2}} \text{ scheint nach oben beschränkt}$$

In besondere: $\frac{\langle N \rangle}{V} \xrightarrow{T \rightarrow 0} 0$ für $z \rightarrow 1$

Wurzel des Problems:

$$\langle n_{q_0} \rangle = \frac{z}{1-z} \text{ divergiert für } z \rightarrow 1$$

$\Rightarrow \langle n_{q_0} \rangle$ muss vor dem Kontinuums-limes absepariert werden:

$$\langle N \rangle = \sum_q \langle n_q \rangle = \langle n_{q_0} \rangle + \sum_{q \neq q_0} \langle n_q \rangle$$

$$(4.34a) \quad = \frac{z}{1-z} + \underbrace{\frac{V}{h^3} 2\pi (2m)^{3/2} \int_0^\infty dE \sqrt{E} n(E)}_{\begin{array}{l} \langle n_{q_0} \rangle := N_0 \\ (\# \text{ der Teilchen im Grundzustand}) \end{array}}$$

$$\sum_{q \neq q_0} \langle n_q \rangle =: N' \quad \begin{array}{l} (\# \text{ der Teilchen über dem Grundzustand}) \end{array}$$

$$(4.34b) \quad = \frac{z}{1-z} + \frac{V}{\lambda^3} \frac{2}{15\pi} \int_0^\infty dx \sqrt{x} \frac{1}{e^{x/z-1}}$$

$$\Rightarrow \boxed{\frac{\langle N \rangle}{V} = \frac{1}{V} \frac{z}{1-z} + \frac{1}{\lambda^3} \underbrace{g_{3/2}(z)}_{N'/V}} \quad (4.55)$$

Bemerkung:

Die untere Integralgrenze müsste streng genommen $E_{q_1} := \min(E_q)|_{q \neq q_0}$ (also die Energie des ersten angeregten Zustands) sein.

Aber: $\lim_{V \rightarrow \infty} E_{q_1} = 0$ & $\lim_{E \rightarrow 0} (\sqrt{E} n(E)) = 0$
 $\Rightarrow \int_{E_{q_1}}^\infty dE (\dots) \approx \int_0^\infty dE (\dots)$

Letztes Mal:

4.6 Bose-Einstein-Kondensation

Annahmen:

$$\epsilon(\vec{p}) = \frac{\vec{p}^2}{2m}, \quad s=0, \quad \epsilon_{q_0} \equiv \min(\epsilon_q) = 0$$



$$\mu < 0 \Leftrightarrow z \equiv e^{\frac{\mu}{k_B T}} < 1$$

Für endliche $T \neq \underline{N}$

Für $T \downarrow 0$ gilt:

$$(i) n_q \downarrow 0 \quad \forall q \neq q_0$$

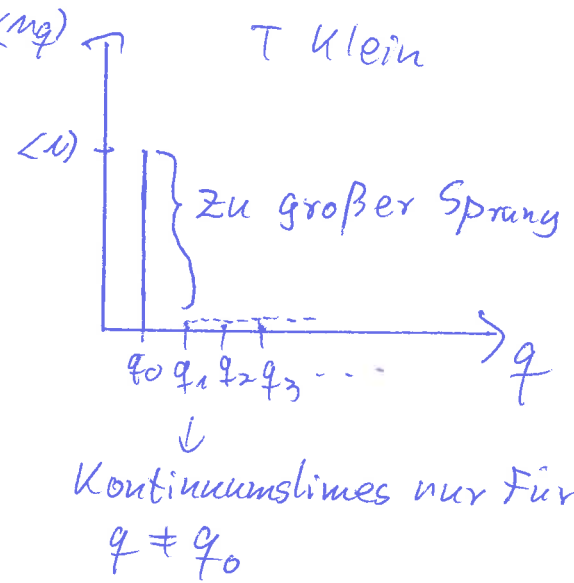
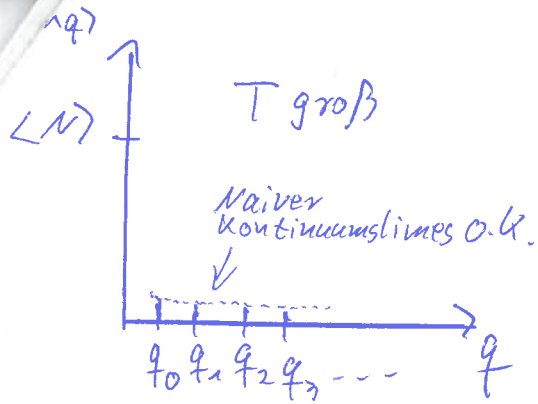
$$(ii) n_{q_0} \nearrow \underline{N}$$

$$(iii) z \nearrow 1 \Leftrightarrow \frac{\mu}{k_B T} \nearrow 0 \Rightarrow \mu \nearrow 0$$

$$\text{(Genauer: } z \nearrow \frac{\underline{N}}{\underline{N}+1} = 1 - \frac{1}{\underline{N}} + O\left(\frac{1}{\underline{N}}\right)^2)$$

Problem:

(i)+(ii) \Rightarrow Unterhalb einer gewissen Temperatur sollte der naive Kontinuumslimit aus Abschnitt 4.3 zusammenbrechen, da der Sprung zwischen $\langle n_{q_0} \rangle$ und $\langle n_q \rangle|_{q \neq q_0}$ zu groß wird:



⇒ Abseparieren von q_0 & Kontinuumslimes ^{nur} für $q \neq q_0$

~~Insgesamt~~ Insbesondere:

$$\begin{aligned} \langle N \rangle &= \sum_q \langle n_q \rangle = \langle n_{q_0} \rangle + \sum_{q \neq q_0} \langle n_q \rangle \\ &= \underbrace{\frac{z}{1-z}}_{=: N_0} + \underbrace{\frac{V}{\lambda^3} g_{3/2}(z)}_{=: N^1} \end{aligned}$$

(4.55)

N_0 : (mittlere) Zahl der Teilchen im Grundzustand
 N^1 : " " " " " in den angeregten Zuständen

Vergleich mit naivem Kontinuumslimes:

$$\boxed{\langle N \rangle = \frac{V}{\lambda^3} g_{3/2}(z)} \quad (4.35)$$

(Naiver Kontinuumslimes)

Frage: Wann muss (4.35) durch (4.55) ersetzt werden?

Def.:

$$\rho := \frac{N}{V} \quad (4.56)$$

(Teilchendichte)

Beobachtung:

Für Festes ρ kann (4.35) bestenfalls oberhalb einer Mindesttemperatur $T_c^{(S)}$ gelten:

$$\rho \lambda_{(T)}^3 = \rho \left(\frac{\hbar}{\sqrt{2\pi m k_B T}} \right)^3 \stackrel{(4.35)}{=} g_{3/2}(z) \leq g_{3/2}(1)$$

 $0 < z \leq 1$ $g_{3/2}(z)$ ist monoton

$$\Rightarrow T \geq T_c^{(S)} := \frac{\hbar^2}{(2\pi m k_B)} \left(\frac{\rho}{2,612} \right)^{2/3} \quad (4.57a)$$

\Downarrow

$$\rho \lambda^3(T_c) := g_{3/2}(1) \approx 2,612 \quad (4.57b)$$

\Rightarrow Spätestens unterhalb von $T_c^{(S)}$ sollte (4.55) benutzt werden.

Behauptung: Für

$$\begin{cases} V, N \rightarrow \infty \\ \rho \text{ fest} \end{cases}$$

gilt sogar:

$$\begin{cases} (4.35) \text{ für } T > T_c \\ (4.55) \text{ für } T < T_c \end{cases} \quad (4.58)$$

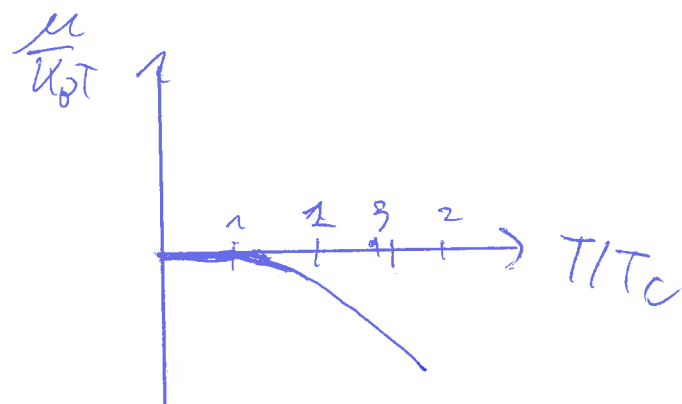
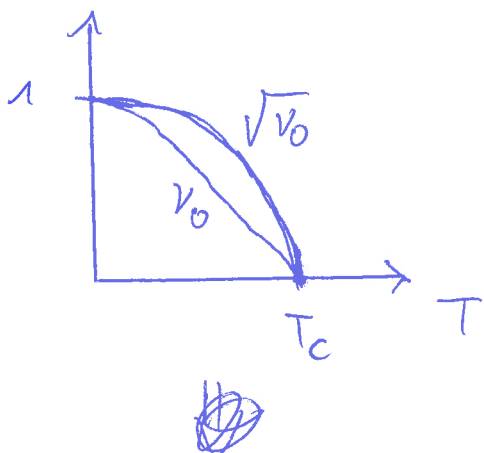
und

$$v_0 := \lim_{\substack{V, N \rightarrow \infty \\ S \text{ fest}}} \left(\frac{n_0}{N} \right) = \begin{cases} 0 & \text{Für } T > T_c(S) \\ 1 - \left(\frac{T}{T_c} \right)^{3/2} & \text{Für } T < T_c(S) \end{cases}$$

(4.59)

sowie

$$\begin{cases} 0 < z < 1 & \text{Für } T > T_c(S) \\ z = 1 & \text{Für } T < T_c(S) \end{cases} \quad (4.60)$$



- ⇒ Unterhalb von $T = T_c(S)$ ist der Grundzustand makroskopisch besetzt und das Hinzufügen von Teilchen kostet Keine Energie, da diese nur in den Grundzustand kommen können.
- "Bose-Einstein-Kondensation"

Beweis:

5

Es ist:

$$\lambda^3(T) = \lambda^3(T_c) \left(\frac{T_c}{T}\right)^{3/2} \stackrel{(4.57b)}{=} \frac{g_{3/2}(1)}{S} \left(\frac{T_c}{T}\right)^{3/2} = \frac{V}{\langle N \rangle} g_{3/2}(1) \left(\frac{T_c}{T}\right)^{3/2}$$

$\lambda^3 \propto T^{-3/2}$

$$\Rightarrow \boxed{\langle N \rangle = \underbrace{\frac{z}{1-z}}_{N_0} + \langle N \rangle \left(\frac{T}{T_c(S)}\right)^{3/2} \underbrace{\frac{g_{3/2}(z)}{g_{3/2}(1)}}_{N^1} \quad (4.61)}$$

Fall 1: $T > T_c(S)$

Zu zeigen:

$$(i) \quad (4.35) \Leftrightarrow \lim_{\substack{\langle N \rangle, V \rightarrow \infty \\ S \text{ fest}}} \frac{\langle N \rangle}{V} = \langle N \rangle \left(\frac{T}{T_c(S)}\right)^{3/2} \frac{g_{3/2}(z)}{g_{3/2}(1)}$$

$$\Leftrightarrow \lim_{\substack{\langle N \rangle, V \rightarrow \infty \\ S \text{ fest}}} \frac{1}{V} \underbrace{\frac{z}{1-z}}_{N_0} = 0$$

$$(ii) \quad N_0 = \lim_{\substack{\langle N \rangle, V \rightarrow \infty \\ S \text{ fest}}} \frac{N_0}{\langle N \rangle} = 0$$

$$(iii) \quad (\lim_{\substack{\langle N \rangle, V \rightarrow \infty \\ T, S \text{ fest}}} z < 1)$$

~~Es reicht~~ Es genügt (iii) zu zeigen, denn

$$(iii) \Rightarrow (ii) \Rightarrow (i)$$

$$N_0 = \frac{z}{1-z} \quad \frac{N_0}{\langle N \rangle} = \frac{N_0}{V S}$$

Zu (iii):

$$(4.61) \Rightarrow N^l = \langle N \rangle \left(\frac{T}{T_c(s)} \right)^{3/2} \underbrace{\frac{g_{3/2}(z)}{g_{3/2}(1)}}_{>1} \stackrel{!}{\leq} \langle N \rangle$$

$$\Rightarrow \frac{g_{3/2}(z)}{g_{3/2}(1)} \leq \left(\frac{T_c(s)}{T} \right)^{3/2} < 1$$

$$\Rightarrow z \leq g_{3/2}^{-1} \left[g_{3/2}(1) \left(\frac{T_c(s)}{T} \right)^{3/2} \right] < 1$$

Monotonie von $g_{3/2}(z)$
auf $[0,1]$

(4.62)

$$\Rightarrow \boxed{\lim_{\langle N \rangle, V \rightarrow \infty} z < 1} \quad \text{S, T Fest} \quad \Leftrightarrow (\text{iii})$$

(4.63)

Fall 2: $T < T_c(s)$:

Zu zeigen:

$$(i) r_0 \equiv \lim_{\substack{\langle N \rangle, V \rightarrow \infty \\ s \text{ Fest}}} \frac{N_0}{\langle N \rangle} = 1 - \left(\frac{T}{T_c(s)} \right)^{3/2}$$

$$(ii) \lim_{\substack{V, \langle N \rangle \rightarrow \infty \\ s, T \text{ Fest}}} z = 1$$

(Dass (4.55) gilt, ist ja unser Startpunkt,
braucht also nicht gezeigt zu werden,
(Anders als im Fall 1, wo (4.35) zu zeigen war))

$$(4.61) \Rightarrow N' = \langle N \rangle \left(\frac{T}{T_c(S)} \right)^{3/2} \underbrace{\frac{g_{3/2}(z)}{g_{3/2}(1)}}_{\leq 1}$$

7

$$\Rightarrow N' \begin{cases} = \langle N \rangle \left(\frac{T}{T_c(S)} \right)^{3/2} & \text{Für } z=1 \\ < \langle N \rangle \left(\frac{T}{T_c(S)} \right)^{3/2} & \text{Für } z < 1 \end{cases}$$

$$\Rightarrow N' \leq \langle N \rangle \left(\frac{T}{T_c(S)} \right)^{3/2}$$

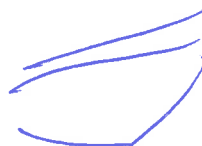
$$\Rightarrow N_0 = \langle N \rangle - N' \geq \langle N \rangle - \langle N \rangle \left(\frac{T}{T_c} \right)^{3/2} = \langle N \rangle \left(1 - \left(\frac{T}{T_c} \right)^{3/2} \right) \underbrace{f(S, T)}$$

$$\Rightarrow \frac{z}{1-z} = N_0 \geq \langle N \rangle f(S, T) \xrightarrow[T, S \text{ fest}]{} \infty$$

$$\Rightarrow \lim_{\substack{\langle N \rangle, V \rightarrow \infty \\ S, T \text{ fest}}} \frac{z}{1-z} = 1 \quad \underline{\Rightarrow \text{(ii)}}$$

$$\circlearrowleft \lim_{\substack{\langle N \rangle, V \rightarrow \infty \\ S, T \text{ fest}}} N' = \langle N \rangle \left(\frac{T}{T_c(S)} \right)^{3/2}$$

$$\Rightarrow \gamma_0 = \lim_{\substack{\langle N \rangle, V \rightarrow \infty \\ S, T, \text{ fest}}} \frac{N_0}{\langle N \rangle} = 1 - \left(\frac{T}{T_c(S)} \right)^{3/2} \underline{\Rightarrow \text{(i)}}$$



Gesamtenergie, Druck, großkanonisches Potential:

$$\langle E \rangle = \frac{3}{2} PV = -\frac{3}{2} \phi = \sum_q \epsilon_q \langle n_q \rangle = \sum_{q=0}^{q_0} \epsilon_q \langle n_{q0} \rangle + \sum_{q \neq q_0} \epsilon_q \langle n_q \rangle$$

wie beim
naiven
Kontinuumslin-

(4.37)

$$\Rightarrow \langle E \rangle = \frac{3}{2} PV = -\frac{3}{2} \phi = \frac{3}{2} \frac{V}{\lambda^3(T)} K_B T \begin{cases} g_{5/2}(z) & (T > T_c) \\ g_{5/2}(1) \approx 1,342 & (T < T_c) \end{cases}$$

(4.64)

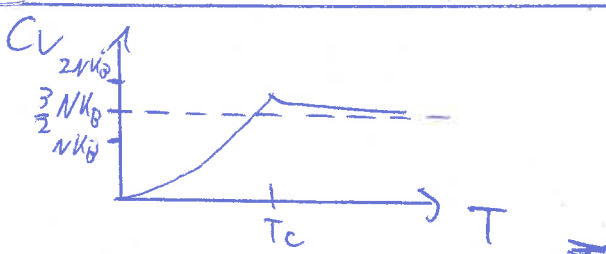
→ Entropie (Üblatt 12):

$$S = \begin{cases} \langle N \rangle K_B \left[\frac{5}{2} \frac{V}{\lambda^3} g_{5/2}(z) - \ln(z) \right] & (T > T_c) \\ \langle N \rangle K_B \left[\frac{5}{2} \frac{g_{5/2}(1)}{g_{3/2}(1)} \left(\frac{T}{T_c} \right)^{3/2} \right] & (T < T_c) \end{cases}$$

(4.65)

→ Wärmekapazität bei Konstantem Volumen:

$$C_V = T \left(\frac{\partial S}{\partial T} \right)_{N,V} = N K_B \begin{cases} \frac{15}{4} \frac{V}{\lambda^3} g_{5/2}(z) - \frac{9}{2} \frac{g_{3/2}(z)}{g_{5/2}(z)} & (T > T_c) \\ \frac{15}{4} \frac{g_{5/2}(1)}{g_{3/2}(1)} \left(\frac{T}{T_c} \right)^{3/2} & (T < T_c) \end{cases}$$



Experimenteller Nachweis
der Bose-Einstein-Kondensatior
 ^{87}Rb -Atome, bzw. ^7Li -Atome
→ Nobelpreis. (4.66)

29.1.2018

(27)

1

4.7 Das Photongas

Wichtige Eigenschaften von Photonen:

(i) $|\vec{v}| = c \Leftrightarrow m_p = 0 \Leftrightarrow E(\vec{p}) = c |\vec{p}|$ (4.67)
 (ultrarelativistisch)

(ii) Masselose Teilchen haben keinen Spin
 (Denn Spin = Drehimpuls im Ruhesystem)
 sondern lediglich eine Helizität

$$\lambda := \frac{\vec{j} \cdot \vec{p}}{|\vec{p}|} = \pm \frac{m\hbar}{2} \quad (4.68)$$

Hierbei: $m \in \mathbb{N}_0$ ist eine für jede
 Teilchensorte charakteristische
 Zahl, und es gilt:

$$m \begin{cases} \text{gerade} \\ \text{ungerade} \end{cases} \Leftrightarrow \text{Teilchen ist} \begin{cases} \text{Boson} \\ \text{Fermion} \end{cases}$$

Für das Photon ist $m=2$: (\rightarrow QFT)

$$\lambda = \frac{\vec{j} \cdot \vec{p}}{|\vec{p}|} = \pm 1 \quad (4.69)$$

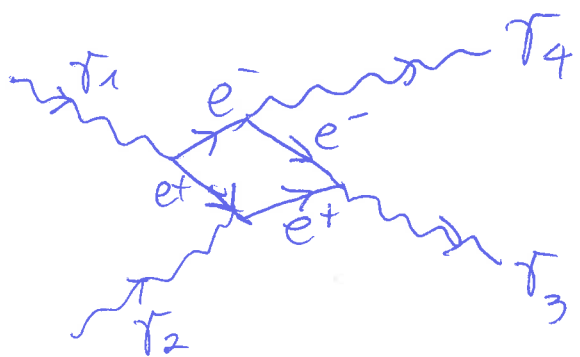
\Rightarrow Photon ist ein Boson

& Polarisationsentartungsfaktor = 2
 (Licht hat zwei lin.-unabh. Polarisationsmöglichkeiten)

$\{\pm 1\}$

(iii) Photon-Photon-WW ist vernachlässigbar. ²

(außer über Gravitation)
Existiert lediglich als Prozess höherer
Ordnung in der Störungsentwicklung
der QED 12-0.



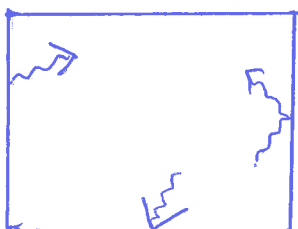
$$\sim \alpha^2 = \left(\frac{1}{137}\right)^2 \ll 1$$

→ ist stark unterdrückt

(iv) WW mit umgebender Materie

(z.B. Elektronen in Gefäßwand) ist
zum Erreichen eines thermischen Gleich-
gewichts und wichtig (und zum
Einschluss in ein Gefäßvolumen) wichtig.
und notwendig.

Unser Hauptbeispiel: Photongas im kubischen
Behälter der Länge L
und Temperatur T_{wand} .



⇒ Photonstreuung, aber auch Photonabsorption und Emission an Gefäßwand

Konsequenzen:

- $T_{\text{wand}} = T_{\text{photongas}}$
- Photonzahl ist keine Erhaltungsgröße!
 \rightarrow Photonzahl N kann nicht unabhängig von T, V vorgegeben werden.

{ Einstrahlung zusätzlicher Photonen von außen hätte Temperaturerhöhung der Wände (und damit des Gases) zur Folge, und Temperaturerhöhung der Wände führt zu ^{umkehr} mehr Photonen im Inneren ("Wärmestrahlung") }

\Rightarrow Unabhängige Variablen:

(E, V) oder (T, V)

(statt (E, V, N) oder (T, V, N) oder (T, V, μ))

\Rightarrow Da N nicht unabhängig vorgebbar ist, sind die Einzelchenbesetzungszahlen n_q nicht durch eine Zwangsbedingung $N = \sum_q n_q$ eingeschränkt, und man kann bequem mit der Kanonischen Gesamtheit arbeiten:

$$Z = \sum_{\{E_n\}} e^{-\beta E(\{E_n\})} = \sum_{\{E_n\}} e^{-\beta \sum_q E_q n_q} = \prod_q \underbrace{\sum_{n_q} e^{-\beta E_q n_q}}_{\frac{1}{1-e^{-\beta E_q}}}^q$$

$$\Rightarrow +\frac{F}{k_B T} = -\ln Z = +\sum_q \ln(1-e^{-\beta E_q}) \quad (4.70)$$

$$\Rightarrow \langle E \rangle = -\frac{\partial \ln Z}{\partial \beta} = \sum_q \frac{e_q e^{-\beta e_q}}{1-e^{-\beta e_q}} = \sum_q \frac{e_q}{e^{e_q \beta} - 1}$$

$$\Rightarrow \langle E \rangle = \sum_q \langle n_q \rangle e_q \quad (4.71)$$

mit

$$\langle n_q \rangle = \frac{1}{e^{E_q \beta} - 1} \quad (4.72)$$

(Mittlere Besetzungszahl)

Bem.:

Dies ist Formel wie die Besetzungszahlen in der großkanonischen Gesamtheit mit

$$\mu = 0$$

Kontinuumsimes:

$$E(\vec{p}) = c(\vec{p})$$

$$\frac{2}{q} \rightarrow \frac{2V}{h^3} \int_{\mathbb{R}^3} d^3p = \frac{2V}{h^3} 4\pi \int_0^\infty dp p^2 = \frac{8\pi V}{h^3 c^3} \int_0^\infty de e^2$$

Helizitäts-
entartungs-
Faktor ($\lambda = \pm 1$)

$$\Rightarrow \langle E \rangle = \frac{8\pi V}{(hc)^3} \int_0^\infty de \frac{e^3}{e^{e/k_B T} - 1} \quad (4.73)$$

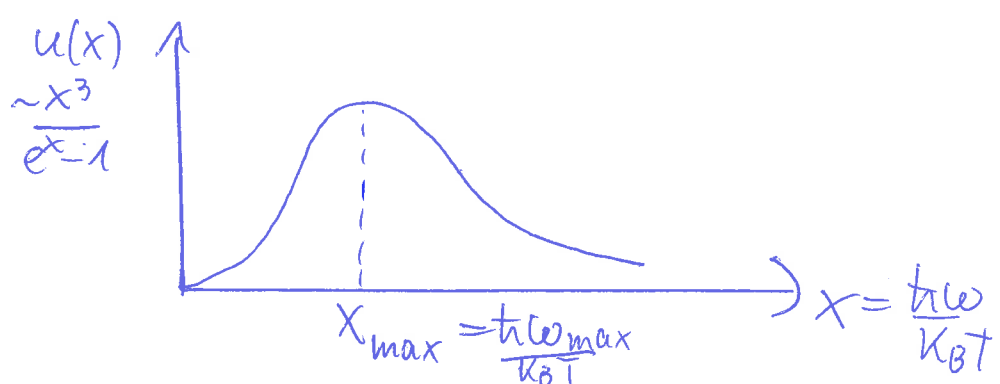
$$\xrightarrow{\hbar\omega = e} = \frac{V\hbar}{\pi^2 c^3} \int_0^\infty d\omega \frac{\omega^3}{e^{\hbar\omega/k_B T} - 1} \quad (4.74a)$$

$$\Rightarrow \text{Energiedichte } u := \frac{1}{V} \frac{\partial \langle E \rangle}{\partial \hbar\omega} \text{ im}$$

Frequenzintervall $[\omega, \omega + d\omega]$ ist:

$$u(\omega, T) = \frac{\hbar}{\pi^2 c^3} \frac{\omega^3}{e^{\hbar\omega/k_B T} - 1} \quad (4.75)$$

(Planck'sche Strahlungsformel)



$\omega_{\max}(T) := \omega$ mit maximalem $u(\omega, T)$
Für gegebenes T .

Aus $0 = \frac{du}{d\omega} \Rightarrow \frac{d}{dx} \left(\frac{x^3}{e^x - 1} \right) = 0 \Leftrightarrow 3 - x = 3e^{-x}$

$$\Leftrightarrow x \approx 2,822$$

$$\Rightarrow h\omega_{\max} = 2,822 k_B T \quad (4.76)$$

(Wien'sches Verschiebungsgesetz)

Zwei bekannte Näherungen von (4.75):

(i) $h\omega \ll k_B T$:

$$u(\omega, T) \approx \frac{\omega^2}{\pi^2 c^3} k_B T \quad (4.77)$$

(Rayleigh-Jeans-Strahlungsgesetz)

Aus Klassischen Überlegungen herleitbar.
Würde zu $\langle E \rangle = \int_0^\infty d\omega u(\omega, T) = \infty$ führen.
⇒ "Ultraviolettkatastrophe")

(ii) $\hbar\omega \gg k_B T$:

$$u(\epsilon_{\text{v},T}) \approx \frac{\hbar\omega^3}{\pi^2 c^3} e^{-\frac{\hbar\omega}{k_B T}} \quad (4.78)$$

(Wien'sches Strahlungsgesetz)

(wurde empirisch gefunden)

Gesamtenergie

$$\langle E \rangle = \frac{8\pi V}{h^3 c^3} \int_0^\infty dE \frac{E^3}{e^{E/k_B T} - 1} = \frac{8\pi V (k_B T)^4}{(hc)^3} \int_0^\infty dx \frac{x^3}{e^x - 1}$$

$x := \frac{E}{k_B T}$

$\underbrace{\Gamma(4)}_{3! = 6} \underbrace{\xi(4)}_{\frac{n^4}{90}} \underbrace{(ublatt 1)}_{\frac{n^4}{15}}$

$$\Rightarrow \langle E \rangle = 4 \frac{V}{c} T^4 \quad (4.79)$$

mit

$$\sigma := \frac{2}{15} \frac{\pi^5 k_B^4}{h^3 c^2} = 5,67 \times 10^{-8} \frac{W}{m^2 K^4} \quad (4.80)$$

(Stefan-Boltzmann-Konstante)

Druck:

$$P = - \left(\frac{\partial F}{\partial V} \right)_T \stackrel{(4.70)}{=} - \frac{\partial}{\partial V} \left[k_B T \sum_q \ln \left(1 - e^{-\frac{\epsilon_{eq}}{k_B T}} \right) \right]$$

$$= - \sum_q \frac{\left(\frac{\partial \epsilon_{eq}}{\partial V} \right) e^{-\frac{\epsilon_{eq}}{k_B T}}}{1 - e^{-\frac{\epsilon_{eq}}{k_B T}}} \Rightarrow P = - \sum_q \frac{\partial \epsilon_{eq}}{\partial V} \langle n_q \rangle \quad (4.81)$$

$$\epsilon_q = c |\vec{P}| = c \left| \frac{\vec{v} \hbar \sigma}{V} \right| = c |\vec{v}| \frac{\hbar \sigma}{V^{1/3}}$$

$$\Rightarrow \frac{\partial \epsilon_q}{\partial V} = -\frac{1}{3} \frac{\epsilon_q}{V}$$

$$\Rightarrow P = \frac{1}{3} \frac{\langle E \rangle}{V} = \frac{45}{3c} T^4 \quad (4.82)$$

(Strahlungsdruck) (Außer bei sehr hohen T
i.-d.R. vernachlässigbar)

Mittlere Photonenanzahl:

$$\langle N \rangle = \sum_q \langle n_q \rangle \stackrel{(4.74a)}{=} \frac{2}{h^3} \frac{V}{c^3} \frac{4\pi}{C^3} \int_0^\infty d\epsilon \frac{\epsilon^2}{e^{\epsilon/k_B T} - 1}$$

$$x = \frac{\epsilon}{k_B T} \stackrel{\cong}{=} \frac{8\pi V}{h^3 c^3} (k_B T)^3 \int_0^\infty dx \frac{x^2}{e^x - 1}$$

$$\underbrace{\Gamma(3)}_{2!} \underbrace{\xi(3)}_{=1,202}$$

$$\Rightarrow \frac{\langle N \rangle}{V} = \underbrace{\frac{2}{\pi^2}}_{\approx 0,244} \underbrace{\xi(3)}_{\approx 1,202} \left(\frac{k_B T}{hc} \right)^3 \quad (4.83)$$

Beispiele:

(i) Photongas bei Zimmertemperatur ($T = 300\text{K}$)

$$\frac{\langle N \rangle}{V} \approx 5,5 \times 10^8 \frac{1}{\text{cm}^3} \ll \frac{\# \text{ der Luftmoleküle}}{\text{cm}^3} \approx 10^{19} \frac{1}{\text{cm}^3}$$

(ii) Eine nahezu perfekte Realisierung von (4.75) ist durch den Kosmischen Mikrowellenhintergrund (CMB) gegeben.

Ursprung: Bis ≈ 380.000 Jahre nach Urknall waren Photonen mit Elektronen und H-, He-Kernen im Gleichgewicht, die bei $T \gtrsim 3000\text{K}$ ein Plasma geladener Teilchen bilden. Nach Bildung neutraler H-, He-Atome bei ~~$T \gtrsim 3000\text{K}$~~ wurde das Universum für Photonen transparent. Durch kosmische Expansion wurden die Wellenlängen ^{seitdem} gedehnt " (rotverschoben) und liegen mittlerweile ^{primär} im Mikrowellenbereich. Dem entspricht

$$T_{\text{CMB}}^{\text{heute}} = 2,73\text{ K}$$

$$\Rightarrow \frac{\langle N \rangle_{\text{CMB}}^{\text{heute}}}{V} \approx 4 \times 10^8 \frac{1}{\text{m}^3} = 400 \frac{1}{\text{cm}^3}$$
$$\approx 10^9 \times \frac{\langle N \rangle_{\text{Baryon}}^{\text{heute}}}{V}$$

Nachtrag zu kosmologischen Anwendungen

Frage

Für ideale Quantengase Fanden wir:

$$(i) E(\vec{P}) = \frac{\vec{P}^2}{2m} \quad (\text{nicht-relativistische Teilchen})$$

$$\Rightarrow P = \frac{2}{3} \frac{E}{V} \quad \cancel{\text{oder}} \quad (*)$$

$$(ii) E(\vec{P}) = c |\vec{P}| \quad (\text{ultrarelativistische Teilchen})$$

$$\Rightarrow P = \frac{1}{3} \frac{E}{V} \quad (**)$$

In der Kosmologie benutzt man stattdessen:

$$(***) \quad P = w \frac{E}{V} \quad \text{mit} \quad w = \begin{cases} 0 & \text{Für nicht-rel. Teilchen} \\ & ("Staub"; "Materie") \\ \frac{1}{3} & \text{Für ultrarelativistisch} \\ & \text{Teilchen} \\ & ("strahly") \end{cases}$$

Grund für Diskrepanz mit (*):

- E in $(*)$ meint nur $E_{\text{kin}} = \sum_i \frac{\vec{p}_i^2}{2m}$

- E in $(***)$ meint $E_{\text{tot}} = \underbrace{E_{\text{Ruhe}}}_{\text{relevant für Gravitation!}} + E_{\text{kin}} = \sum_i (m_i c^2 + \frac{\vec{p}_i^2}{2m})$.
Wegen $E_{\text{Ruhe}} \gg E_{\text{kin}}$ Für nicht-rel. Teilchen gilt also:

$$P = \frac{2}{3} \frac{E_{\text{kin}}}{V} \ll \frac{E_{\text{tot}}}{V} \Rightarrow P \approx 0 \cdot \frac{E_{\text{tot}}}{V}$$

⑤ Reale Gase

2

- Bisher:
- Strukturlose Gasbestandteile
(\hookrightarrow "monoatomares" Gas)
 - Keine WW zwischen Gasbestandteilen
(\hookrightarrow "ideales" Gas)

- Jetzt:
- Gase mit inneren Freiheitsgraden
 \hookrightarrow 5.1
 - Gase mit WW
 \hookrightarrow 5.2

5.1 Gase mit inneren Freiheitsgraden

$$H = \sum_{n=1}^N \left(\frac{\vec{p}_n^2}{2m} + H_{i,n} \right)$$

(5.1)

Translations-
Freiheitsgrade

Innere Freiheitsgrade
(insbes. Rotationen und
Vibrationen von Molekülen
in Molekülgasen)

$E_{i,n}$:= Energie niveaus von $H_{i,n}$

Annahme: Translationsfreiheitsgrade
Können klassisch behandelt werden.
 $(\Leftrightarrow \frac{N\lambda^3}{V} \ll 1)$

\Rightarrow Kanonische Zustandssumme:

$$Z(T, V, N) = \frac{1}{h^{3N} N!} \int d^3x_1 \dots d^3x_N d^3p_1 \dots d^3p_N e^{-\sum_{m=1}^{\infty} \frac{p_m^2}{k_B T}} \prod_{m=1}^{\infty} \sum_{E_{i,m}} e^{-\frac{E_{i,m}}{k_B T}}$$

$$\frac{V^N}{h^{3N} N!} \left(\frac{V}{\lambda^3} e^{-\frac{V}{\lambda^3 k_B T}} \right)^N = \frac{1}{N!} \left(\frac{V}{\lambda^3} \right)^N$$

$$\Rightarrow Z(T, V, N) = \frac{1}{N!} \left[\frac{V}{\lambda^3} Z_i \right]^N$$

mit

$$Z_i := \sum_{E_i} e^{-\frac{E_i}{k_B T}}$$

(Zustandssumme über innere Freiheitsgrade
Für ein Teilchen)

$$\Rightarrow F = -k_B T \ln Z$$

$$= -k_B T \left[-\underbrace{\ln N!}_{\approx N \ln N - N} + N \ln \frac{V}{\lambda^3} + N \ln Z_i \right]$$

$$\Rightarrow F = -N k_B T \left[1 + \ln \left(\frac{V}{N \lambda^3} \right) + \ln Z_i \right] \quad (S.3)$$

$$\Rightarrow P = - \left(\frac{\partial F}{\partial V} \right)_{T, N} = \frac{N k_B T}{V}$$

$$\left(\frac{\partial Z_i}{\partial V} \right)_{T, N} = 0$$

$$E = -\frac{\partial \ln Z}{\partial \beta} = -\underbrace{\frac{\partial T}{\partial \beta}}_{-\frac{1}{k_B T^2}} \frac{\partial \ln Z}{\partial T} = k_B T^2 \frac{\partial \ln Z}{\partial T} = k_B T^2 \left[\frac{3}{2} \frac{1}{T} + T \frac{\partial \ln Z}{\partial T} \right]$$

$$\Rightarrow E = N k_B T \left[\frac{3}{2} + T \frac{\partial \ln Z_i}{\partial T} \right] \quad (S.5)$$

$$\Rightarrow C_V = \left(\frac{\partial E}{\partial T} \right)_{V, N} = N k_B \left[\frac{3}{2} + \frac{2}{\partial T} \left(T^2 \frac{\partial \ln Z_i}{\partial T} \right) \right] \quad (S.6)$$

Beispiel: Zweiatomiges Molekül aus verschiedenen Atomen (z.B. HCl)



Annahme: Kopplung zwischen Rotationen und Vibrat. vernachlässigbar.

$$\Rightarrow \epsilon_i = \epsilon_{\text{rot}} + \epsilon_{\text{vib}}$$

$$\Rightarrow Z_i = Z_{\text{rot}} \cdot Z_{\text{vib}}$$

$$\Rightarrow C_V = \underbrace{C_{V, \text{Trans}}}_{\frac{3}{2} N k_B} + \underbrace{C_{V, \text{rot}(T)}}_{C_{V,i}(T)} + \underbrace{C_{V, \text{vib}(T)}}_{C_{V,i}(T)}$$

Rotationen: (S.7)

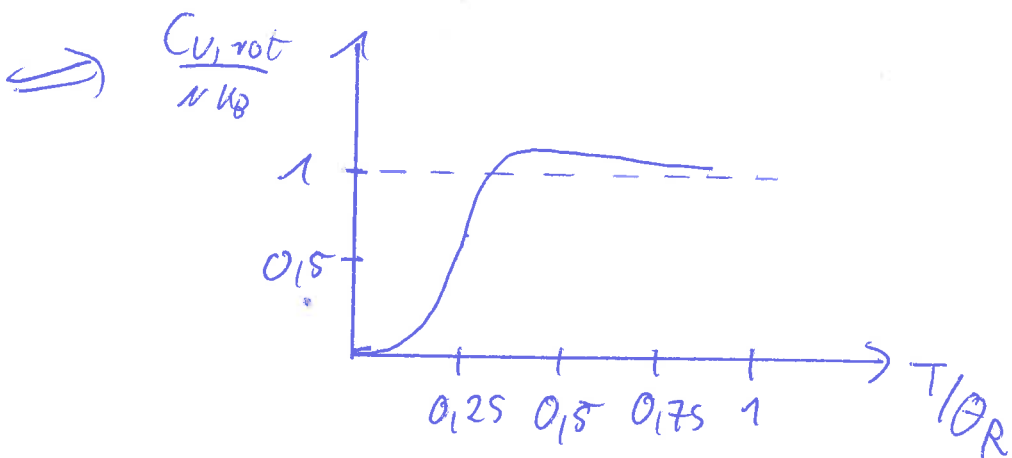
$$\epsilon_{\text{rot}} = \frac{\hbar^2 l(l+1)}{2I} \quad (l=0,1,2,\dots)$$

Trägheitsmoment senkrecht zur Symmetrieachse des Moleküls

(3.8)

$$\Rightarrow Z_{\text{rot}} = \sum_{l=0}^{\infty} \underbrace{(2l+1) e^{-\frac{l(l+1)\hbar^2}{2k_B T}}}_{\substack{\text{Z-Kompart} \\ \text{des Drehimpulses}}} = e^{-\frac{l(l+1)\Theta_R}{2T}} \quad (S.9)$$

mit $\Theta_R := \frac{\hbar^2}{Ik_B}$ (S.10)

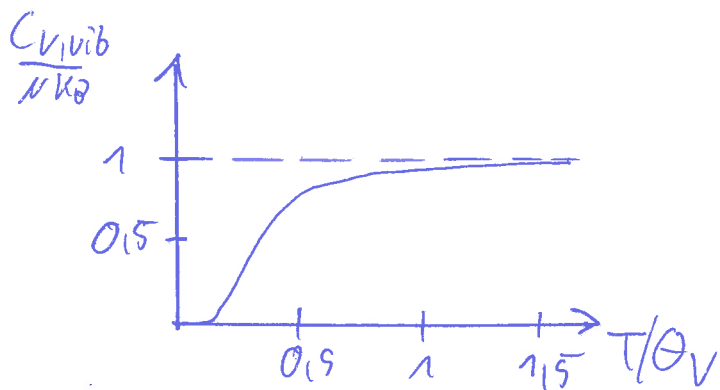


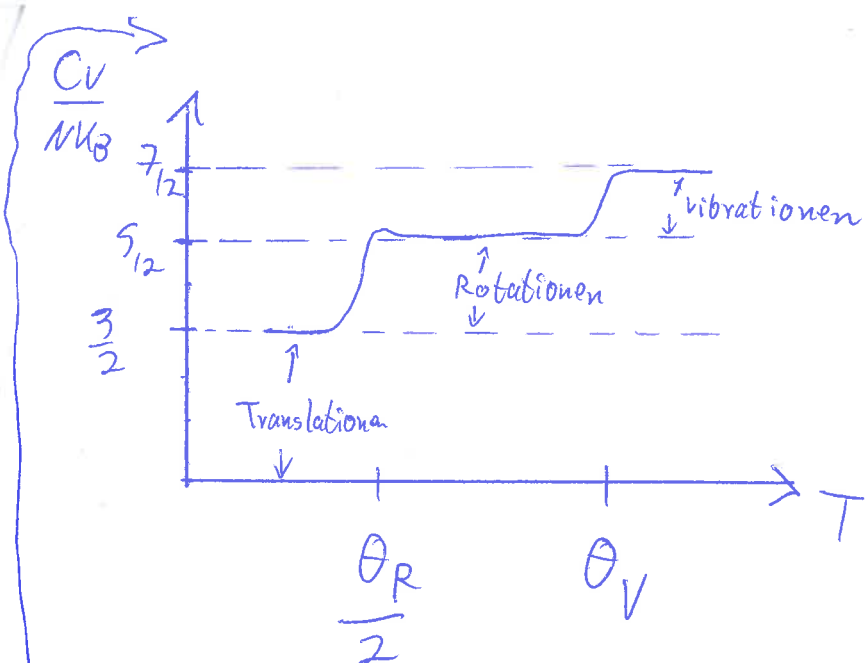
Vibrationen

$$E_{\text{vib}} = \hbar\omega \left(\frac{1}{2} + n\right) \quad (n = 0, 1, 2, 3, \dots) \quad (S.11)$$

$$\Rightarrow C_{V,\text{vib}} = \dots = Nk_B \left(\frac{\Theta_V}{T}\right)^2 \frac{1}{[2\sinh \frac{\Theta_V}{2T}]^2} \quad (S.12)$$

mit $\Theta_V := \frac{\hbar\omega}{k_B}$ (S.13)





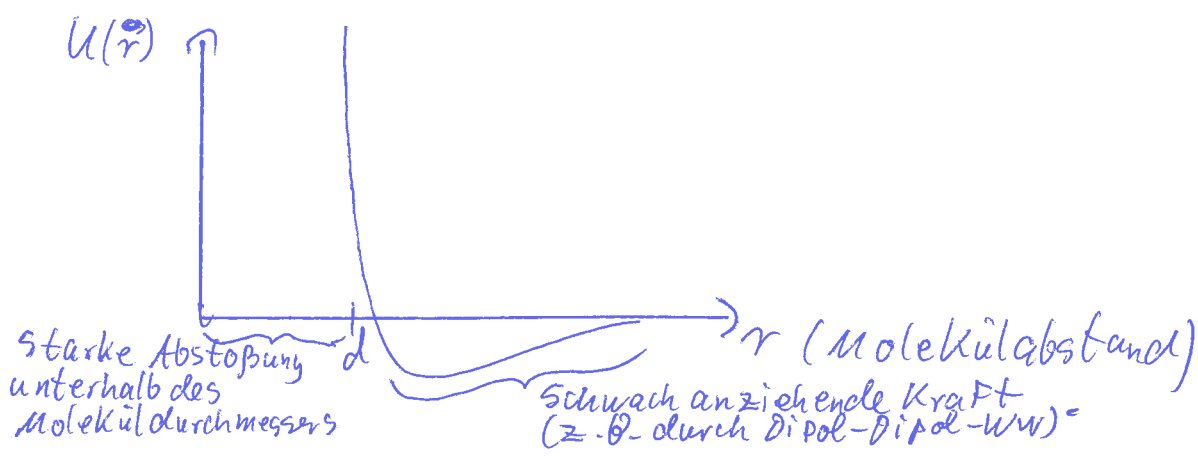
$$\text{I.A.: } \Theta_R \ll \Theta_V$$

$$\left(\begin{array}{l} \Theta_R = O(10^1 \dots 10^2 \text{ K}) \\ \Theta_V = O(10^3 \text{ K}) \end{array} \right)$$

Häufig: $T_{\text{siede}} > \Theta_R \Rightarrow$ Rotationen meist schon angeregt sowie Gas vorliegt
 unter Normalbedingungen normalerweise $C_V = \frac{5}{2} Nk_B$

5.2 Die Van-der-Waals-Gleichung

Typisches WW-Potential zwischen Gasmolekülen:



$$H = \sum_{i=1}^N \left(\frac{\vec{p}_i^2}{2m} + \frac{1}{2} \sum_{j \neq i} u(\vec{x}_i - \vec{x}_j) \right) \quad (S.24)$$

$$\Rightarrow Z(T, V, N) = \frac{1}{\lambda^{3N} N!} \int d^3x_1 \dots d^3x_N \exp \left[-\frac{1}{2} \sum_{i=1}^N \sum_{j=i+1}^N U(\vec{x}_i - \vec{x}_j) \right]$$

↑
Von Impulsintegration

"Molekularfeldnäherung".

(S. 25)

$$\tilde{U}(\vec{x}_i) := \frac{1}{2} \sum_{j \neq i} U(\vec{x}_i - \vec{x}_j) = \begin{cases} \infty & \text{Für } |x_i - x_j| < d \\ -U_0 & \text{sonst. (unbeschrieben von V)} \end{cases}$$

wit

$$U_0 = a \frac{N}{V} \quad (5.17)$$

$$\Rightarrow Z(T, V, N) = \frac{1}{\lambda^{3N} N!} \left(\underbrace{\int d^3x e^{-\beta \tilde{U}(\vec{x})}}_{(V - V_0) e^{-U_0 \beta}} \right)^N$$

$\overset{\text{effektive Volumenverkleinerung durch Abstoßr}}$

$$= \frac{(V - V_0)^N e^{+U_0 \beta N}}{\lambda^{3N} \cancel{(V_0 \text{ oder } \infty) N!}}$$

$$\Rightarrow f = -k_B T \ln [e^{(E_1 - E_0) / k_B T} + e^{(E_2 - E_0) / k_B T}]$$

Mit $V_0 = bN$: wird dies zu
(S. 18)

$$Z = \frac{(V - bN)^N e^{+\alpha \frac{N^2}{V} \beta}}{\lambda^{3N} N!} \quad (S.12)$$

$$\Rightarrow P = k_B T \frac{\partial \ln Z}{\partial V} = N k_B T \frac{\partial}{\partial V} \left[\ln(V - Nb) + \beta a \frac{N}{V} \right]$$

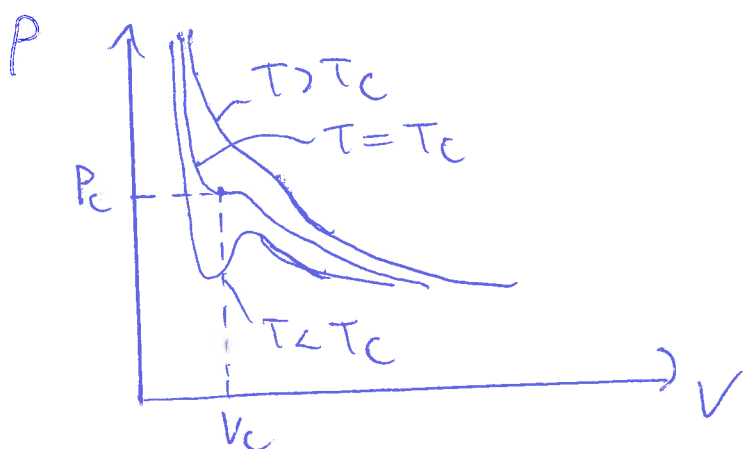
$$= N k_B T \left[\frac{1}{(V - Nb)} - \beta a \frac{N}{V^2} \right]$$

$$= \frac{N k_B T}{(V - Nb)} - \alpha \frac{N^2}{V^2}$$

$$\Rightarrow \boxed{(P + \alpha \frac{N^2}{V^2})(V - Nb) = Nk_B T} \quad (S.20)$$

(van-der-Waals-Zustandsgleichung)

Verlauf der Isothermen von (S, ZO):



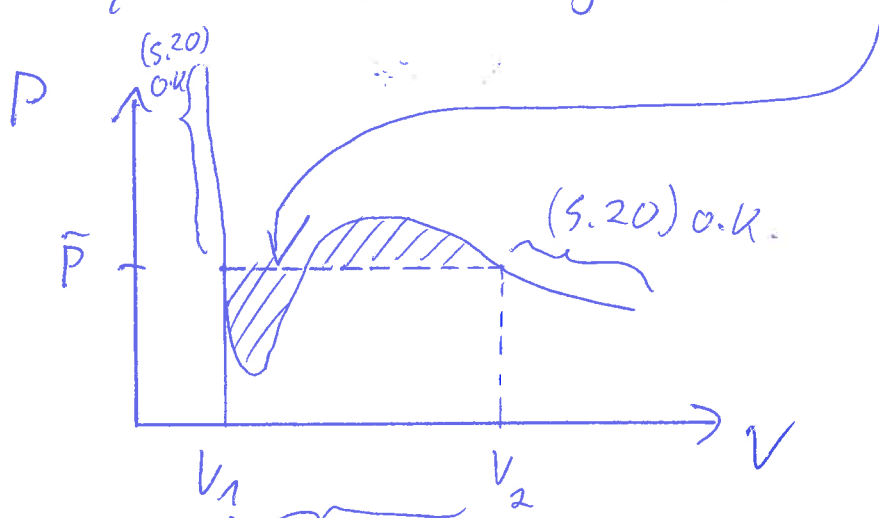
$$V_r = 36 \quad (5.21\alpha)$$

$$k_B T_C := \frac{8}{27} \frac{q}{h} \quad | \quad (S. 246)$$

$$P_C := \frac{a}{27k^2} \quad | \quad (S.21c)$$

\Rightarrow Für $T < T_c$ gibt es Bereiche mit $\frac{\partial P}{\partial V} > 0$. Diese Bereiche wären instabil und geben den physikalischen Verlauf nicht richtig wieder.

Physikalisch richtiger Verlauf:



Zwischen V_1 und V_2 muss die $P(V)$ -Kurve waagerecht verlaufen (und zwar so dass die schraffierten Flächen gleich groß sind). (\rightarrow "Maxwell-Konstruktion")

Grund: Unterhalb von V_2 kondensiert ein Teil des Gases zu einer Flüssigkeit.

Weitere Volumenverringerung führt dann nicht zu Druck erhöhung, sondern zu weiterer Kondensation. Erst wenn das gesamte Gas kondensiert ist (bei V_1) steigt der Druck stetig an (\rightarrow Flüssigkeit) und die Van-der-Waals-Gleichg. kann wieder benutzt werden.